COMMITTENTE:



PROGETTAZIONE:



DIRETTRICE FERROVIARIA MESSINA - CATANIA - PALERMO NUOVO COLLEGAMENTO PALERMO - CATANIA

		INIED	A QTDI	ITTIID	E SUD
U	J.U.	IINER	ADIRI	JIIUR	C SUL

PROGETTO DEFINITIVO

TRATTA LERCARA DIR. - CALTANISSETTA XIRBI (LOTTO 3)

Opere di sostegno viabilità - Lotto 3b

NV52: Muro di sostegno MU79D

Relazione di calcolo

SCALA:
-

COMMESSA LOTTO FASE ENTE TIPO DOC. OPERA/DISCIPLINA PROGR. REV.

RS3T 30 D 78 CL MU79D0 001 B

Rev.	Descrizione	Redatto	Data	Verificato	Data	Approvato	Data	Autorizzato Data
Α	Emissione Esecutiva	ATI Sintagma Rocksoil - Edin	Feb-2020	A.Di Costanzo	Feb-2020	A.Barreca	Feb-2020	D.Tiberti
В	Emissione Esecutiva	ATI Sintagma Rocksoil - Edin	Apr-2020	A.Di Costanzo	Apr-2020	A.Barreca	Apr-2020	Apr-2020
			,					A. Del
								Prov. d.N
								A Sold of the second of the se
								Ordine deg

File: RS3T.3.0.D.78.CL.MU.79.D.0.001.B



DIRETTRICE FERROVIARIA MESSINA – CATANIA – PALERMO NUOVO COLLEGAMENTO PALERMO – CATANIA TRATTA VALLELUNGA – CALTANISETTA XIRBI (LOTTO 3b)

OPERE DI SOSTEGNO VIABILITA' – LOTTO 3B

LOTTO

30 D 78

NV52: MURO DI SOSTEGNO MU79D RELAZIONE DI CALCOLO COMMESSA RS3T CODIFICA CL DOCUMENTO MU79D0 001

REV.

FOGLIO 2 di 119

INDICE

1.	PREMI	ESSA		ε
	1.1	DE	SCRIZIONE DELL'OPERA	<i>6</i>
2.	NORM	ATIVA	DI RIFERIMENTO	9
3.	DOCU	MENTI	DI RIFERIMENTO	9
4.	UNITÀ	DI MIS	SURA E SIMBOLOGIA	10
5.	CARA	TTERIS	TICHE DEI MATERIALI	11
	5.1	CA	LCESTRUZZO	11
	5.2	AC	CIAIO IN BARRE AD ADERENZA MIGLIORATA B450 C	14
6.	INQUA	ADRAM	ENTO GEOTECNICO	15
7.	CRITE	RI DI V	ERIFICA	17
	7.1	VE	RIFICHE GEOTECNICHE (SLU) IN CONDIZIONI STATICHE	17
		7.1.1	VERIFICA A SCORRIMENTO	19
		7.1.2	VERIFICA A RIBALTAMENTO	20
		7.1.3	VERIFICA A CARICO LIMITE DELLA FONDAZIONE	20
		7.1.4	VERIFICA A STABILITÀ GLOBALE	20
	7.2	VE	RIFICHE GEOTECNICHE (SLV) IN CONDIZIONI SISMICHE	21
	7.3	VE	RIFICHE GEOTECNICHE (SLE)	23
	7.4	VE	RIFICHE GEOTECNICHE - URTO	24
	7.5	VE	RIFICHE STRUTTURALI SLU	25
		7.5.1	CRITERI DI VERIFICA DELLE SEZIONI IN C.A.	25
		7.5.2	VERIFICHE PER GLI STATI LIMITE ULTIMI A FLESSIONE - PRESSOFLESSIONE	25
		7.5.3	VERIFICA AGLI STATI LIMITE ULTIMI A TAGLIO	25
	7.6	VE	RIFICHE STRUTTURALI SLE	27
		7.6.1	VERIFICHE ALLE TENSIONI	27
		7.6.2	VERIFICHE A FESSURAZIONE	28
	7.7	VE	RIFICHE STRUTTURALI - URTO	30



NV52: MURO DI SOSTEGNO MU79D RELAZIONE DI CALCOLO
 COMMESSA
 LOTTO
 CODIFICA
 DOCUMENTO
 REV.
 FOGLIO

 RS3T
 30 D 78
 CL
 MU79D0 001
 B
 3 di 119

8.	ANAL	ISI DEI	CARICHI	31
	8.1	PES	SI PROPRI	31
	8.2	CA	RICHI PERMANENTI	33
		8.2.1	PARAPETTO METALLICO	33
		8.2.2	BARRIERA DI SICUREZZA	33
		8.2.3	SPINTA DEL TERRENO	33
	8.3	CA	RICHI VARIABILI	35
		8.3.1	CARICHI MOBILI DA TRAFFICO	35
	8.4	CA	RICHI ECCEZIONALI – URTO DA TRAFFICO VEICOLARE	36
	8.5	VA	LUTAZIONE DELL'AZIONE SISMICA	37
		8.5.1	VITA NOMINALE	37
		8.5.2	CLASSE D'USO	37
		8.5.3	PERIODO DI RIFERIMENTO	37
		8.5.4	PARAMETRI SISMICI	37
9.	COMB	INAZIC	NI DI CARICO	42
10.	PROGI	ЕТТО Е	VERIFICA DEL MURO DI SOSTEGNO "TIPO 1"	46
	10.1	DA	TI DI INPUT	46
	10.2	CA.	LCOLO DELLE AZIONI	50
		10.2.1	FORZE VERTICALI E INERZIALI	50
		10.2.2	SPINTE IN CONDIZIONE STATICA	52
		10.2.3	SPINTE IN CONDIZIONE SISMICA +	53
		10.2.4	SPINTE IN CONDIZIONE SISMICA	54
		10.2.5	SPINTE IN PRESENZA DI URTO	55
	10.3	VE	RIFICHE GEOTECNICHE	56
		10.3.1	VERIFICA STATICA A RIBALTAMENTO, SCORRIMENTO E CARICO LIMITE VERTICALE - C.	<i></i>
			VEDICICA CICMICA A DIDALTAMENTO CCODDIMENTO E CADICO I IMITE VEDTICALE. C	36
		10.3.2 DRENA	VERIFICA SISMICA A RIBALTAMENTO, SCORRIMENTO E CARICO LIMITE VERTICALE - C.	58



NV52: MURO DI SOSTEGNO MU79D RELAZIONE DI CALCOLO
 COMMESSA
 LOTTO
 CODIFICA
 DOCUMENTO
 REV.
 FOGLIO

 RS3T
 30 D 78
 CL
 MU79D0 001
 B
 4 di 119

			VERIFICA STATICA A RIBALTAMENTO, SCORRIMENTO E CARICO LIMITE VERTICALE - C. RENATE	62
		10.3.4 DRENA	VERIFICA SISMICA A RIBALTAMENTO, SCORRIMENTO E CARICO LIMITE VERTICALE - C.	64
		10.3.5	VERIFICA DI STABILITÀ GLOBALE – COND. DRENATE	68
		10.3.6	VERIFICA DI STABILITÀ GLOBALE – COND. NON DRENATE	72
	10.4	VER	IFICHE STRUTTURALI	76
		10.4.1	CALCOLO DELLE SOLLECITAZIONI	76
		10.4.2	VERIFICHE SLU	78
		10.4.3	VERIFICHE SLE TENSIONE	80
		10.4.4	VERIFICHE SLE FESSURAZIONE	81
		10.4.5	VERIFICHE STRUTTURALI IN PRESENZA DI URTO	82
11.	PROGE	ETTO E	VERIFICA DEL MURO DI SOSTEGNO "TIPO 2"	83
	11.1	DAT	'I DI INPUT	83
	11.2	CAL	COLO DELLE AZIONI	87
		11.2.1	FORZE VERTICALI E INERZIALI	87
		11.2.2	SPINTE IN CONDIZIONE STATICA	89
		11.2.3	SPINTE IN CONDIZIONE SISMICA +	90
		11.2.4	SPINTE IN CONDIZIONE SISMICA	91
		11.2.5	SPINTE IN PRESENZA DI URTO	92
	11.3	VER	IFICHE GEOTECNICHE	93
			VERIFICA STATICA A RIBALTAMENTO, SCORRIMENTO E CARICO LIMITE VERTICALE - C. TE	93
			VERIFICA SISMICA A RIBALTAMENTO, SCORRIMENTO E CARICO LIMITE VERTICALE - C.	95
		11.3.3 NON Di	VERIFICA STATICA A RIBALTAMENTO, SCORRIMENTO E CARICO LIMITE VERTICALE - C. RENATE	99
		11.3.4 DRENA	VERIFICA SISMICA A RIBALTAMENTO, SCORRIMENTO E CARICO LIMITE VERTICALE - C.	101
		11.3.5	VERIFICA DI STABILITÀ GLOBALE – COND. DRENATE	105



NV52: MURO DI SOSTEGNO MU79D RELAZIONE DI CALCOLO
 COMMESSA
 LOTTO
 CODIFICA
 DOCUMENTO
 REV.
 FOGLIO

 RS3T
 30 D 78
 CL
 MU79D0 001
 B
 5 di 119

	11.3.6	VERIFICA DI STABILITÀ GLOBALE – COND. NON DRENATE	109
11.4	4 VER	IFICHE STRUTTURALI	113
	11.4.1	CALCOLO DELLE SOLLECITAZIONI	113
	11.4.2	VERIFICHE SLU	115
	11.4.3	VERIFICHE SLE TENSIONE	117
	11.4.4	VERIFICHE SLE FESSURAZIONE	118
	11.4.5	VERIFICHE STRUTTURALI IN PRESENZA DI URTO	119

GRUPPO FERROVIE DELLO STATO ITALIANE	DIRETTRICE FERROVIARIA MESSINA – CATANIA – PALERMO NUOVO COLLEGAMENTO PALERMO – CATANIA TRATTA VALLELUNGA – CALTANISETTA XIRBI (LOTTO 3b) OPERE DI SOSTEGNO VIABILITA' – LOTTO 3B						
NV52: MURO DI SOSTEGNO MU79D RELAZIONE DI CALCOLO	COMMESSA RS3T	LOTTO 30 D 78	CODIFICA CL	DOCUMENTO MU79D0 001	REV.	FOGLIO 6 di 119	

1. PREMESSA

Il presente documento si inserisce nell'ambito della redazione degli elaborati tecnici di progetto definitivo della direttrice ferroviaria Messina-Catania-Palermo, nuovo collegamento Palermo-Catania tratta Vallelunga – Caltanisetta Xirbi (Lotto 3b).

1.1 DESCRIZIONE DELL'OPERA

Nella presente relazione sono illustrati i calcoli e le verifiche del muro di sostegno MU79D che si sviluppa in pianta dal 1+074,34 km al km 1+106,34 km (Figura 1-1, Figura 1-2).

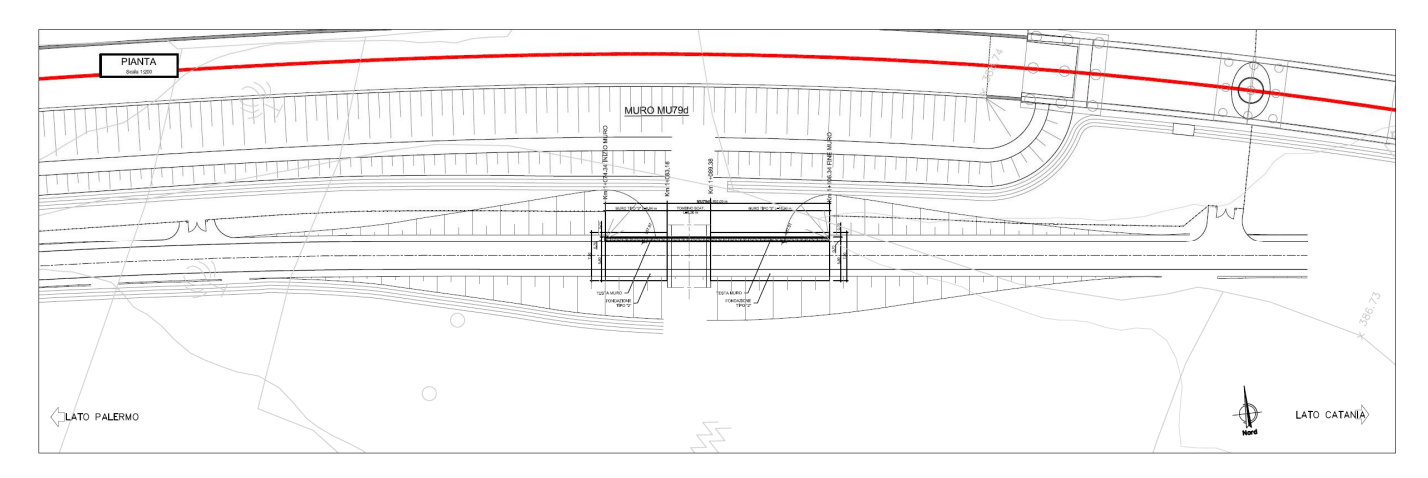


Figura 1-1 – NV52: Muro di sostegno MU79D - Pianta.

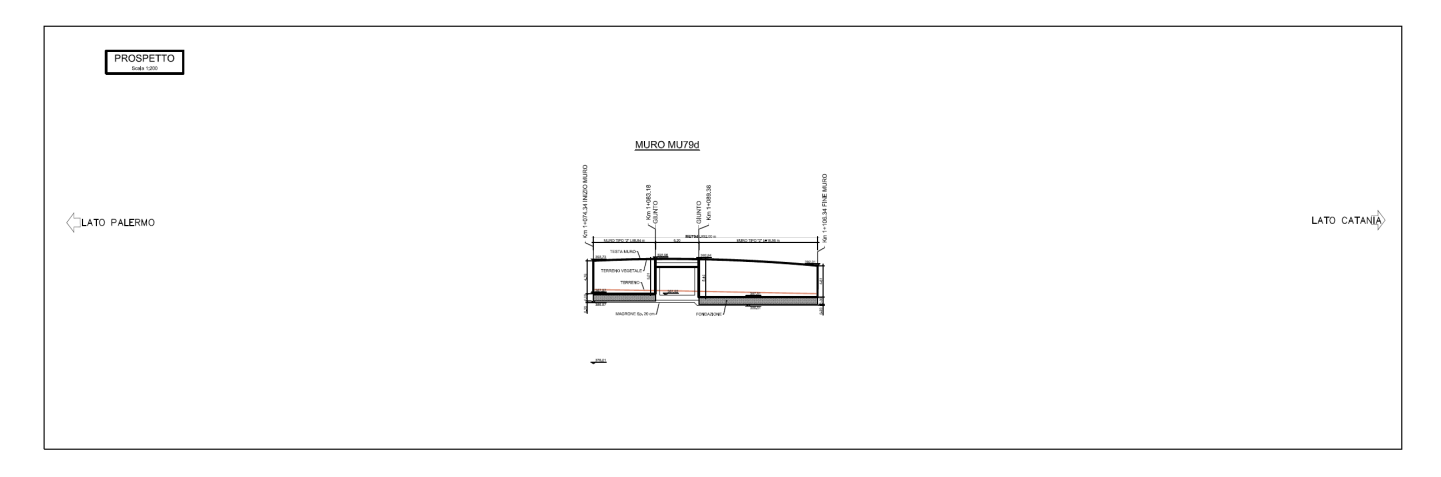


Figura 1-2 – NV52: Muro di sostegno MU79D - Prospetto.



Quanto riportato di seguito consentirà di verificare che il dimensionamento della struttura è stato effettuato nel rispetto dei requisiti di resistenza richiesti all'opera.

L'altezza del muro è variabile con lo sviluppo dell'opera stessa fino ad un massimo di 6.00m, con spessore del paramento in testa di 0.4m, spessore della soletta di fondazione pari a 0.60m - 1.00m e larghezza della stessa pari a 4.20m - 5.50m.

Sono state individuate due tipologie di "muro di sostegno" le cui caratteristiche sono di seguito riassunte:

• muro "tipo 2" per altezze comprese tra 2.00 e 4.50 metri la fondazione del muro è diretta ed è caratterizzata da una lunghezza di 4.20 m e spessore 0.60 m. Il ricoprimento sopra la zattera di valle è pari ad almeno 20 cm. L'altezza del paramento massima è pari a 4.50 m (Figura 1-3).

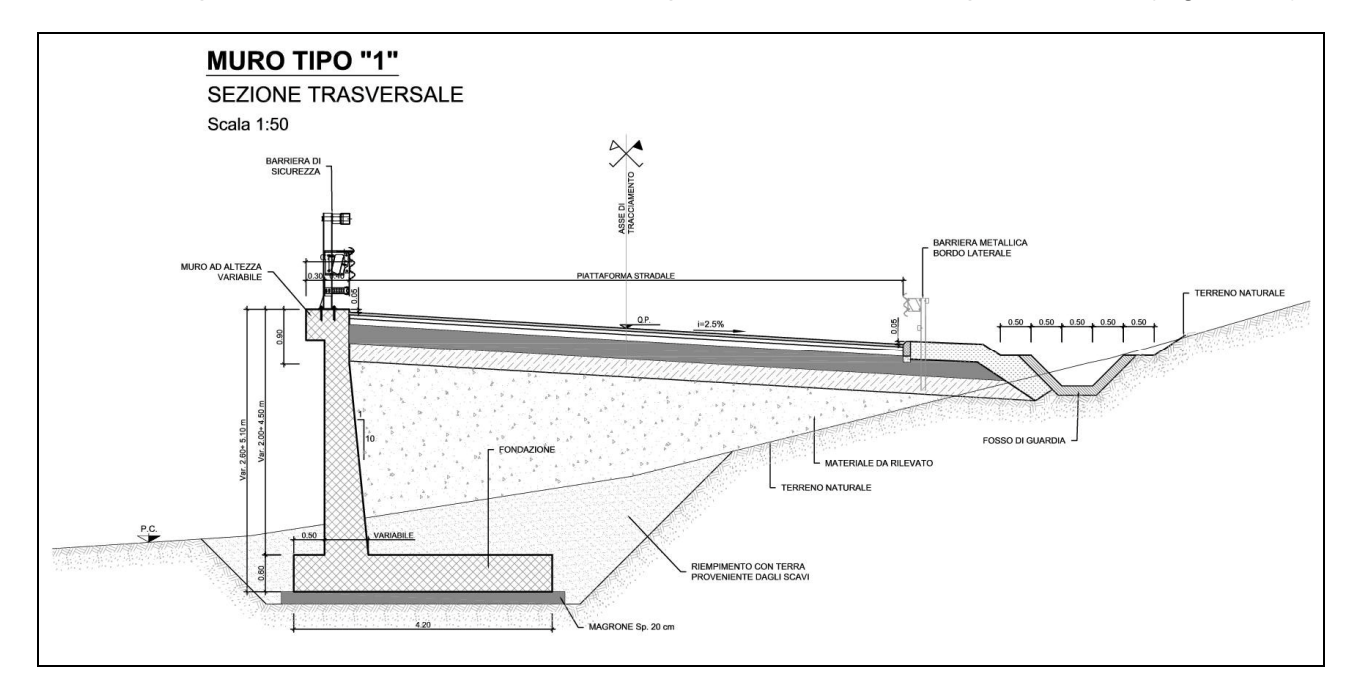


Figura 1-3 – NV52: Muro di sostegno MU79D – Sezione tipo 1.

• muro "tipo 2" per altezze comprese tra 4.00 e 6.00 metri la fondazione del muro è diretta ed è caratterizzata da una lunghezza di 5.50 m e spessore 1.00 m. Il ricoprimento sopra la zattera di valle è pari ad almeno 20 cm. L'altezza del paramento massima è pari a 6.00 m (Figura 1-4).

STALFERR GRUPPO FERROVIE DELLO STATO ITALIANE	DIRETTRICE FERROVIARIA MESSINA – CATANIA – PALERMO NUOVO COLLEGAMENTO PALERMO – CATANIA TRATTA VALLELUNGA – CALTANISETTA XIRBI (LOTTO 3b) OPERE DI SOSTEGNO VIABILITA' – LOTTO 3B						
NV52: MURO DI SOSTEGNO MU79D RELAZIONE DI CALCOLO	COMMESSA RS3T	LOTTO 30 D 78	CODIFICA	DOCUMENTO MU79D0 001	REV.	FOGLIO 8 di 119	

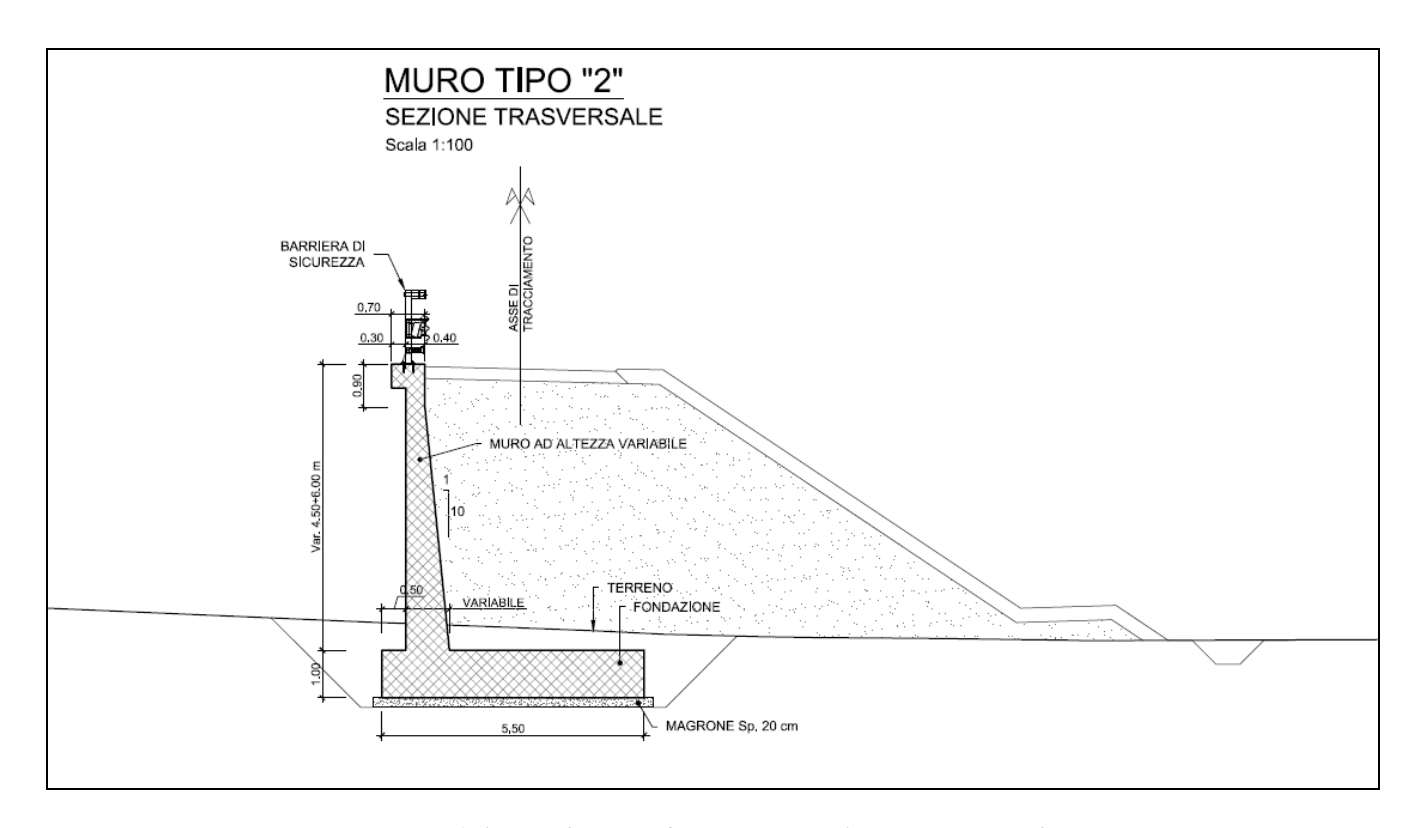


Figura 1-4 – NV52: Muro di sostegno MU79D – Sezione tipo 2.

Di seguito si svolgerà la verifica per ogni tipo di muro precedentemente descritto caratterizzato dall'altezza di paramento massima.



2. NORMATIVA DI RIFERIMENTO

L'interpretazione dei risultati e la redazione della presente relazione sono stati effettuati nel rispetto della Normativa in vigore.

I principali riferimenti normativi sono i seguenti:

Norme Tecniche per le Costruzioni - D.M. 17-01-18 (NTC-2018);

Circolare n. 7 del 21 gennaio 2019 - Istruzioni per l'Applicazione dell'aggiornamento delle Norme Tecniche per le Costruzioni di cui al Decreto Ministeriale 17 gennaio 2018;

Regolamento (UE) N.1299/2014 del 18 novembre 2014 della Commissione Europea. Relativo alle specifiche tecniche di interoperabilità per il sottosistema "infrastruttura" del sistema ferroviario dell'Unione Europea.

Eurocodici EN 1991-2: 2003/AC:2010 - Eurocodice 1 - Parte 2

RFI DTC SI MA IFS 001 C del 21-12-18 - Manuale di Progettazione delle Opere Civili

3. DOCUMENTI DI RIFERIMENTO

Vengono presi a riferimento i seguenti elaborati grafici progettuali di pertinenza:

RS3T.3.0.D.78.P9.MU.79.D.0.001: <u>"Opere di sostegno viabilità – Lotto 3b – NV52: Muro di sostegno MU79D – Pianta, prospetto e sezioni"</u>

RS3T.3.0.D.78.TT.OC.00.0.0.007.A: <u>"Opere civili – Elaborati generali OO. CC. – Tabella incidenze armature Opere Civili Viabilità – Lotto 3b"</u>

RS3T.3.0.D.78.GE.GE.00.0.0.002.B: <u>"GEOTECNICA – Elaborati generali – Relazione geotecnica generale – opere all'aperto - Lotto 3b"</u>



DIRETTRICE FERROVIARIA MESSINA – CATANIA – PALERMO NUOVO COLLEGAMENTO PALERMO – CATANIA TRATTA VALLELUNGA – CALTANISETTA XIRBI (LOTTO 3b)

OPERE DI SOSTEGNO VIABILITA' – LOTTO 3B

NV52: MURO DI SOSTEGNO MU79D RELAZIONE DI CALCOLO COMMESSA RS3T LOTTO CODIFICA
30 D 78 CL

CA DOCUMENTO MU79D0 001

REV.

FOGLIO 10 di 119

4. UNITÀ DI MISURA E SIMBOLOGIA

Si utilizza il Sistema Internazionale (SI):

unità di misura principali

N (Newton) unità di forza

m (metro) unità di lunghezza

kg (kilogrammo-massa) unità di massa

s (secondo) unità di tempo

unità di misura derivate kN

(kiloNewton) 103N

MN (megaNewton) 106N

kgf (kilogrammo-forza) 1 kgf = 9.81 N

cm (centimetro) 10-2 m

mm (millimetro) 10-3 m

Pa (Pascal) 1 N/m2

kPa (kiloPascal) 103 N/m2

MPa (megaPascal) 106 N/m2

N/m3 (peso specifico)

g (accelerazione di gravità) ~9.81 m/s2

corrispondenze notevoli

1 MPa = 1 N/mm2

1 MPa ~ 10 kgf/cm2

Si utilizzano i seguenti principali simboli con le relative unità di misura normalmente adottate:

, (gamma) peso dell'unità di volume (kN/m3)

 σ (sigma) tensione normale (N/mm2)



DIRETTRICE FERROVIARIA MESSINA – CATANIA – PALERMO NUOVO COLLEGAMENTO PALERMO – CATANIA TRATTA VALLELUNGA – CALTANISETTA XIRBI (LOTTO 3b)

OPERE DI SOSTEGNO VIABILITA' – LOTTO 3B

NV52: MURO DI SOSTEGNO MU79D RELAZIONE DI CALCOLO COMMESSA LOTTO CODIFICA DOCUMENTO REV. FOGLIO
RS3T 30 D 78 CL MU79D0 001 B 11 di 119

tensione tangenziale (N / mm2)

 ϵ (epsilon) deformazione (m/m) -

φ (fi) angolo di resistenza (° sessagesimali)

5. CARATTERISTICHE DEI MATERIALI

Le caratteristiche dei materiali sono ricavate con riferimento alle indicazioni contenute nei capitoli 4 e 11 del D.M. 17 gennaio 2018. Nelle tabelle che seguono sono indicate le principali caratteristiche e i riferimenti dei paragrafi del D.M. citato.

5.1 CALCESTRUZZO

• Elemento strutturale: fondazione ed elevazione muro di sostegno

Classe di resistenza = C32/40;

Rck = resistenza cubica = 40 N/mm2;

fck = resistenza cilindrica caratteristica = 0.83 Rck = 33.20 N/ mm2;

fcm = resistenza cilindrica media = fck + 8 = 41.20 N/ mm2;

 $fcd = \alpha cc fck/\gamma c = 18,81 N/mm2;$

fctm = resistenza a trazione media = $0.30 \times fck^2/3 = 3.10 \text{ N/ mm}^2$;

fcfm = resistenza a traz. per flessione media = 1.20 x fctm = 3.72 N/ mm2;

fcfk = resistenza a traz. per flessione carati. = 0.70 x fcfm = 2.60 N/ mm2;

Ecm = modulo elast. tra 0 e 0.40fcm = $22000 \text{ x (fcm/10)}^{0.3} = 33642.78 \text{ N/ mm2}$;

Tolleranza di posa del copriferro = 10 mm;

Classe di esposizione XC4

Copriferro minimo c_{min}= 45 mm

Condizioni ambientali: aggressive



NV52: MURO DI SOSTEGNO MU79D RELAZIONE DI CALCOLO COMMESSA LOTTO CODIFICA DOCUMENTO REV.

RS3T 30 D 78 CL MU79D0 001 B

FOGLIO

12 di 119

CALCOLO COPRIFERRO - § C4.1.6.1.3 ISTRUZIONI NTC 2018

• Elemento strutturale: fondazione ed elevazione muro di sostegni	<u> </u>	ro tipo 1
Diametro (o diametro equivalente) barre longitudinali:	20	[mm]
Diametro staffe:	10	[mm]
Classe Calcestruzzo:	C32/4	0
Condizioni ambientali:	Aggre	ssive
Vita nominale costruzione:	50	[anni]
Tolleranza di posa:	10	[mm]
Copriferro staffe:		
Copriferro minimo c _{min} :	35	[mm]
Copriferro nominale Netto Staffe:	45	[mm]
Copriferro barre longitudinali:		
Copriferro nominale Netto barre longitudinali:	65	[mm]
Copriferro nominale dal Baricentro della Barra longitudinale:	75	[mm]
Elemento strutturale: fondazione ed elevazione muro di sostegne	<u>0 – mur</u>	ro tipo 2
Diametro (o diametro equivalente) barre longitudinali:	20	[mm]
Diametro staffe:	10	[mm]
Classe Calcestruzzo:	C32/4	0
Condizioni ambientali:	Aggre	ssive
Vita nominale costruzione:	50	[anni]
Tolleranza di posa:	10	[mm]
Copriferro staffe:		
Copriferro minimo c _{min} :	35	[mm]
Copriferro nominale Netto Staffe:	45	[mm]
Copriferro barre longitudinali:		



Copriferro nominale Netto barre longitudinali: 65 [mm]

Copriferro nominale dal Baricentro della Barra longitudinale: 75 [mm]



5.2 ACCIAIO IN BARRE AD ADERENZA MIGLIORATA B450 C

L'acciaio per cemento armato B450C è caratterizzato dai seguenti valori nominali delle tensioni caratteristiche di snervamento e rottura da utilizzare nei calcoli:

$f_{v \text{ nom}}$	450 N/mm ²
$f_{t \text{ nom}}$	540 N/mm ²

Tabella 5-1 Tensioni caratteristiche acciaio.

E deve rispettare i requisiti indicati nella seguente tabella:

CARATTERISTICHE	REQUISITI	FRATTILE (%)
Tensione caratteristica di snervamento f _{yk}	$\geq f_{\rm v nom}$	5.0
Tensione caratteristica di rottura f _{tk}	$\geq f_{\rm t\ nom}$	5.0
$(f_t/f_y)_k$	≥1,15 <1,35	10.0
$(\mathbf{f}_{\mathrm{v}}/\mathbf{f}_{\mathrm{vnom}})_{\mathrm{k}}$	≤ 1,25	10.0
Allungamento (Agt)k:	≥ 7,5 %	10.0
Diametro del mandrino per prove di piegamento a 90 ° e successivo raddrizzamento senza cricche: $\phi < 12 \ mm$	4φ	
12≤ φ ≤ 16 mm	5 ф	
per 16 < φ≤25 mm	8 ф	
per 25 < φ ≤ 40 mm	10 ф	

Tabella 5-2 Requisiti acciaio.

Inoltre si ha:

- Es = 210000 N/mm2
- Sovrapposizioni barre ≥ 40φ

Resistenza di calcolo dell'acciaio per la verifica agli SLU (γs=1.15):

Resistenza di calcolo a rottura per trazione e deformazione corrispondente:

- fyd = fyk/ γ s 391.3 N/mm2
- $\epsilon yd = fyd/Es 0.186\%$



NV52: MURO DI SOSTEGNO MU79D RELAZIONE DI CALCOLO
 COMMESSA
 LOTTO
 CODIFICA
 DOCUMENTO
 REV.
 FOGLIO

 RS3T
 30 D 78
 CL
 MU79D0 001
 B
 15 di 119

6. INQUADRAMENTO GEOTECNICO

Il modello geotecnico di calcolo è stato definito sulla base di quanto riportato nella relazione geotecnica: Si riportano di seguito i terreni su cui poggiano i muri di sostegno lungo il tracciato, con i parametri fisici e meccanici ad essi assegnati. Da un'analisi dei dati a disposizione emerge che lo strato di terreno sul quale verrà impostato il piano di posa della fondazione dei muri di sostegno è caratterizzato dai valori dei parametri di calcolo riportati in Tabella 6-1. Per quanto riguarda i parametri meccanici assunti nel calcolo si sono considerati i valori medi dell'intervallo di variabilità riportato nel profilo geotecnico.

Si evidenzia, inoltre, la presenza di una coltre superficiale di circa 2m le cui caratteristiche non risultano tali da permettervi l'impostazione del piano di posa del muro di sostegno.

Unità litologiche da p.c.	da [m]	a [m]	Y [kN/m³]	c' _k [kPa]	φ' _k [°]	c _u [kPa]	<i>E₀</i> [MPa]
a2	2.00	7.00	19	15	25	75	100
TRV	7.00	-	21	22.5	20	200	-

Tabella 6-1 – Valori di calcolo dei parametri geotecnici del terreno

In cui:

 γ = peso specifico del terreno;

 c'_k = coesione efficace;

 φ'_k = angolo d'attrito efficace;

 c_u = coesione non drenata;

 E_0 = Modulo dinamico del terreno;

Il rilevato a monte avrà superficie orizzontale.

La falda è posta ad una profondità superiore a 2.5 metri dal piano campagna.

Per le caratteristiche dei rilevati stradali si assumono i seguenti parametri:

GRUPPO FERROVIE DELLO STATO ITALIANE	NUOVO COI TRATTA VA	DIRETTRICE FERROVIARIA MESSINA – CATANIA – PALERMO NUOVO COLLEGAMENTO PALERMO – CATANIA TRATTA VALLELUNGA – CALTANISETTA XIRBI (LOTTO 3b) OPERE DI SOSTEGNO VIABILITA' – LOTTO 3B							
NV52: MURO DI SOSTEGNO MU79D	COMMESSA	LOTTO	CODIFICA	DOCUMENTO	REV.	FOGLIO			
RELAZIONE DI CALCOLO	RS3T	30 D 78	CL	MU79D0 001	В	16 di 119			

- peso volume, γ = 19 kN/m³;
- angolo d'attrito, ϕ ' = 35°;
- coesione efficace c' = 0 kPa.

Per l'inquadramento geotecnico si rimanda alla "Relazione geotecnica generale" e ai relativi profili geotecnici.

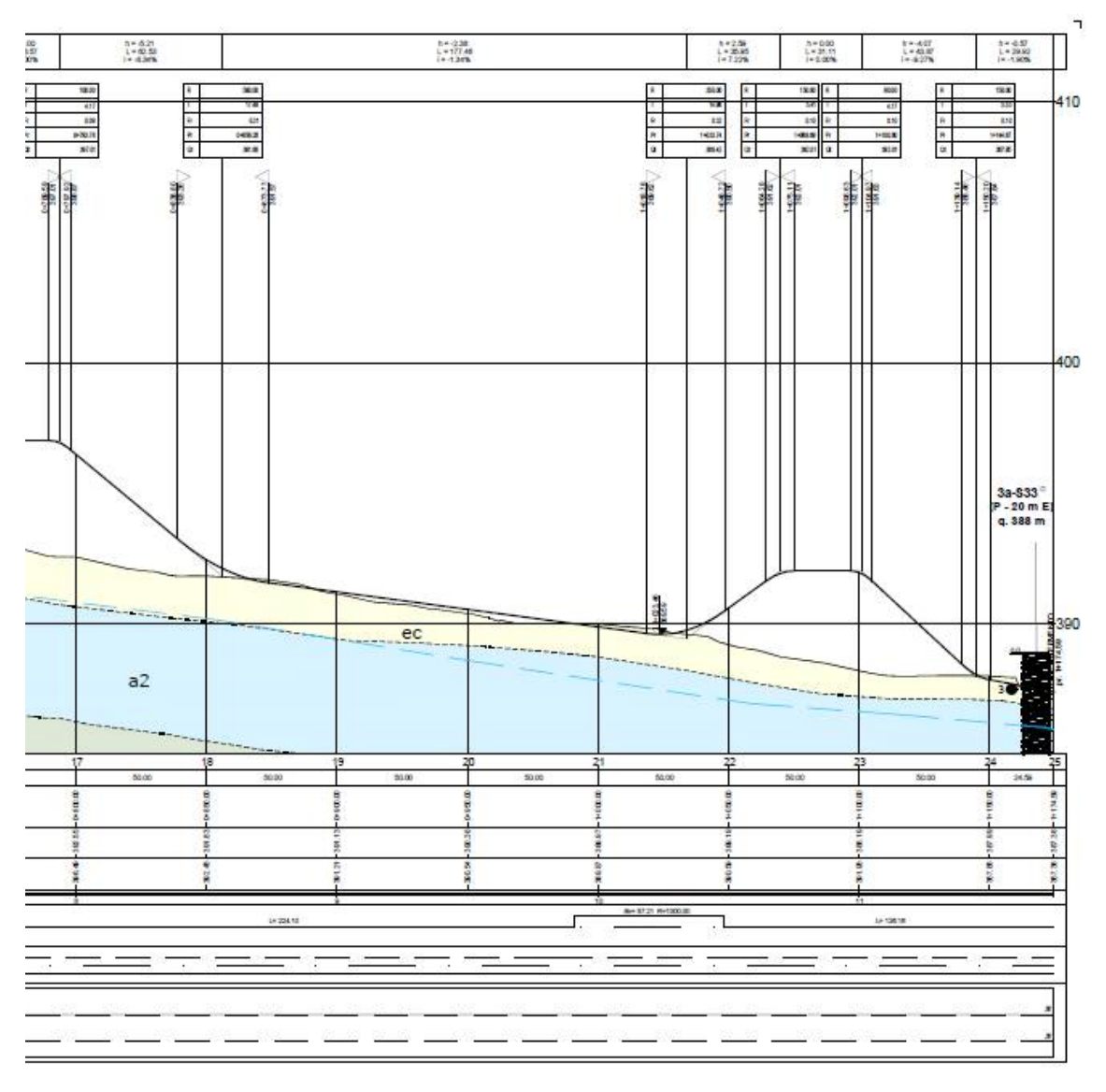


Figura 6-1 – Stralcio del profilo geotecnico.



7. CRITERI DI VERIFICA

7.1 VERIFICHE GEOTECNICHE (SLU) IN CONDIZIONI STATICHE

Nelle verifiche di sicurezza si è preso in considerazione tutti i meccanismi di stato limite ultimo sia a breve termine sia a lungo termine. Gli stati limite ultimi delle opere di sostegno si riferiscono allo sviluppo di meccanismi di collasso determinati dalla mobilitazione della resistenza del terreno, e al raggiungimento della resistenza degli elementi strutturali che compongono le opere stesse.

Per i muri di sostegno su fondazione diretta si considerano i seguenti Stati Limite Ultimi:

SLU di tipo geotecnico (GEO)

- Scorrimento sul piano di posa;
- Collasso per carico limite del complesso fondazione-terreno;
- Ribaltamento;
- Stabilità globale del complesso opera di sostegno-terreno.

SLU di tipo strutturale (STR)

Raggiungimento della resistenza negli elementi strutturali.

La verifica di stabilità globale del complesso opera di sostegno – terreno deve essere effettuata, analogamente a quanto previsto al §6.8 delle NTC2018, secondo l'Approccio 1 – Combinazione 2 (A2+M2+R2), tenendo conto dei coefficienti parziali riportati nelle Tabelle 6.2.I, 6.2.II e 6.8.I delle NTC18.

Le rimanenti verifiche devono essere effettuate secondo l'Approccio 2 con la combinazione (A1+M1+R3), tenendo conto dei valori dei coefficienti parziali riportati nelle 6.2.I, 6.2.II, 6.4.II e 6.4.VI delle NTC18.

Il progetto e la verifica dei muri di sostegno sono stati effettuati con l'ausilio di fogli di calcolo nei quali vengono implementate tutte le caratteristiche geometriche dei muri insieme ai parametri di resistenza geotecnica.

Per ogni tipologia di muro di sostegno studiata, si è verificato che le caratteristiche geometriche siano tali che il muro possa essere considerato a mensola con suola lunga (vedere Figura 7-1), così come previsto al §3.10.3.3. del Manuale di Progettazione delle Opere Civili (RFI DTC SI MA IFS 001 C).



Si è considerato, pertanto, che la spinta sull'opera di sostegno agisca sul piano verticale cd, assunto come il paramento virtuale del muro.

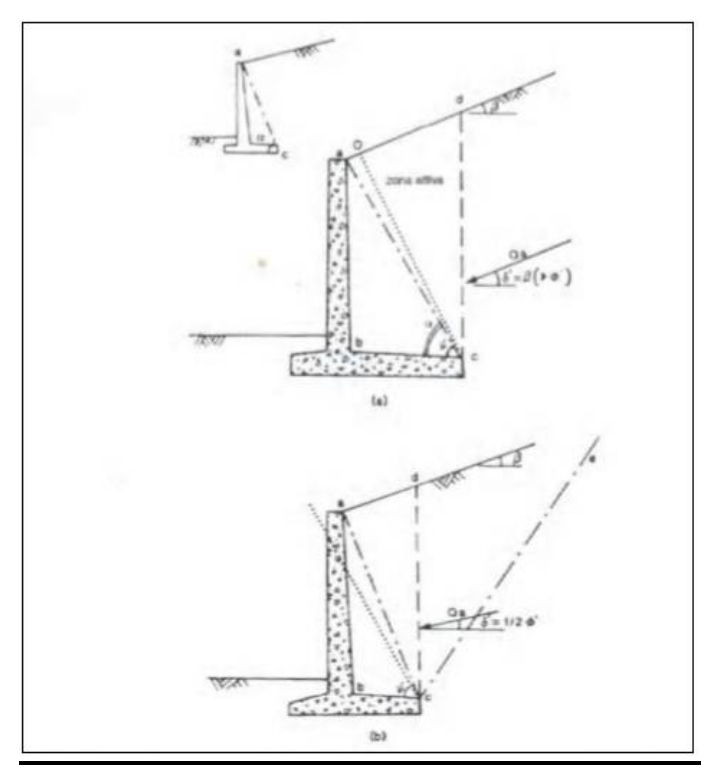


Figura 7-1 – Spinta sui muri di sostegno a mensola con suola lunga (caso a) e con suola corta (caso b).

Su tale paramento l'angolo di inclinazione δ della risultante della spinta (applicata ad 1/3 dell'altezza del paramento virtuale) si potrà assumere uguale all'angolo di inclinazione β del terrapieno, a meno che β non sia superiore all'angolo di resistenza al taglio del terreno ϕ ', nel qual caso si potrà assumere $\delta = \phi$ '.

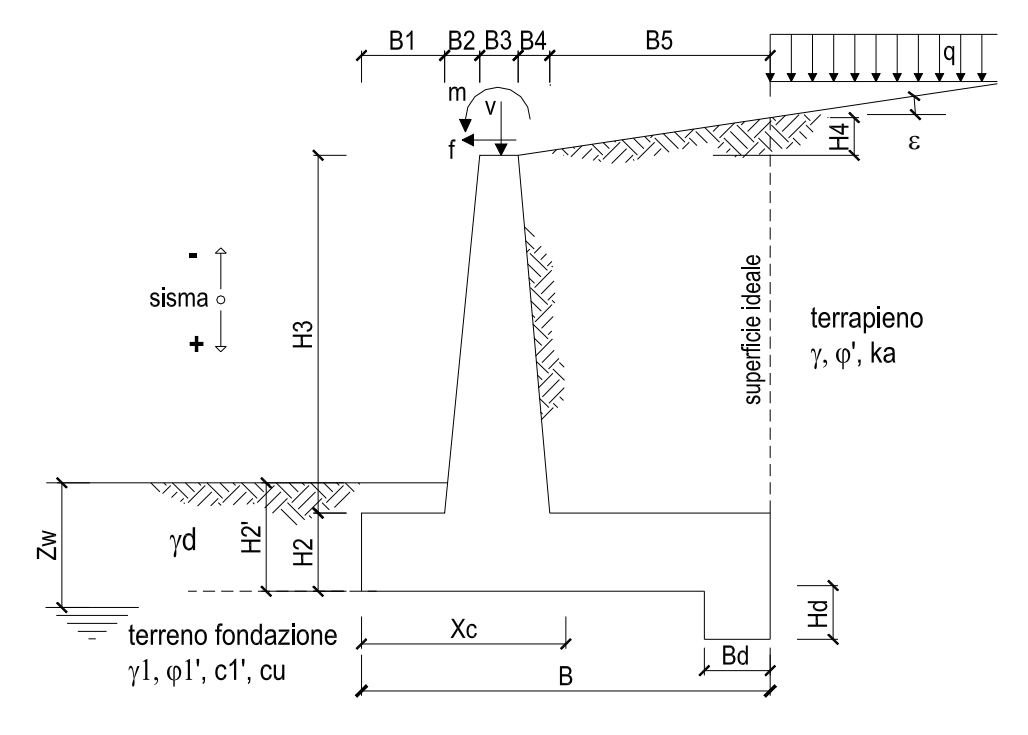
Il terreno al di sopra della suola (abcd) è stato considerato stabilizzante nelle verifiche, e ad esso sono da applicarsi le forze d'inerzia in fase sismica.

Inoltre nella verifica a scorrimento e a ribaltamento dei muri di sostegno viene trascurata la resistenza passiva antistante il muro.

Nel nostro caso l'angolo di attrito fondazione-terreno nelle verifiche a scorrimento è pari a $\phi'_{cv} = \arctan{(\tan{\phi'})}$

Le caratteristiche geometriche sono riportate sinteticamente nel seguente schema:





7.1.1 VERIFICA A SCORRIMENTO

La verifica dell'equilibrio allo stato limite di scorrimento viene condotta confrontando l'azione resistente R_h, pari al prodotto della risultante delle forze verticali per il coefficiente d'attrito con l'azione instabilizzante, pari alla risultante di tutte le componenti orizzontali delle forze agenti sul muro.

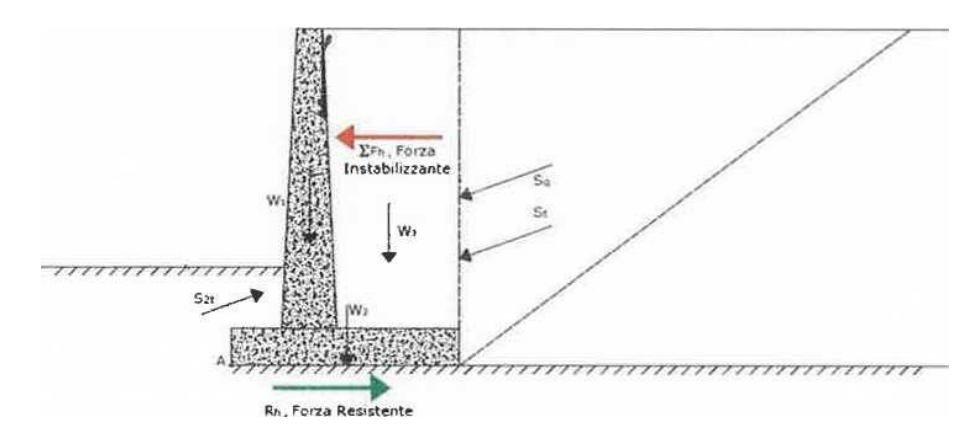


Figura 7-2 – Verifica a scorrimento.

In condizioni sismiche, ai fini del dimensionamento, si fa riferimento ad un sisma agente da monte verso valle del muro, in direzione orizzontale, dal basso verso l'alto e dall'alto verso il basso, in direzione verticale.

TALFERR GRUPPO FERROVIE DELLO STATO ITALIANE	DIRETTRICE FERROVIARIA MESSINA – CATANIA – PALERMO NUOVO COLLEGAMENTO PALERMO – CATANIA TRATTA VALLELUNGA – CALTANISETTA XIRBI (LOTTO 3b) OPERE DI SOSTEGNO VIABILITA' – LOTTO 3B							
NV52: MURO DI SOSTEGNO MU79D RELAZIONE DI CALCOLO	COMMESSA RS3T	LOTTO 30 D 78	CODIFICA CL	DOCUMENTO MU79D0 001	REV.	FOGLIO 20 di 119		

7.1.2 VERIFICA A RIBALTAMENTO

L'equilibrio allo stato limite è condotto confrontando il momento delle forze stabilizzanti e quello delle forze ribaltanti, entrambi rispetto all'estremo A di valle della fondazione.

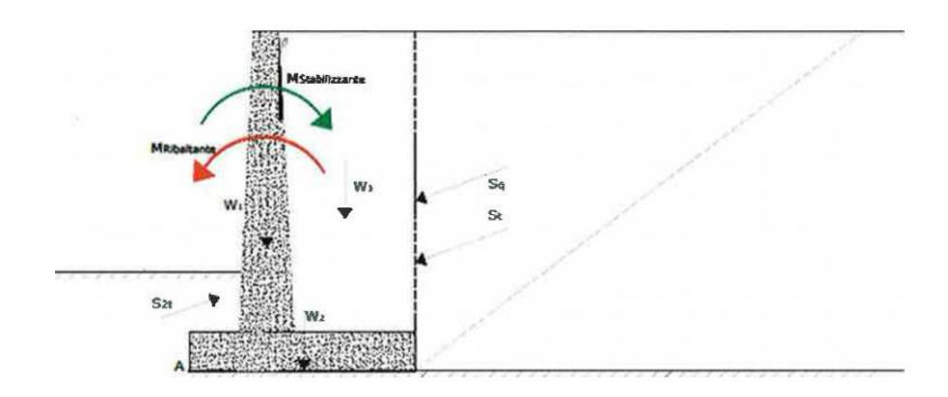


Figura 7-3- Verifica a ribaltamento.

7.1.3 VERIFICA A CARICO LIMITE DELLA FONDAZIONE

Per il calcolo della capacità portante della fondazione si è fatto riferimento alla formula di Brinch-Hansen (1970) integrata dai coefficienti sismici di Paolucci e Pecker (1995), di seguito riportata:

$$q_{lim} = c' \; N_c \; s_c \; d_c \; i_c \; b_c \; g_c \; z_c + q \; N_q \; s_q \; d_q \; i_q \; b_q \; g_q \; z_q \; + 0.5 \; \gamma \; B \; N \; s_\gamma \; d_\gamma \; i_\gamma \; b_\gamma \; g_\gamma \; z_\gamma \; d_\gamma \; i_\gamma \; b_\gamma \; g_\gamma \; z_\gamma \; d_\gamma \; i_\gamma \; b_\gamma \; g_\gamma \; z_\gamma \; d_\gamma \; i_\gamma \; b_\gamma \; g_\gamma \; z_\gamma \; d_\gamma \; i_\gamma \; b_\gamma \; g_\gamma \; z_\gamma \; d_\gamma \; i_\gamma \; b_\gamma \; g_\gamma \; z_\gamma \; d_\gamma \; i_\gamma \; b_\gamma \; g_\gamma \; z_\gamma \; d_\gamma \; i_\gamma \; b_\gamma \; g_\gamma \; z_\gamma \; d_\gamma \; i_\gamma \; b_\gamma \; g_\gamma \; z_\gamma \; d_\gamma \; i_\gamma \; b_\gamma \; g_\gamma \; z_\gamma \; d_\gamma \; i_\gamma \; b_\gamma \; g_\gamma \; z_\gamma \; d_\gamma \; i_\gamma \; b_\gamma \; g_\gamma \; z_\gamma \; d_\gamma \; i_\gamma \; b_\gamma \; g_\gamma \; z_\gamma \; d_\gamma \; i_\gamma \; b_\gamma \; g_\gamma \; z_\gamma \; d_\gamma \; i_\gamma \; b_\gamma \; g_\gamma \; z_\gamma \; d_\gamma \; i_\gamma \; b_\gamma \; g_\gamma \; d_\gamma \; i_\gamma \; b_\gamma \; g_\gamma \; d_\gamma \; i_\gamma \; d_\gamma \; i_\gamma \; b_\gamma \; g_\gamma \; d_\gamma \; d_\gamma \; i_\gamma \; b_\gamma \; g_\gamma \; d_\gamma \; d$$

$$F_s = q_{lim} / q_{es}$$

con $q_{es} = N / (B'*L')$ la pressione dovuta al carico verticale.

7.1.4 VERIFICA A STABILITÀ GLOBALE

Per le verifiche di stabilità dei pendii naturali si ricorre, nell'ambito dei metodi all'equilibrio limite, ai cosiddetti metodi delle strisce, in particolare il metodo di Bishop. Si ipotizza una superficie cilindrica di scorrimento potenziale, S, si suddivide idealmente la porzione di terreno delimitato da questa e dalla superficie topografica in n conci e si analizza l'equilibrio limite di ciascun concio.



7.2 VERIFICHE GEOTECNICHE (SLV) IN CONDIZIONI SISMICHE

L'analisi della sicurezza dei muri di sostegno in condizioni sismiche può essere eseguita mediante i metodi pseudo-statici e i metodi degli spostamenti.

RS3T

30 D 78

CL

REV.

MU79D0 001

FOGLIO

21 di 119

L'analisi pseudo-statica si esegue mediante i metodi dell'equilibrio limite. Il modello di calcolo deve comprendere l'opera di sostegno, il volume di terreno a tergo dell'opera, che si suppone in stato di equilibrio limite attivo, e gli eventuali sovraccarichi agenti sul volume suddetto.

Nell'analisi pseudo-statica, l'azione sismica è rappresentata da una forza statica equivalente pari al prodotto delle forze di gravità per un opportuno coefficiente sismico.

Nelle verifiche, i valori dei coefficienti sismici orizzontale k_h e verticale k_v possono essere valutati mediante le espressioni

$$k_h = \beta_m \frac{a_g}{g}$$

RELAZIONE DI CALCOLO

 $k_v = \pm 0.5 \ k_h$

dove:

 β_m = coefficiente di riduzione dell'accelerazione massima attesa al sito;

 a_{max} = accelerazione orizzontale massima attesa al sito;

g = accelerazione di gravità.

In assenza di analisi specifiche della risposta sismica locale, l'accelerazione massima può essere valutata con la relazione

$$a_{max} = S \cdot a_g = (S_S \cdot S_T) \cdot a_g$$

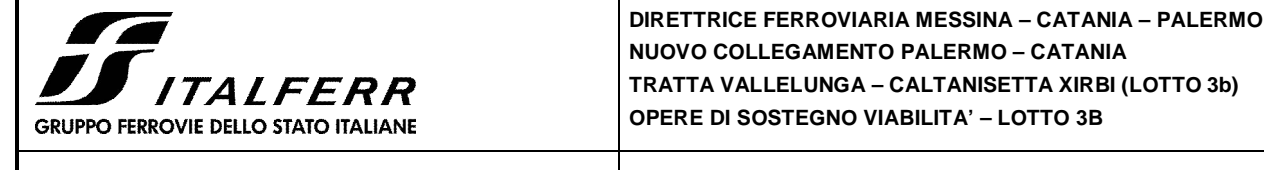
dove:

S = coefficiente che comprende l'effetto dell'amplificazione stratigrafica (S_S) e dell'amplificazione topografica (S_T) di cui al paragrafo 3.2.3.2 delle NTC18.

Nella precedente espressione, il coefficiente di riduzione dell'accelerazione massima attesa al sito è pari a:

 $\beta_m = 0.38$ nelle verifiche allo stato limite ultimo (SLV)

 $\beta_m = 0.47$ nelle verifiche allo stato limite di esercizio (SLD)



NUOVO COLLEGAMENTO PALERMO - CATANIA TRATTA VALLELUNGA - CALTANISETTA XIRBI (LOTTO 3b) OPERE DI SOSTEGNO VIABILITA' - LOTTO 3B

NV52: MURO DI SOSTEGNO MU79D RELAZIONE DI CALCOLO

COMMESSA LOTTO CODIFICA FOGLIO **DOCUMENTO** REV. RS3T 30 D 78 CL MU79D0 001 22 di 119

Per muri non liberi di subire spostamenti relativi rispetto al terreno, il coefficiente β_m assume valore unitario.

Nel caso di muri liberi di traslare o di ruotare intorno al piede, si può assumere che l'incremento di spinta dovuta al sisma agisca nello stesso punto di quella statica. Negli altri casi, in assenza di studi specifici, si deve assumere che tale incremento sia applicato a metà altezza del muro.

Lo stato limite di ribaltamento deve essere trattato impiegando coefficienti parziali unitari sulle azioni e sui parametri geotecnici (paragrafo 7.11.1 delle NTC18) e utilizzando valori di β_m incrementati del 50% rispetto a quelli innanzi indicati e comunque non superiori all'unità.

In condizioni sismiche deve essere soddisfatta la verifica di stabilità del complesso muro – terreno con i criteri indicati al paragrafo 7.11.4 delle NTC2018.

Il calcolo della spinta in condizioni sismiche è stato effettuato impiegando la Teoria di Mononobe -Okabe.

La teoria di Mononobe - Okabe fa uso del metodo dell'equilibrio limite e può essere considerata una estensione della teoria di Coulomb, in cui, alle usuali spinte al contorno del cuneo instabile di terreno, sono sommate anche le azioni inerziali orizzontali e verticali dovute all'accelerazione delle masse.

Le spinte Attiva e Passiva si calcolano come:

$$S_{a,t} = \frac{1}{2} \gamma \cdot k_{as} \cdot h^2 \cdot (1 \mp k_v)$$

Il coefficiente k_{as} è valutato, quindi, secondo tale formulazione, in cui i simboli usati sono:

 ϕ = angolo di attrito interno del terrapieno;

 ψ = angolo di inclinazione rispetto all'orizzontale della parete interessata del muro;

 β = angolo di inclinazione rispetto all'orizzontale del profilo del terrapieno;

 δ = angolo di attrito terrapieno – muro;

 θ = angolo di rotazione addizionale definito come segue.

$$tan\theta = \frac{k_h}{1 \mp k_n}$$

Il coefficiente per stati di spinta attiva si divide in due casi:



$$\beta \leq \phi - \theta \rightarrow k_{as} = \frac{\sin^2(\psi + \phi - \theta)}{\cos\theta \cdot \sin^2\psi \cdot \sin(\psi - \theta - \delta) \left[1 + \sqrt{\frac{\sin(\phi + \delta) \cdot \sin(\phi - \beta - \theta)}{\sin(\psi - \theta - \delta) \cdot \sin(\psi + \beta)}}\right]^2}$$

$$\beta > \phi - \theta \rightarrow k_{as} = \frac{\sin^2(\psi + \phi - \theta)}{\cos\theta \cdot \sin^2\psi \cdot \sin(\psi - \theta - \delta)}$$

Il coefficiente per stati di spinta passiva è invece:

$$k_{ps} = \frac{\sin^2(\psi + \phi - \theta)}{\cos\theta \cdot \sin^2\psi \cdot \sin(\psi + \theta) \left[1 - \sqrt{\frac{\sin\phi \cdot \sin(\phi + \beta - \theta)}{\sin(\psi + \beta) \cdot \sin(\psi + \theta)}}\right]^2}$$

7.3 VERIFICHE GEOTECNICHE (SLE)

Per ciascun stato limite di esercizio deve essere rispettata la condizione [6.2.7] delle NTC 2018:

$$E_d \leq C_d$$

essendo E_d e C_d rispettivamente il valore di progetto dell'effetto delle azioni e il prescritto valore limite dell' effetto delle azioni (spostamenti, rotazioni, distorsioni, ecc.).

In particolare, dovranno essere valutati gli spostamenti delle opere di sostegno e del terreno circostante per verificarne la compatibilità con la funzionalità delle opere stesse e con la sicurezza e funzionalità dei manufatti adiacenti, anche a seguito di modifiche indotte sul regime delle pressioni interstiziali.

Per i lavori e le opere da realizzare in prossimità di linee ferroviarie già in esercizio, le verifiche agli SLE dovranno essere condotte assumendo come limite degli spostamenti indotti durante la costruzione sui binari in esercizio i valori limite dei difetti riferiti al secondo livello di qualità descritti nella specifica tecnica RFI TCAR ST AR 01 001 D "Standard di qualità geometrica del binario con velocità fino a 300 km/h" e relativi allegati.

Qualora vengano superati i limiti riferiti al primo livello di qualità, il progetto dovrà prevedere l'esecuzione di un monitoraggio del binario durante la costruzione al fine di controllare l'effettivo andamento delle deformazioni.



7.4 VERIFICHE GEOTECNICHE - URTO

L'urto rappresenta un carico eccezionale quindi la combinazione di riferimento vede i coefficienti parziali delle azioni e dei materiali pari all'unità.

Si eseguirà la verifica a scorrimento e a ribaltamento per le quali si applica un carico di 100 kN diffuso sulla lunghezza del muro, che a favore di sicurezza si considera pari a 10 m da cui:

f = 100/10 = 10 kN/m forza in testa

m = f 1 = 10 kNm/m momento in testa al muro



7.5 VERIFICHE STRUTTURALI SLU

Le verifiche di resistenza delle sezioni sono eseguite secondo il metodo semiprobabilistico agli stati limite. I coefficienti di sicurezza adottati sono i sequenti:

- coefficiente parziale di sicurezza per il calcestruzzo: 1.50;
- coefficiente parziale di sicurezza per l'acciaio in barre: 1.15;

Il paragrafo in oggetto illustra nel dettaglio i criteri generali adottati per le verifiche strutturali e geotecniche condotte nel progetto. Ulteriori dettagli di carattere specifico, laddove impiegati, sono dichiarati e motivati nelle relative risultanze delle verifiche.

7.5.1 CRITERI DI VERIFICA DELLE SEZIONI IN C.A.

Per le sezioni in cemento armato si effettuano:

- verifiche per gli stati limite ultimi a presso-flessione;
- verifiche per gli stati limite ultimi a taglio;
- verifiche per gli stati limite di esercizio.

7.5.2 VERIFICHE PER GLI STATI LIMITE ULTIMI A FLESSIONE - PRESSOFLESSIONE

Allo stato limite ultimo, le verifiche a flessione o presso-flessione sono condotte confrontando (per le sezioni più significative) le resistenze ultime e le sollecitazioni massime agenti, valutando di conseguenza il corrispondente fattore di sicurezza.

7.5.3 VERIFICA AGLI STATI LIMITE ULTIMI A TAGLIO

La verifica allo stato limite ultimo per azioni di taglio è condotta secondo quanto prescritto dal DM17/01/2018, per elementi con armatura a taglio verticali.

Si fa, pertanto, riferimento ai seguenti valori della resistenza di calcolo:

- resistenza di calcolo dell'elemento privo di armatura a taglio:

$$V_{Rd} = \max \left\{ \left[0.18 \cdot k \cdot (100 \cdot \rho_1 \cdot f_{ck})^{1/3} / \gamma_c + 0.15 \cdot \sigma_{cp} \right] b_w \cdot d; \ (v_{\min} + 0.15 \cdot \sigma_{cp}) \cdot b_w d \right\}$$

- valore di progetto dello sforzo di taglio che può essere sopportato dall'armatura a taglio alla tensione di snervamento:



$$V_{Rsd} = 0.9 \cdot d \cdot \frac{A_{sw}}{s} \cdot f_{yd} \cdot (ctg\alpha + ctg\theta) \cdot sin \alpha$$

- valore di progetto del massimo sforzo di taglio che può essere sopportato dall'elemento, limitato dalla rottura delle bielle compresse:

$$V_{Rcd} = 0.9 \cdot d \cdot b_w \cdot \alpha_c v \cdot f_{cd} (ctg\alpha + ctg\theta)/(1 + ctg^2 \theta)$$

Nelle espressioni precedenti, i simboli hanno i seguenti significati:

$$k=1+\sqrt{\frac{200}{d}}\leq 2 \text{ con d in mm};$$

$$\rho_1 = \frac{A_{sl}}{b_w \cdot d} \leq 0.02;$$

A_{sl} è l'area dell'armatura tesa;

b_w è la larghezza minima della sezione in zona tesa;

$$\sigma_{cp} = \frac{N_{Ed}}{A_c} < 0.2 \cdot f_{cd};$$

N_{Ed} è la forza assiale nella sezione dovuta ai carichi;

A_c è l'area della sezione di calcestruzzo;

$$v_{\min} = 0.035 \cdot k^{3/2} \cdot f_{ck}^{1/2}$$

 $1 \le \cot \theta \le 2.5$ è l'inclinazione dei puntoni di calcestruzzo rispetto all'asse della trave;

A_{sw} è l'area della sezione trasversale dell'armatura a taglio;

s è il passo delle staffe;

 f_{ywd} è la tensione di snervamento di progetto dell'armatura a taglio;

 $\mathbf{f'}_{cd} = \mathbf{0.5} \cdot \mathbf{f}_{cd}$ è la resistenza ridotta a compressione del calcestruzzo d'anima;



 $\alpha_{cw} = 1$ è un coefficiente che tiene conto dell'interazione tra la tensione nel corrente compresso e qualsiasi tensione di compressione assiale.

7.6 VERIFICHE STRUTTURALI SLE

La verifica nei confronti degli Stati limite di esercizio, consiste nel controllare, con riferimento alle sollecitazioni di calcolo corrispondenti alle Combinazioni di Esercizio il tasso di Lavoro nei Materiali e l'ampiezza delle fessure attesa, secondo quanto di seguito specificato

7.6.1 VERIFICHE ALLE TENSIONI

La verifica delle tensioni in esercizio consiste nel controllare il rispetto dei limiti tensionali previsti per il calcestruzzo e per l'acciaio per ciascuna delle combinazioni di carico caratteristiche "Rara" e "Quasi Permanente"; i valori tensionali nei materiali sono valutati secondo le note teorie di analisi delle sezioni in c.a. in campo elastico e con calcestruzzo "non reagente" adottando come limiti di riferimento, trattandosi nel caso in specie di opere Ferroviarie, quelli indicati nel documento "Manuale di progettazione opere civili".

La verifica consiste nel controllo delle tensioni nei materiali supponendo una legge costitutiva tensionideformazioni di tipo lineare. In particolare si controlla la tensione massima di compressione del calcestruzzo e di trazione dell'acciaio, verificando che:

- σ_c < 0.55 f_{ck} per combinazione di carico caratteristica (rara);
- σ_c < 0.40 f_{ck} per combinazione di carico quasi permanente;
- $\sigma_s < 0.75$ f k per combinazione di carico caratteristica (rara).

Strutture in c.a.

Tensioni di compressione del calcestruzzo

Devono essere rispettati i seguenti limiti per le tensioni di compressione nel calcestruzzo:

- per combinazione di carico caratteristica (rara): 0,55 fek;
- per combinazioni di carico quasi permanente: 0,40 fek;
- per spessori minori di 5 cm, le tensioni normali limite di esercizio sono ridotte del 30%.

Tensioni di trazione nell'acciaio

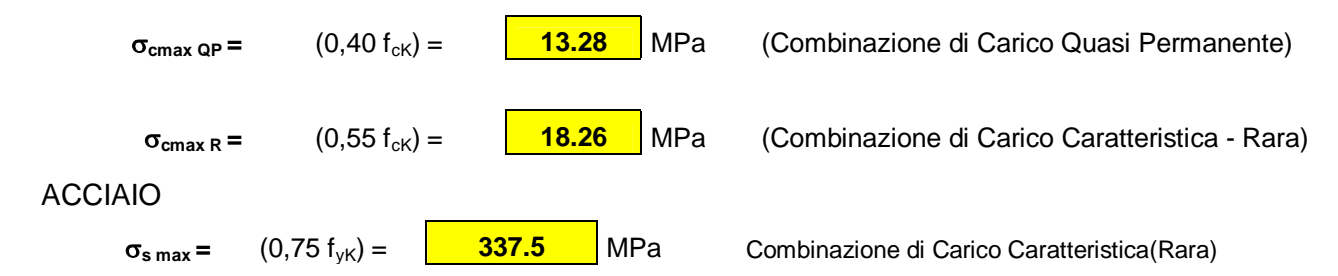
Per le armature ordinarie, la massima tensione di trazione sotto la combinazione di carico caratteristica (rara) non deve superare $0.75~f_{vk}$.



Per il caso in esame risulta in particolare :

Muro di sostegno:

CALCESTRUZZO



7.6.2 VERIFICHE A FESSURAZIONE

La verifica di fessurazione consiste nel controllare l'ampiezza dell'apertura delle fessure sotto combinazione di carico frequente e combinazione quasi permanente. Essendo la struttura a contatto col terreno si considerano condizioni ambientali aggressive; le armature di acciaio ordinario sono ritenute poco sensibili [NTC – Tabella 4.1.IV]

In relazione all'aggressività ambientale e alla sensibilità dell'acciaio, l'apertura limite delle fessure è riportato nel prospetto seguente:

Cruppi di			Armatura					
Gruppi di	Condizioni ambientali	Combinazione di azione	Sensibile	Poco sensibile				
esigenza			Stato limite	wd	Stato limite	wd		
	Ordinarie frequente a		ap. fessure	≤w ₂	ap. fessure	≤w ₃		
а	Ordinane	quasi permanente	ap. fessure	≤w ₁	ap. fessure	≤w ₂		
h	Aggressive	frequente	ap. fessure	≤w ₁	ap. fessure	≤w ₂		
b	Aggressive	quasi permanente	decompressione	-	ap. fessure	≤w ₁		
	Molto Aggressive	frequente	formazione fessure	-	ap. fessure	≤w ₁		
С		quasi permanente	decompressione	-	ap. fessure	≤w ₁		

Tabella 4.1.III - Descrizione delle condizioni ambientali

CONDIZIONI AMBIENTALI	CLASSE DI ESPOSIZIONE				
Ordinarie	X0, XC1, XC2, XC3, XF1				
Aggressive	XC4, XD1, XS1, XA1, XA2, XF2, XF3				
Molto aggressive	XD2, XD3, XS2, XS3, XA3, XF4				

Tabella 7-1 – Criteri di scelta dello stato limite di fessurazione e condizioni ambientali

Risultando:

w1 = 0.2 mm

w2 = 0.3 mm



NV52: MURO DI SOSTEGNO MU79D RELAZIONE DI CALCOLO
 COMMESSA
 LOTTO
 CODIFICA
 DOCUMENTO
 REV.
 FOGLIO

 RS3T
 30 D 78
 CL
 MU79D0 001
 B
 29 di 119

w3 = 0.4 mm

Alle prescrizioni normative presenti in NTC si sostituiscono in tal caso quelle fornite dalle specifiche RFI (Manuale di progettazione delle opere civili parte II sezione 2 – Requisiti concernenti la fessurazione per strutture in c.a., c.a.p. e miste acciaio-calcestruzzo) secondo cui la verifica nei confronti dello stato limite di apertura delle fessure va effettuata utilizzando le sollecitazioni derivanti dalla combinazione caratteristica (rara).

Per tutte le strutture a permanente contatto con il terreno e per le zone non ispezionabili di tutte le strutture, l'apertura convenzionale delle fessure dovrà risultare:

Combinazione Caratteristica (Rara)

$$\delta_f \leq w_1 = 0.2\,mm$$

Riguardo infine il valore di calcolo delle fessure da confrontare con i valori limite fissati dalla norma, si è è utilizzata la procedura prevista al punto "C4.1.2.2.4.5 Verifica allo stato limite di fessurazione" della Circolare n.7/19.



FOGLIO

30 di 119

NV52: MURO DI SOSTEGNO MU79D RELAZIONE DI CALCOLO COMMESSA LOTTO CODIFICA DOCUMENTO REV.

RS3T 30 D 78 CL MU79D0 001 B

7.7 VERIFICHE STRUTTURALI - URTO

L'urto rappresenta un carico eccezionale quindi la combinazione di riferimento vede i coefficienti parziali delle azioni e dei materiali pari all'unità.

Per le verifiche strutturali si considera la verifica a pressoflessione della sezione di spiccato del paramento per la quale:

M = [100 * (Hp+1)]/Lc= momento allo spiccato

T = 100 / Lc taglio allo spiccato

in cui:

Lc = 0.5 m +2 Hp larghezza di ripartizione come descritto al successivo par. 8.4.

Hp altezza del paramento

GRUPPO FERROVIE DELLO STATO ITALIANE	NUOVO COI TRATTA VA	LLEGAME LLELUNG	NTO PALERI	NA – CATANIA – MO – CATANIA ISETTA XIRBI (LO – LOTTO 3B		0
NV52: MURO DI SOSTEGNO MU79D RELAZIONE DI CALCOLO	COMMESSA RS3T	LOTTO 30 D 78	CODIFICA	DOCUMENTO MU79D0 001	REV.	FOGLIO 31 di 119

8. ANALISI DEI CARICHI

Nel seguente paragrafo si descrivono i carichi elementari che agiscono sulla struttura in oggetto. Tali azioni sono definite secondo le normative e sono utilizzate per la generazione delle combinazioni di carico nell'ambito delle verifiche di resistenza, in esercizio ed in presenza dell'evento sismico.

Tutti i carichi elementari si riferiscono all'unità di sviluppo del muro, pertanto sono tutti definiti rispetto all'unità di lunghezza.

8.1 PESI PROPRI

Il peso proprio del muro è calcolato in automatico dal foglio di calcolo elettronico.

I dati di input per i muri su fondazione diretta sono i seguenti:

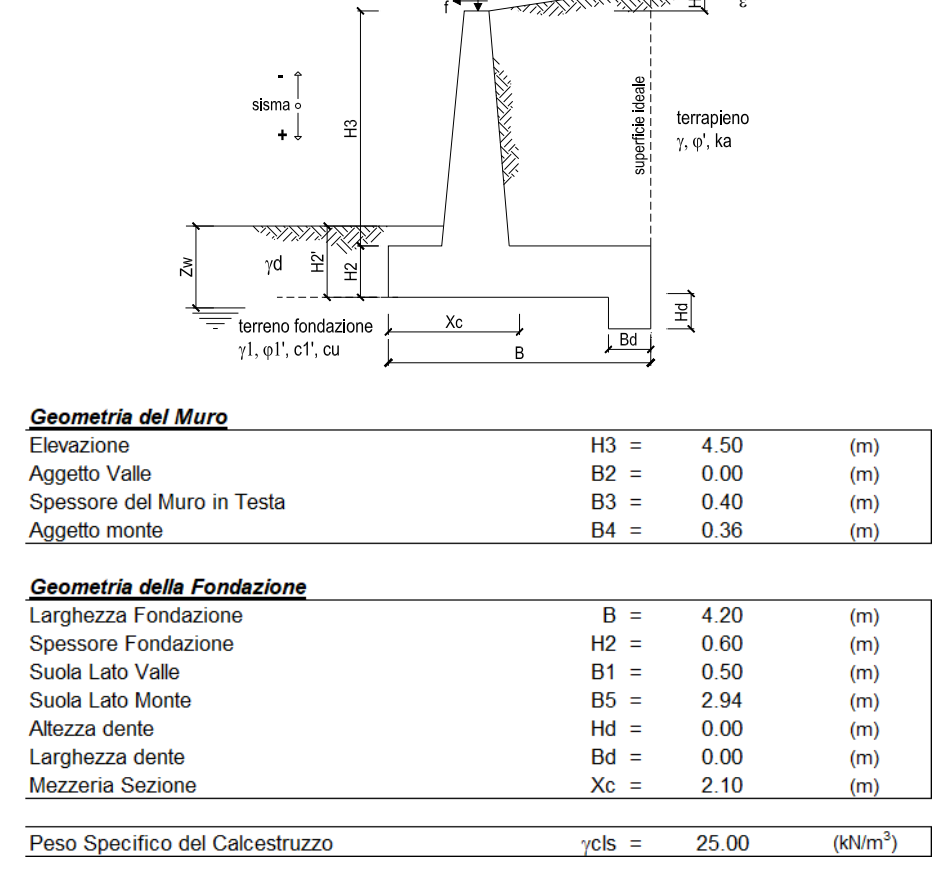


Figura 8-1 – Caratteristiche geometriche muri di sostegno con fondazione diretta – tipo 1.



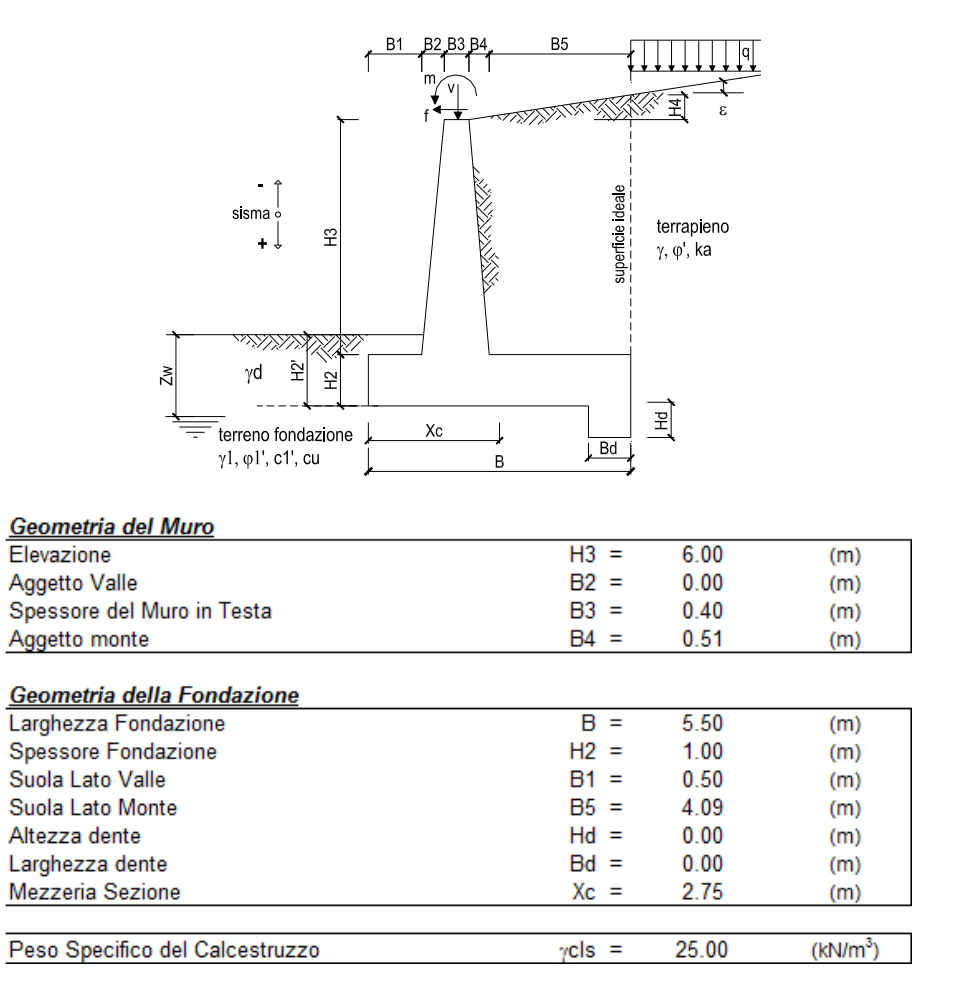


Figura 8-2 – Caratteristiche geometriche muri di sostegno con fondazione diretta – tipo 2.



8.2 CARICHI PERMANENTI

8.2.1 PARAPETTO METALLICO

Per il parapetto metallico si considerano le seguenti azioni agenti sul muro:

$$V_{parapetto} = 1.00 \text{ kN/m}$$

8.2.2 BARRIERA DI SICUREZZA

Per la barriera di sicurezza si considerano le seguenti azioni agenti sul muro:

$$V_{barriera} = 2.50 \text{ kN/m}$$

8.2.3 SPINTA DEL TERRENO

A tergo del muro agisce la spinta del terreno del rilevato.

La spinta in condizioni di esercizio viene calcolata con il coefficiente di spinta attiva ka.

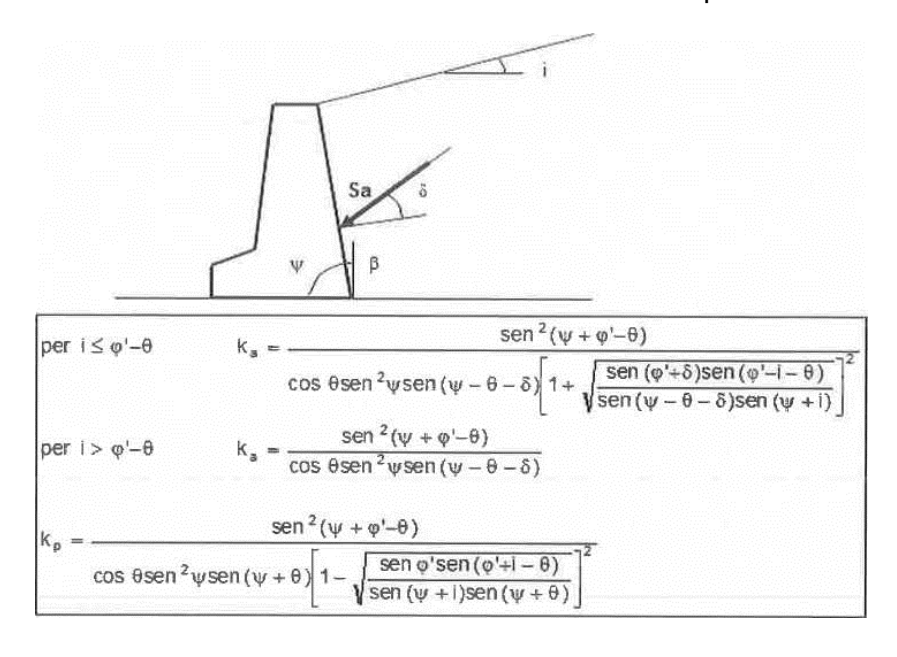


Figura 8-3 – Coefficiente di spinta attiva e passiva.

La spinta sull'opera di sostegno dovrà essere applicata sul piano verticale, assunto come paramento virtuale del muro, definito a partire dall'estremo a monte della scarpa di fondazione.

GRUPPO FERROVIE DELLO STATO ITALIANE	DIRETTRICE FERROVIARIA MESSINA – CATANIA – PALERMO NUOVO COLLEGAMENTO PALERMO – CATANIA TRATTA VALLELUNGA – CALTANISETTA XIRBI (LOTTO 3b) OPERE DI SOSTEGNO VIABILITA' – LOTTO 3B						
NV52: MURO DI SOSTEGNO MU79D RELAZIONE DI CALCOLO	COMMESSA RS3T	LOTTO 30 D 78	CODIFICA	DOCUMENTO MU79D0 001	REV.	FOGLIO	

Su tale paramento l'angolo di inclinazione δ della risultante della spinta (applicata ad 1/3 dell'altezza del paramento virtuale) si potrà assumere uguale all'angolo di inclinazione β del terrapieno, a meno che β non sia superiore all'angolo di resistenza al taglio del terreno ϕ ', nel qual caso si assumerà $\delta = \phi$ '.

				valori caratteristici	valori di p	rogetto
Dati 0	Geotecnici			SLE	STR/GEO	EQU
ati apien o	Angolo di attrito del terrapieno	(°)	φ'	35,00	35,00	35,00
\Box \vdash	Peso Unità di Volume del terrapieno	(kN/m³)	γ'	19,00	19,00	19,00
_ <u>e</u>	Angolo di attrito terreno-superficie ideale	(°)	δ	0,00	0,00	0,00

Figura 8-4 – Dati geotecnici



8.3 CARICHI VARIABILI

8.3.1 CARICHI MOBILI DA TRAFFICO

Per quanto attiene il sovraccarico variabile dovuto al carico stradale si applica il carico verticale statico di 20 kPa che, in condizioni sismiche, è stato ridotto al 20% (4 kPa).

		valori caratteristici	valori di progetto			
Carichi .	<u>Agenti</u>			SLE - sisma	STR/GEO	EQU
=	Sovraccarico permanente	(kN/m ²)	qp	0,00	0,00	0,00
ir je	Sovraccarico su zattera di monte					
Carichi ermaner	Forza Orizzontale in Testa permanente	(kN/m)	fp	0,00	0,00	0,00
Carichi oermanenti	Forza Verticale in Testa permanente	(kN/m)	vp	3,50	3,50	3,50
	Momento in Testa permanente	(kNm/m)	mp	0,00	0,00	0,00
	Sovraccarico Accidentale in condizioni statiche	(kN/m ²)	q	20,00	29,00	29,00
Condizioni Statiche	Forza Orizzontale in Testa accidentale in condizioni statiche	(kN/m)	f	0,00	0,00	0,00
ondizior Statiche	Forza Verticale in Testa accidentale in condizioni statiche	(kN/m)	V	0,00	0,00	0,00
S &	Momento in Testa accidentale in condizioni statiche	(kNm/m)	m	0,00	0,00	0,00
	Coefficienti di combinazione condizione frequen	te Ψ1	1,00	condizione quasi permane	nte Ψ2	0,00
Ē ē	Sovraccarico Accidentale in condizioni sismiche	(kN/m^2)	qs	4,00		
lizio Pict	Forza Orizzontale in Testa accidentale in condizioni sismiche	(kN/m)	fs	0,00		
Condizioni Sismiche	Forza Verticale in Testa accidentale in condizioni sismiche	(kN/m)	VS	0,00		
0 0	Momento in Testa accidentale in condizioni sismiche	(kNm/m)	ms	0,00		

Figura 8-5 – Carichi agenti



8.4 CARICHI ECCEZIONALI – URTO DA TRAFFICO VEICOLARE

Per i muri di sostegno si è considerata l'azione causata da collisioni accidentali sugli elementi di sicurezza. La normativa prevede una forza orizzontale equivalente di collisione di 100 kN agente trasversalmente ed orizzontalmente 100 mm sotto la sommità dell'elemento o 1,0 m sopra il livello del piano di marcia (il più piccolo dei due valori), ed applicata su una linea lunga 0,5 m. Effettuando una diffusione longitudinale a 45° fino alla base del paramento si ottiene la lunghezza longitudinale (Lc) e il valore della forza riferito ad 1 m di lunghezza di muro.

Nel dimensionamento degli elementi strutturali ai quali è collegata la barriera si deve tener conto della eventuale sovrapposizione delle zone di diffusione di tale sistema di forze, in funzione della geometria della barriera e delle sue condizioni di vincolo. Per il dimensionamento dell'impalcato, le forze orizzontali così determinate devono essere amplificate di un fattore pari a 1,50.

Il coefficiente parziale di sicurezza per la combinazione di carico agli SLU per l'urto di veicolo in svio deve essere assunto unitario.

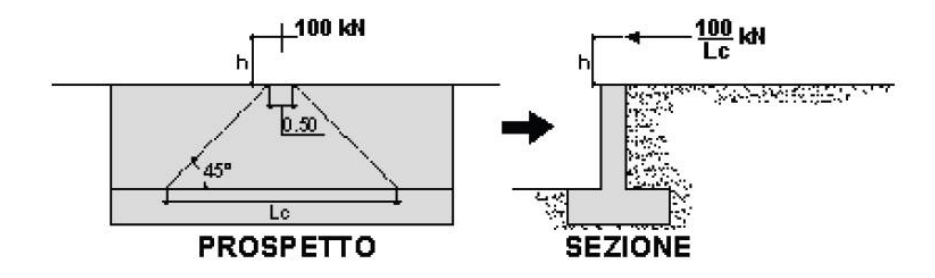


Figura 8-6 – Schema di diffusione della forza di collisione.



8.5 VALUTAZIONE DELL'AZIONE SISMICA

8.5.1 VITA NOMINALE

La vita nominale di un'opera strutturale V_N è intesa come il numero di anni nel quale la struttura, purché soggetta alla manutenzione ordinaria, deve potere essere usata per lo scopo al quale è destinata. Nel presente caso l'opera viene inserita nella seguente tipologia di costruzione:

2) Opere ordinarie, ponti, opere infrastrutturali e dighe di dimensioni contenute o di importanza normale La cui vita nominale è pari a: 50 anni.

8.5.2 CLASSE D'USO

In presenza di azioni sismiche, con riferimento alle conseguenze di un'interruzione di operatività o di un eventuale collasso, l'opera appartiene alla seguente classe d'uso:

Classe III: Costruzioni il cui uso preveda affollamenti significativi. Industrie con attività pericolose per l'ambiente. Reti viarie extraurbane non ricadenti in Classe d'uso IV. Ponti e reti ferroviarie la cui interruzione provochi situazioni di emergenza. Dighe rilevanti per le conseguenze dì un loro eventuale collasso.

Il coefficiente d'uso è pari a 1.50.

8.5.3 PERIODO DI RIFERIMENTO

Le azioni sismiche su ciascuna costruzione vengono valutate in relazione al periodo di riferimento V_R ricavato, per ciascun tipo di costruzione, moltiplicandone la vita nominale V_N per il coefficiente d'uso C_u .

Pertanto $V_R = 50 \times 1.5 = 75 \text{ anni.}$

8.5.4 PARAMETRI SISMICI

Fissata la vita di riferimento V_R , i due parametri T_R e P_{VR} sono immediatamente esprimibili, l'uno in funzione dell'altro, mediante l'espressione:

$$T_{R} = -\frac{V_{E}}{\ln(1 - P_{VE})} = -\frac{C_{u}V_{N}}{\ln(1 - P_{VE})}$$



Stati Limite	$P_{V_{\overline{R}}}$: Probabilità di superamento nel periodo di riferimento $V_{\overline{R}}$		
Stati limite di esercizio	SLO	81%	
	SLD	63%	
Cr. r: 1: -: r. 1r: -:	SLV	10%	
Stati limite ultimi	SLC	5%	

FOGLIO

38 di 119

Tabella 8-1 – Probabilità di superamento al variare dello stato limite considerato.

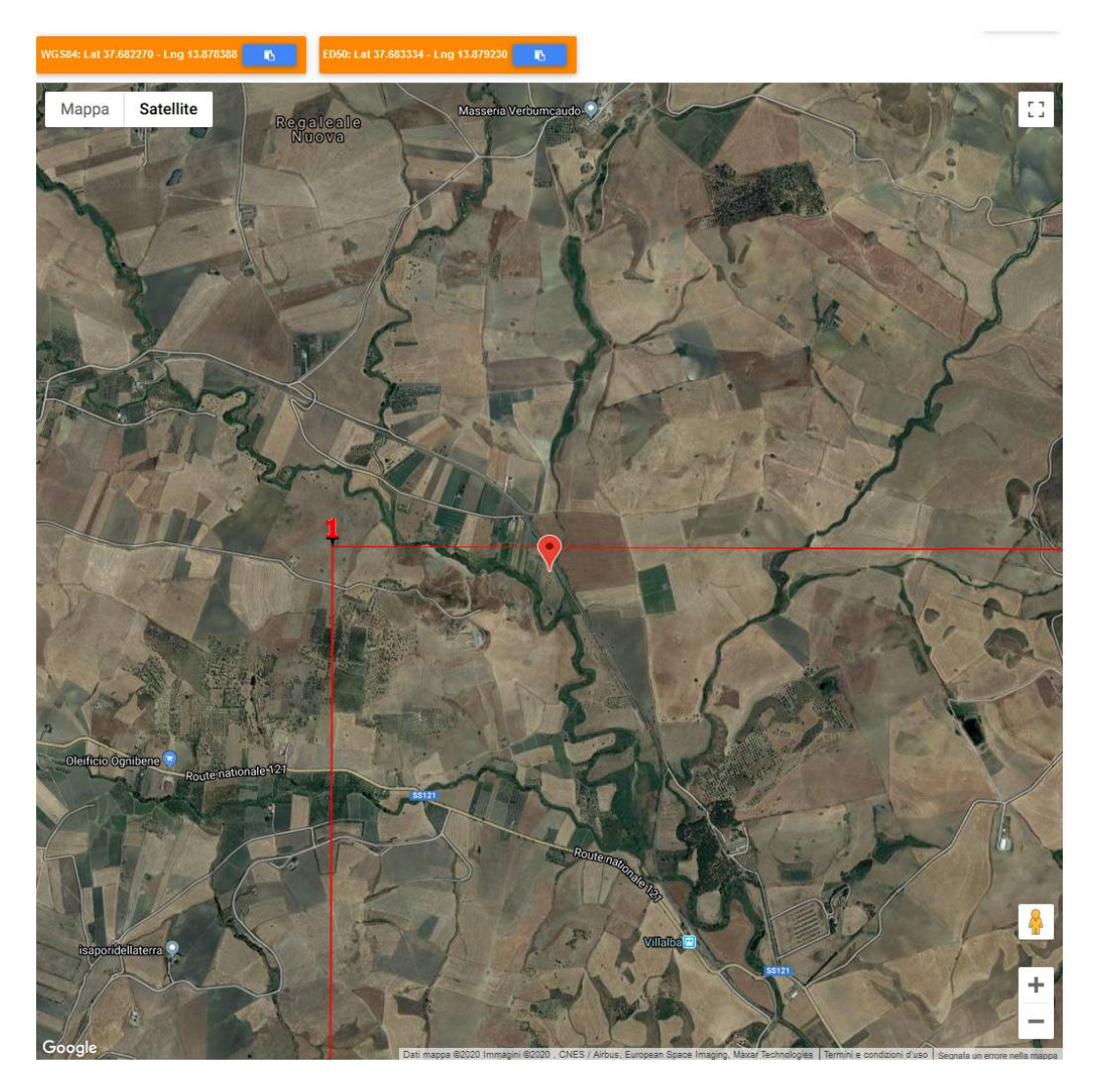


Tabella 8-2 – Localizzazione del sito ove sorgeranno le opera.



Da cui si ottiene la seguente tabella:



Tabella 8-3 – Parametri relativi all'azione sismica.

Ai fini della definizione dell'azione sismica di progetto, si rende necessario valutare l'effetto della risposta sismica locale. Per la definizione dell'azione sismica si può fare riferimento a un approccio semplificato, che si basa sull'individuazione delle categorie di sottosuolo di riferimento in accordo a quanto indicato nel § 3.2.2 delle NTC2018. I terreni di progetto possono essere caratterizzati come appartenenti a terreni di Categoria C. In condizioni topografiche superficiali semplici si può adottare la seguente classificazione.

Categoria	Caratteristiche della superficie topografica				
T1	Superficie pianeggiante, pendii e rilievi isolati con inclinazione media i ≤ 15°				
T2	Pendii con inclinazione media i > 15°				
T3	Rilievi con larghezza in cresta molto minore che alla base e inclinazione media 15° ≤ i ≤ 30°				
T4	Rilievi con larghezza in cresta molto minore che alla base e inclinazione media i > 30°				

Tabella 8-4 – Categorie topografiche.

L'area interessata risulta classificabile come T1.



In riferimento a quanto indicato nel §3.2.3.2.1 delle NTC2018 per la definizione dello spettro elastico in accelerazione è necessario valutare il valore del coefficiente $S = S_S S_T$ e di C_C in base alla categoria di sottosuolo e alle condizioni topografiche; si fa riferimento nella valutazione dei coefficienti alle tabelle di seguito riportate:

Categoria sottosuolo	S _S	C _c	
A	1,00	1,00	
В	$1,00 \le 1,40 - 0,40 \cdot F_o \cdot \frac{a_g}{g} \le 1,20$	$1,10 \cdot (T_C^*)^{-0,20}$	
С	$1,00 \le 1,70 - 0,60 \cdot F_o \cdot \frac{a_g}{g} \le 1,50$	$1,05 \cdot (T_C^*)^{-0,33}$	
D	$0.90 \le 2.40 - 1.50 \cdot F_o \cdot \frac{a_g}{g} \le 1.80$	$1,25 \cdot (T_C^*)^{-0,50}$	
E	$1,00 \le 2,00 - 1,10 \cdot F_o \cdot \frac{a_g}{g} \le 1,60$	1,15 · (T _C *) ^{-0,40}	

Tabella 8-5 – Espressioni di S_S e C_C.

Categoria topografica	Ubicazione dell'opera o dell'intervento	ST
T1		1,0
T2	In corrispondenza della sommità del pendio	1,2
Т3	In corrispondenza della cresta di un rilievo con pendenza media minore o uguale a 30°	1,2
T4	In corrispondenza della cresta di un rilievo con pendenza media maggiore di 30°	1,4

Tabella 8-6 − Valori massimi dei coefficienti di amplificazione topografica S_T.

valori dei coefficienti di amplificazione stratigrafica sono pari a S_s =1.50 e C_c = 1.450 valore del coefficiente di amplificazione topografica è posto pari a ST = 1.0

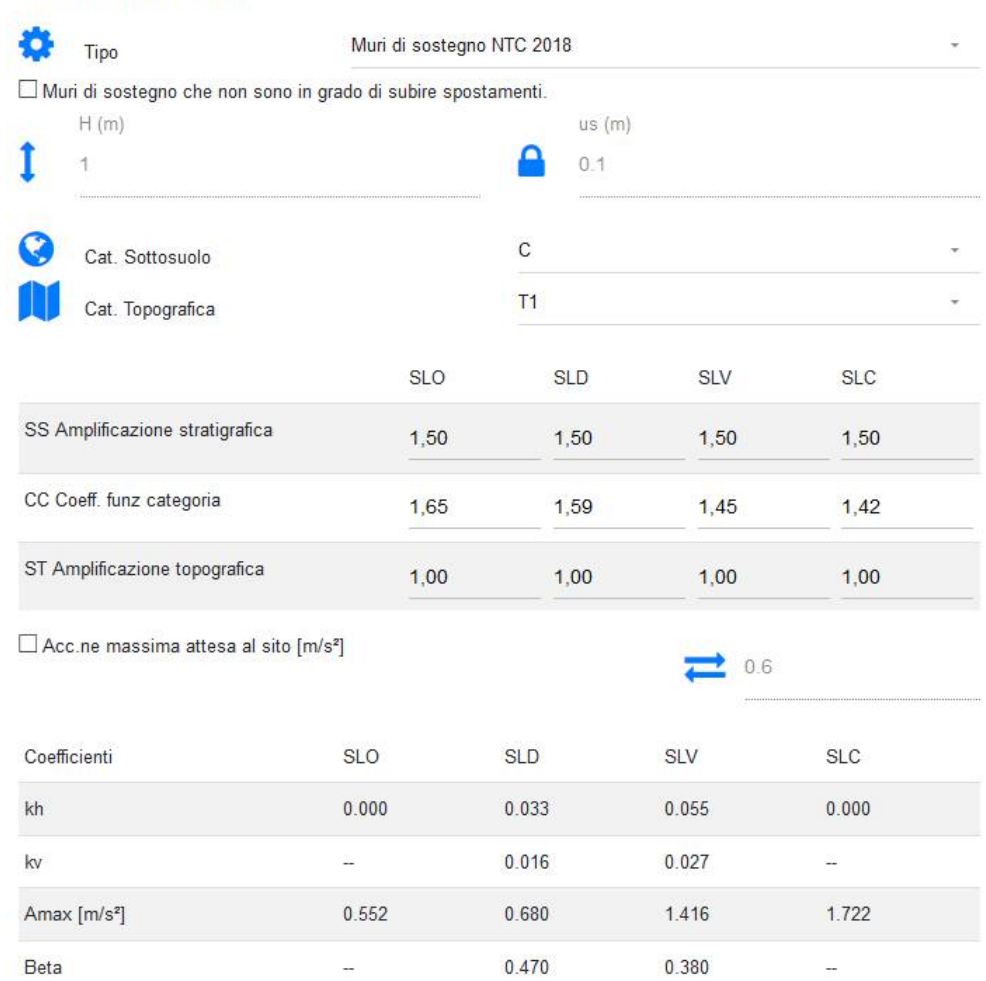
Dalla sezione dedicata al calcolo dei parametri sismici di base del programma "GeoStru", si ricavano i seguenti parametri dello spettro di risposta relativo al sito più gravoso.



NV52: MURO DI SOSTEGNO MU79D RELAZIONE DI CALCOLO
 COMMESSA
 LOTTO
 CODIFICA
 DOCUMENTO
 REV.
 FOGLIO

 RS3T
 30 D 78
 CL
 MU79D0 001
 B
 41 di 119

Coefficienti sismici



GRUPPO FERROVIE DELLO STATO ITALIANE	DIRETTRICE FERROVIARIA MESSINA – CATANIA – PALERMO NUOVO COLLEGAMENTO PALERMO – CATANIA TRATTA VALLELUNGA – CALTANISETTA XIRBI (LOTTO 3b) OPERE DI SOSTEGNO VIABILITA' – LOTTO 3B					
NV52: MURO DI SOSTEGNO MU79D RELAZIONE DI CALCOLO	COMMESSA RS3T	LOTTO 30 D 78	CODIFICA	DOCUMENTO MU79D0 001	REV.	FOGLIO 42 di 119

9. COMBINAZIONI DI CARICO

Le combinazioni di carico prese in considerazione nelle verifiche sono state definite in base a quanto prescritto dalle NTC-2018 al par.2.5.3:

- Combinazione fondamentale, generalmente impiegata per gli stati limite ultimi (SLIT): $\gamma_{G1} \cdot G_1 + \gamma_{G2} \cdot G_2 + \gamma_P \cdot P + \gamma_{Q1} \cdot Q_{k1} + \gamma_{Q2} \cdot \psi_{02} \cdot Q_{k2} + \gamma_{Q3} \cdot \psi_{03} \cdot Q_{k3} + \dots$ [2.5.1]
- Combinazione caratteristica, cosiddetta rara, generalmente impiegata per gli stati di esercizio (SLE) irreversibili: $G_1 + G_2 + P + Q_{k1} + \psi_{02} \cdot Q_{k2} + \psi_{03} \cdot Q_{k3} + \dots$ [2.5.2]
- $G_1 + G_2 + P + Q_{k1} + \psi_{02} \cdot Q_{k2} + \psi_{03} \cdot Q_{k3} + \dots$ [2.5.2] - Combinazione frequente, generalmente impiegata per gli stati limite di esercizio reversibili:
- $G_1 + G_2 + P + \psi_{11} \cdot Q_{k1} + \psi_{22} \cdot Q_{k2} + \psi_{23} \cdot Q_{k3} + \dots$ [2.5.3]
- Combinazione quasi permanente (SLE), generalmente impiegata per gli effetti a termine: $G_1 + G_2 + P + \psi_{21} \cdot Q_{k1} + \psi_{22} \cdot Q_{k2} + \psi_{23} \cdot Q_{k3} + \dots$ [2.5.4]
- Combinazione sismica, impiegata per gli stati limite ultimi e di esercizio connessi all'azione sismica E: $E+G_1+G_2+P+\psi_{21}\cdot Q_{k1}+\psi_{22}\cdot Q_{k2}+\dots$ [2.5.5]
- Combinazione eccezionale, impiegata per gli stati limite ultimi connessi alle azioni eccezionali A: $G_1 + G_2 + P + A_d + \psi_{21} \cdot Q_{k1} + \psi_{22} \cdot Q_{k2} + \dots$ [2.5.6]

Gli effetti dell'azione sismica saranno valutati tenendo conto delle masse associate ai seguenti carichi gravitazionali:

$$G_1 + G_2 + \sum_i \psi_{2i} Q_{ki}$$
 [2.5.7]

Per i muri di sostegno o per altre strutture miste ad essi assimilabili devono essere effettuate le verifiche con riferimento almeno ai seguenti stati limite:

SLU di tipo geotecnico (GEO)

- Scorrimento sul piano di posa;
- Collasso per carico limite del complesso fondazione-terreno;
- Ribaltamento;
- Stabilità globale del complesso opera di sostegno-terreno;

SLU di tipo strutturale (STR)

• Raggiungimento della resistenza negli elementi strutturali.

La verifica di stabilità globale del complesso opera di sostegno-terreno deve essere effettuata secondo l'Approccio 1, con la Combinazione 2 (A2+M2+R2).

Le rimanenti verifiche devono essere effettuate secondo l'Approccio 2, con la combinazione (A1+M1+R3).



Per ciascuna verifica si deve tenere conto dei coefficienti parziali per le azioni, dei parametri geotecnici e dei coefficienti di amplificazione per le verifiche di sicurezza, tutti riportati nelle seguenti tabelle.

Nella verifica a ribaltamento i coefficienti R3 si applicano agli effetti delle azioni stabilizzanti.

Coefficie	EQU ⁽¹⁾	A1	A2		
Azioni permanenti	favorevoli sfavorevoli	YG1	0,90 1,10	1,00 1,35	1,00 1,00
Azioni permanenti non strutturali ⁽²⁾	favorevoli sfavorevoli	γG2	0,00 1,50	0,00 1,50	0,00 1,30
Ballast(3)	favorevoli sfavorevoli	ΥВ	0,90 1,50	1,00 1,50	1,00
Azioni variabili da traffi- co ⁽⁴⁾	favorevoli sfavorevoli	ΥQ	0,00 1,45	0,00 1,45	0,00
Azioni variabili	favorevoli sfavorevoli	ΥQi	0,00 1,50	0,00 1,50	0,00
Precompressione	favorevole sfavorevo- le	ΥP	0,90 1,00 ⁽⁵⁾	1,00 1,00 ⁽⁶⁾	1,00
Ritiro, viscosità e cedi- menti non imposti appo- sitamente	favorevole sfavorevo- le	γCe d	0,00 1,20	0,00 1,20	0,00 1,00

Tabella 9-1 - Coefficienti parziali di sicurezza per le combinazioni di carico agli SLU.

Parametro	Grandezza alla quale applicare il coefficiente parziale	Coefficiente parziale γ _M	(M1)	(M2)
Tangente dell'angolo di resi- stenza al taglio	$ an {f \phi}'_k$	Υφ΄	1,0	1,25
Coesione efficace	c′ _k	Υc	1,0	1,25
Resistenza non drenata	Cuk	γ _{cu}	1,0	1,4
Peso dell'unità di volume	γγ	γ_{γ}	1,0	1,0

Tabella 9-2 - Coefficienti parziali per i parametri geotecnici del terreno.

Verifica	Coefficiente parziale (R3)
Capacità portante della fondazione	$\gamma_R = 1.4$
Scorrimento	$\gamma_R = 1.1$
Ribaltamento	$\gamma_{R} = 1.15$
Resistenza del terreno a valle	$\gamma_R = 1.4$

Tabella 9-3 – Coefficienti parziali γ_R per le verifiche agli stati limite ultimi dei muri di sostegno.

COEFFICIENTE	R2
γ_{R}	1,1



Tabella 9-4 - Coefficienti parziali per le verifiche do sicurezza di opere di materiali sciolti e fronti di scavo.

Le combinazioni sismiche, in maniera del tutto analoga alle combinazioni statiche, sono effettuate con l'approccio 2, ponendo però pari all'unità i coefficienti parziali sulle azioni e sui parametri geotecnici e impiegando le resistenze di progetto con i coefficienti parziali γ_R indicati nella seguente tabella.

Verifica	Coefficiente parziale y		
Carico limite	1.2		
Scorrimento	1.0		
Ribaltamento	1.0		
Resistenza del terreno a valle	1.2		

Tabella 9-5 – Coefficienti parziali y_R per le verifiche agli stati limite (SLV) dei muri di sostegno.

Le verifiche pseudo-statiche di sicurezza dei fronti di scavo e dei rilevati in condizioni sismiche si eseguono adottando valori unitari dei coefficienti parziali del gruppo A e M per il calcolo delle azioni e dei parametri geotecnici di progetto e un coefficiente parziale γ_R pari a 1.2.

Al fine della determinazione dei valori caratteristici delle azioni dovute al traffico, si devono considerare, generalmente, le combinazioni riportate nella seguente tabella:

		Caricl	i sulla superfic	Carichi su marciapiedi e piste ciclabili non sormontabili		
Gruppo di p	Carichi verticali			Carichi orixzontali		Carichi verticali
	Modello principale (schemi di carico 1, 2, 3, 4 e 6)	principale (schemi di carico 1, 2, 3,		Frenatura	Forza centrifuga	Carico uniformemente distribuito
1	Valore carat- teristico					Schema di carico 5 con valore di combinazione 2,5KN/m²
2a	Valore fre- quente			Valore carat- teristico		
2b	Valore fre- quente				Valore caratteri- stico	
3 (*)			,			Schema di carico 5 con valore caratteristico 5,0KN/m²
4 (**)			Schema di carico 5 con valore carat- teristico 5,0KN/m ²			Schema di carico 5 con valore caratteristico 5,0KN/m²
5 (***)	Da definirsi per il singo- lo progetto	Valore carat- terístico o nominale				

Tabella 9-6 – Valori caratteristici delle azioni dovute al traffico.

Questa fornisce i valori dei coefficienti parziali delle azioni da assumere nell'analisi per la determinazione degli effetti delle azioni nelle verifiche agli stati limite ultimo.

I valori dei coefficienti di combinazione ψ_{0j} , ψ_{1j} , ψ_{2j} per le diverse categorie sono riportati nella tabella successiva:



NV52: MURO DI SOSTEGNO MU79D RELAZIONE DI CALCOLO
 COMMESSA
 LOTTO
 CODIFICA
 DOCUMENTO
 REV.
 FOGLIO

 RS3T
 30 D 78
 CL
 MU79D0 001
 B
 45 di 119

Azioni	Gruppo di azioni (Tab. 5.1.IV)	Coefficiente Wo di combi- nazione	Coefficiente \(\psi_1\) (valori frequenti)	Coefficiente W ₂ (valori quasi permanenti)
	Schema 1 (carichi tandem)	0,75	0,75	0,0
	Schemi 1, 5 e 6 (carichi distribuiti	0,40	0,40	0,0
Azioni da	Schemi 3 e 4 (carichi concentrati)	0,40	0,40	0,0
traffico (Tab. 5.1 IV)	Schema 2	0,0	0,75	0,0
	2	0,0	0,0	0,0
	3	0,0	0,0	0,0
	4 (folla)	-	0,75	0,0
	5	0,0	0,0	0,0
	a ponte scarico SLU e SLE	0,6	0,2	0,0
Vento	in esecuzione	0,8	0,0	0,0
	a ponte carico SLU e SLE	0,6	0,0	0,0
********	SLUeSLE	0,0	0,0	0,0
Neve	in esecuzione	0,8	0,6	0,5
Temperatura	SLU e SLE	0,6	0,6	0,5

Tabella 9-7 – Coefficienti ψ per le azioni variabili per ponti stradali e pedonali.

Per le azioni da urto sono eccezionali, pertanto, si segue la rispettiva combinazione di carico per la sua valutazione.

Si ottengono le seguenti combinazioni di carico per le verifiche:

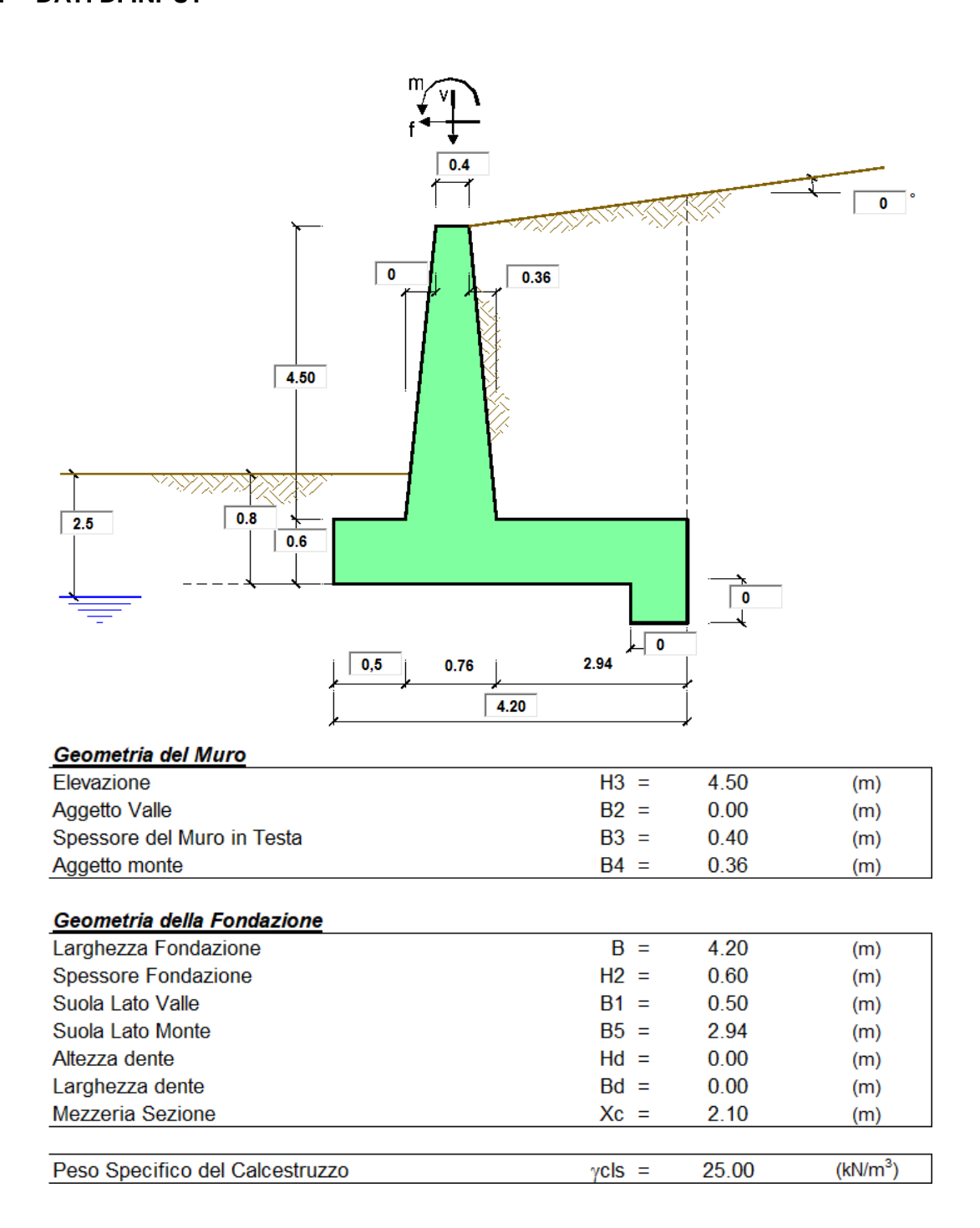
Caso	Peso proprio	Traffico	Pav. Stradale	Spinta	Qecc	tan φ'	c'	Cu
A1+M1+R3	1.35	1.35	1.35	1.35	0	1	1	1
A2+M2+R2	1	1.15	1	1	0	1.25	1.25	1.4
SISMA+M1+R3 (+)	1	0.2	1	1	0	1	1	1
SISMA+M1+R3 (-)	1	0.2	1	1	0	1	1	1
SISMA+M2+R2 (+)	1	0.2	1	1	0	1.25	1.25	1.4
SISMA+M2+R2 (-)	1	0.2	1	1	0	1.25	1.25	1.4
SLE, rara	1	1	1	1	0	1	1	1
SLE, frequente	1	1	1	1	0	1	1	1
SLE, quasi permanente	1	0	1	1	0	1	1	1
ECC, urto	1	0	1	1	1	1	1	1

Tabella 9-8- Combinazioni di carico.

GRUPPO FERROVIE DELLO STATO ITALIANE	NUOVO COI TRATTA VA	LLEGAME LLELUNG	NTO PALERI	NA – CATANIA – MO – CATANIA ISETTA XIRBI (LO – LOTTO 3B		0
NV52: MURO DI SOSTEGNO MU79D RELAZIONE DI CALCOLO	COMMESSA RS3T	LOTTO 30 D 78	CODIFICA	DOCUMENTO MU79D0 001	REV.	FOGLIO 46 di 119

10. PROGETTO E VERIFICA DEL MURO DI SOSTEGNO "TIPO 1"

10.1 DATI DI INPUT





Dati geotecnici e carichi agenti - Condizione statica e sismica

					valori cara	tteristici	valori di progetto		
Dati (<u>Geotecnici</u>					SLI	E	STR/GEO	EQU
eno	Angolo di attrito del terrapieno		(°)		φ'	35.0	00	35.00	35.00
Dati errapieno	Peso Unità di Volume del terrapieno		(kN/m³)		7	19.0	00	19.00	19.00
	Angolo di attrito terreno-superficie ideale		(°)		δ	0.0	0	0.00	0.00
Dati Terreno Fondazione	Condizioni			(drenate	e O Non [Orenate		
ıdaz	Coesione Terreno di Fondazione		(kPa)		c1'	15.0	00	15.00	15.00
For	Angolo di attrito del Terreno di Fondazione		(°)		φ1'	25.0	00	25.00	25.00
2	Peso Unità di Volume del Terreno di Fondazione		(kN/m³)		γ1	19.0	00	19.00	19.00
erre	Peso Unità di Volume del Rinterro della Fondazione		(kN/m³)		γd	19.0	00	19.00	19.00
⊢	Profondità "Significativa" (n.b.: consigliata H = 2*B)		(m)		Hs	8.0	0		
	Modulo di deformazione		(kN/m²)		Е	100	00		
	Accelerazione sismica				a _g /g	0.096	(-)		
	Coefficiente Amplificazione Stratigrafico				S_S	1.5	(-)		
Dati Sismici	Coefficiente Amplificazione Topografico				S_T	1	(-)	RIBALTA	MENTO
<u></u>	Coefficiente di riduzione dell'accelerazione massima				β_s	0.38	(-)	βs	0.57
at:	Coefficiente sismico orizzontale				kh	0.05472	(-)	kh	0.08208
Ö	Coefficiente sismico verticale			_	kv	0.0274	(-)	kv	0.04104
	Muro libero di traslare o ruotare				•	si 🔘	no		
						STR/0	GEO	- RI	В
	Coeff. di Spinta Attiva Statico	ka	0.271			0.271		0.271	
.	Coeff. Di Spinta Attiva Sismica sisma +	kas+	0.300			0.300		0.315	
fficient Spinta	Coeff. Di Spinta Attiva Sismica sisma -	kas-	0.302			0.302		0.319	
Coefficienti di Spinta	Coeff. Di Spinta Passiva	kp	2.464			2.464		2.464	
Ö	Coeff. Di Spinta Passiva Sismica sisma +	kps+	2.379			2.379		2.336	
	Coeff. Di Spinta Passiva Sismica sisma -	kps-	2.374			2.374		2.325	

			Γ	valori caratteristici	valori di p	rogetto
Carichi	<u>Agenti</u>			SLE - sisma	STR/GEO	EQU
	Sovraccarico permanente	(kN/m ²)	qp	0.00	0.00	0.00
e II	Sovraccarico su zattera di monte si no					
Carichi ermanen	Forza Orizzontale in Testa permanente	(kN/m)	fp	0.00	0.00	0.00
Carichi permanenti	Forza Verticale in Testa permanente	(kN/m)	vp	3.50	3.50	3.50
	Momento in Testa permanente	(kNm/m)	mp	0.00	0.00	0.00
	Sovraccarico Accidentale in condizioni statiche	(kN/m ²)	q	20.00	29.00	29.00
Condizioni Statiche	Forza Orizzontale in Testa accidentale in condizioni statich	(kN/m)	f	0.00	0.00	0.00
ondizior Statiche	Forza Verticale in Testa accidentale in condizioni statiche	(kN/m)	V	0.00	0.00	0.00
ਨੂੰ ਨ	Momento in Testa accidentale in condizioni statiche	(kNm/m)	m	0.00	0.00	0.00
	Coefficienti di combinazione condizione frequer	nte Ψ1	1.00	condizione quasi permane	nte Ψ2	0.00
.E @	Sovraccarico Accidentale in condizioni sismiche	(kN/m ²)	qs	4.00		
lizio Pich	Forza Orizzontale in Testa accidentale in condizioni sismicl	(kN/m)	fs	0.00		
Condizioni Sismiche	Forza Verticale in Testa accidentale in condizioni sismiche	(kN/m)	VS	0.00		
0 0	Momento in Testa accidentale in condizioni sismiche	(kNm/m)	ms	0.00		



<u>Dati geotecnici e carichi agenti – Condizione eccezionale con urto</u>

					val	ori caratte	eristici	valori di	valori di progetto	
Dati (<u>Geotecnici</u>					SLE		STR/GEO	EQU	
- eno	Angolo di attrito del terrapieno		(°)		p'	35.00		35.00	35.00	
Dati Terrapieno	Peso Unità di Volume del terrapieno		(kN/m³)		y'	19.00		19.00	19.00	
Ē	Angolo di attrito terreno-superficie ideale		(°)		δ	0.00		0.00	0.00	
Dati Terreno Fondazione	Condizioni			drer	ate	O Non Dre	nate			
daz	Coesione Terreno di Fondazione		(kPa)	C	1'	15.00		15.00	15.00	
E E	Angolo di attrito del Terreno di Fondazione		(°)	φ	1'	25.00		25.00	25.00	
2	Peso Unità di Volume del Terreno di Fondazione		(kN/m³)	γ	1	19.00		19.00	19.00	
erre	Peso Unità di Volume del Rinterro della Fondazione		(kN/m³)	γ	d	19.00		19.00	19.00	
=	Profondità "Significativa" (n.b.: consigliata H = 2*B)		(m)	Н	s	8.00				
Ωa	Modulo di deformazione		(kN/m²)	l	Ε	10000				
	Accelerazione sismica			a _g /	g 0.0	106	(-)	1		
	Coefficiente Amplificazione Stratigrafico			ag/ S			(-)			
<u>:</u> 5	Coefficiente Amplificazione Topografico				•	.5	(-)	RIBALTA	MENTO	
Dati Sismici	Coefficiente di riduzione dell'accelerazione massima					38	(-)	βs	0.57	
÷.	Coefficiente sismico orizzontale				h 0.05		(-)	kh	0.08208	
۵	Coefficiente sismico verticale				v 0.0		(-)	kv	0.04104	
	Muro libero di traslare o ruotare				⊚ si	○ no				
						STR/GE		⊒ Ri	D	
	Cooff di Cainta Attiva Station	ka	0.271		0.2		.0	0.271	D	
ਚ	Coeff. di Spinta Attiva Statico Coeff. Di Spinta Attiva Sismica sisma +	kas+	0.300		0.2			0.271		
enti	Coeff. Di Spinta Attiva Sismica sisma -	kas-	0.300		0.3			0.319		
Coefficienti di Spinta	Coeff. Di Spinta Attiva Sismica sisma -		2.464		2.4			2.464		
o e	Coeff. Di Spinta Passiva Coeff. Di Spinta Passiva Sismica sisma +	kps+	2.464		2.4			2.404		
0	·		2.379							
	Coeff. Di Spinta Passiva Sismica sisma -	kps-	2.314		2.3	14		2.325		

			Γ	valori caratteristici	valori di p	rogetto
Carichi	<u>Agenti</u>			SLE - sisma	STR/GEO	EQU
	Sovraccarico permanente	(kN/m ²)	qp	0.00	0.00	0.00
e II	Sovraccarico su zattera di monte					
Carichi ermanen	Forza Orizzontale in Testa permanente	(kN/m)	fp	0.00	0.00	0.00
Carichi permanenti	Forza Verticale in Testa permanente	(kN/m)	vp	3.50	3.50	3.50
	Momento in Testa permanente	(kNm/m)	mp	0.00	0.00	0.00
	Sovraccarico Accidentale in condizioni statiche	(kN/m ²)	q	0.00	0.00	0.00
Condizioni Statiche	Forza Orizzontale in Testa accidentale in condizioni statich	(kN/m)	f	10.00	14.50	14.50
ondizior Statiche	Forza Verticale in Testa accidentale in condizioni statiche	(kN/m)	V	0.00	0.00	0.00
ਨੂੰ ਲੱ	Momento in Testa accidentale in condizioni statiche	(kNm/m)	m	10.00	14.50	14.50
	Coefficienti di combinazione condizione frequer	nte Ψ1	1.00	condizione quasi permane	nte Ψ2	0.00
.⊑ o	Sovraccarico Accidentale in condizioni sismiche	(kN/m ²)	qs	0.00		
Condizioni Sismiche	Forza Orizzontale in Testa accidentale in condizioni sismicl	(kN/m)	fs	0.00		
ond	Forza Verticale in Testa accidentale in condizioni sismiche	(kN/m)	VS	0.00		
0 0	Momento in Testa accidentale in condizioni sismiche	(kNm/m)	ms	0.00		



NV52: MURO DI SOSTEGNO MU79D RELAZIONE DI CALCOLO
 COMMESSA
 LOTTO
 CODIFICA
 DOCUMENTO
 REV.
 FOGLIO

 RS3T
 30 D 78
 CL
 MU79D0 001
 B
 49 di 119

CARATTERISTICHE DEI MATERIALI STRUTTURALI

Calcestruzzo		
classe cls C32/40 ▼		
Rck	40	(MPa)
fck	32	(MPa)
fcm Ec	40 33346	(MPa) (MPa)
o _c	0.85	
γc	1.50	
$f_{od} = \alpha_{oc} * f_{ok} / \gamma c$	18.13	(MPa)
$f_{\text{ctm}} = 0.30 * f_{\text{ck}}^{2/3}$	3.02	(MPa)
OdiiOk		(···· -)

Tensioni limite (tensioni ammissibili)

condizioni statiche

condizioni sismiche

σ_c 19.2 Mpa σ_f 360 Mpa

Valore limite di apertura delle fessure

 Frequente
 w1
 ▼
 0.2
 mm

 Quasi Permanente
 w1
 ▼
 0.2
 mm

<u>Acciaio</u>

tipo di	acciaio	В	450C 🔻	
fyk =			450	(MPa)
γs	=		1.15	
fyd = f	yk /γs / _γ	Æ =	391.30	(MPa)
Es	=	210000	(MPa)	
ε _{ys}	=	0.19%		

coefficiente omogeneizzazione acciaio n = 15

Copriferro (distanza asse armatura-bordo)

c = 7.50 (cm)

<u>Copriferro minimo di normativa</u> (ricoprimento armatura)

 $c_{min} = 4.50$ (cm)

Interferro tra I e II strato

i_{I-II} 5.00 (cm)

10.2 CALCOLO DELLE AZIONI

10.2.1 FORZE VERTICALI E INERZIALI

FORZE VERTICALI

I OILE VEIL	TORE	_			
- Peso del Mur	ro (Pm)		SLE	STR/GEO	EQU/RIB
Pm1 =	(B2*H3*γcls)/2	(kN/m)	0.00	0.00	0.00
Pm2 =	(B3*H3*γcls)	(kN/m)	45.00	45.00	45.00
Pm3 =	(B4*H3*γcls)/2	(kN/m)	20.25	20.25	20.25
Pm4 =	(B*H2*γcls)	(kN/m)	63.00	63.00	63.00
Pm5 =	(Bd*Hd*γcls)	(kN/m)	0.00	0.00	0.00
Pm =	Pm1 + Pm2 + Pm3 + Pm4 + Pm5	(kN/m)	128.25	128.25	128.25
- Peso del terr	eno e sovr. perm. sulla scarpa di monte del muro (Pt)				
Pt1 =	(B5*H3*γ')	(kN/m)	251.37	251.37	251.37
Pt2 =	(0,5*(B4+B5)*H4*γ')	(kN/m)	0.00	0.00	0.00
Pt3 =	(B4*H3*γ')/2	(kN/m)	15.39	15.39	15.39
Sovr =	qp * (B4+B5)	(kN/m)	0.00	0.00	0.00
Pt =	Pt1 + Pt2 + Pt3 + Sovr	(kN/m)	266.76	266.76	266.76
- Sovraccarico	accidentale sulla scarpa di monte del muro				
Sovr acc. Stat	·	(kN/m)	66	95.7	
Sovr acc. Sisn	n qs * (B4+B5)	(kN/m)	13.2		

MOMENTI DELLE FORZE VERT. RISPETTO AL PIEDE DI VALLE DEL MURO

- Muro (Mm)			SLE	STR/GEO	EQU/RIB
Mm1 = ` ′	Pm1*(B1+2/3 B2)	(kNm/m)	0.00	0.00	0.00
Mm2 =	Pm2*(B1+B2+0,5*B3)	(kNm/m)	31.50	31.50	31.50
Mm3 =	Pm3*(B1+B2+B3+1/3 B4)	(kNm/m)	20.66	20.66	20.66
Mm4 =	Pm4*(B/2)	(kNm/m)	132.30	132.30	132.30
Mm5 =	Pm5*(B - Bd/2)	(kNm/m)	0.00	0.00	0.00
Mm =	Mm1 + Mm2 + Mm3 + Mm4 + Mm5	(kNm/m)	184.46	184.46	184.46
- Terrapieno e	sovr. perm. sulla scarpa di monte del muro				
Mt1 =	Pt1*(B1+B2+B3+B4+0,5*B5)	(kNm/m)	686.24	686.24	686.24
Mt2 =	Pt2*(B1+B2+B3+2/3*(B4+B5))	(kNm/m)	0.00	0.00	0.00
Mt3 =	Pt3*(B1+B2+B3+2/3*B4)	(kNm/m)	17.54	17.54	17.54
Msovr =	Sovr*(B1+B2+B3+1/2*(B4+B5))	(kNm/m)	0.00	0.00	0.00
Mt =	Mt1 + Mt2 + Mt3 + Msovr	(kNm/m)	703.78	703.78	703.78
- Sovraccarico	accidentale sulla scarpa di monte del muro				
Sovr acc. Stat	*(B1+B2+B3+1/2*(B4+B5))	(kNm/m)	168.3	244.035	
Sovr acc. Sism	*(B1+B2+B3+1/2*(B4+B5))	(kNm/m)	33.66		



NV52: MURO DI SOSTEGNO MU79D RELAZIONE DI CALCOLO
 COMMESSA
 LOTTO
 CODIFICA
 DOCUMENTO
 REV.
 FOGLIO

 RS3T
 30 D 78
 CL
 MU79D0 001
 B
 51 di 119

	MURO E DEL TERRAPIENO ontale e verticale del muro (Ps)			
Ps h =	Pm*kh	(kN/m)	7.02	10.53
Ps v =	Pm*kv	(kN/m)	3.51	5.26
PS V -	PIII KV	(KIV/III)	3.31	3.20
- Inerzia orizzo	ontale e verticale del terrapieno a tergo del muro (Pts))		
Ptsh =	Pt*kh	(kN/m)	14.60	21.90
Ptsv =	Pt*kv	(kN/m)	7.30	10.95
- Incremento o	rizzontale di momento dovuto all'inerzia del muro (MP	e h)		
MPs1 h=	kh*Pm1*(H2+H3/3)	(kNm/m)	0.00	0.00
MPs2 h=	kh*Pm2*(H2 + H3/2)	(kNm/m)	7.02	10.53
MPs3 h=	kh*Pm3*(H2+H3/3)	(kNm/m)	2.33	3.49
MPs4 h=	kh*Pm4*(H2/2)	(kNm/m)	1.03	1.55
MPs5 h=	-kh*Pm5*(Hd/2)	(kNm/m)	0.00	0.00
MPs h=	MPs1+MPs2+MPs3+MPs4+MPs5	(kNm/m)	10.38	15.57
IVII-5 II-	MEST - MESS - MESS - MESS	(KINIII/III)	10.30	13.31
MPs1 v= MPs2 v=	erticale di momento dovuto all'inerzia del muro (MPs v kv*Pm1*(B1+2/3*B2) kv*Pm2*(B1+B2+B3/2)	(kNm/m) (kNm/m)	0.00 0.86	0.00
MPs3 v=	kv*Pm3*(B1+B2+B3+B4/3)	(kNm/m)	0.57	0.85
MPs4 v=	kv*Pm4*(B/2)	(kNm/m)	3.62	5.43
MPs5 v=	kv*Pm5*(B-Bd/2)	(kNm/m)	0.00	0.00
MPs v=	MPs1+MPs2+MPs3+MPs4+MPs5	(kNm/m)	5.05	7.57
- Incremento o	rizzontale di momento dovuto all'inerzia del terrapieno	(MPte h)		
MPts1 h=	kh*Pt1*(H2 + H3/2)	(kNm/m)	39.20	58.80
MPts2 h=	kh*Pt2*(H2 + H3 + H4/3)	(kNm/m)	0.00	0.00
MPts3 h=	kh*Pt3*(H2+H3*2/3)	(kNm/m)	3.03	4.55
MPts h=	MPts1 + MPts2 + MPts3	(kNm/m)	42.23	63.35
WI to II	WI ST WI SZ WI SS	(Kitilliiii)	12.20	00.00
	erticale di momento dovuto all'inerzia del terrapieno (I	MPts v)		
MPts1 v=	kv*Pt1*((H2 + H3/2) - (B - B5/2)*0.5)	(kNm/m)	18.78	28.16
MPts2 v=	kv*Pt2*((H2 + H3 + H4/3) - (B - B5/3)*0.5)	(kNm/m)	0.00	0.00
MPts3 v=	kv*Pt3*((H2+H3*2/3)-(B1+B2+B3+2/3*B4)*0.5)	(kNm/m)	0.61	0.91
MPts v=	MPts1 + MPts2 + MPts3	(kNm/m)	19.38	29.07



NV52: MURO DI SOSTEGNO MU79D RELAZIONE DI CALCOLO
 COMMESSA
 LOTTO
 CODIFICA
 DOCUMENTO
 REV.
 FOGLIO

 RS3T
 30 D 78
 CL
 MU79D0 001
 B
 52 di 119

10.2.2 SPINTE IN CONDIZIONE STATICA

	TERRENO E DEL SOVRACCARICO condizione statica		SLE	STR/GEO	EQU/RIB
St =	0,5*γ'*(H2+H3+H4+Hd) ² *ka	(kN/m)	66.96	87.05	87.05
Sq perm =	q*(H2+H3+H4+Hd)*ka	(kN/m)	0.00	0.00	0.00
Sq acc =	q*(H2+H3+H4+Hd)*ka	(kN/m)	27.64	40.08	40.08
- Componente	orizzontale condizione statica				
Sth =	St*cosδ	(kN/m)	66.96	87.05	87.05
Sqh perm =	Sq perm*cosδ	(kN/m)	0.00	0.00	0.00
Sqh acc =	Sq acc*cosδ	(kN/m)	27.64	40.08	40.08
- Componente	verticale condizione statica				
Stv =	St*senδ	(kN/m)	0.00	0.00	0.00
Sqv perm=	Sq perm*senδ	(kN/m)	0.00	0.00	0.00
Sqv acc =	Sq acc*senδ	(kN/m)	0.00	0.00	0.00
- Spinta passiv	a sul dente				
Sp=½*g1'*Hd2	* ½*γ ₁ '*Hd ² *kp+(2*c ₁ '*kp ^{0.5} +γ1'*kp*H2')*Hd	(kN/m)	0.00	0.00	0.00

MOMENTI DE	LLA SPINTA DEL TERRENO E DEL SOVRAC	CCARICO	SLE	STR/GEO	EQU/RIB
MSt1 =	Sth*((H2+H3+H4+Hd)/3-Hd)	(kNm/m)	113.83	147.98	147.98
MSt2 =	Stv*B	(kNm/m)	0.00	0.00	0.00
MSq1 perm=	Sqh perm*((H2+H3+H4+Hd)/2-Hd)	(kNm/m)	0.00	0.00	0.00
MSq1 acc =	Sqh acc*((H2+H3+H4+Hd)/2-Hd)	(kNm/m)	70.48	102.20	102.20
MSq2 perm=	Sqv perm*B	(kNm/m)	0.00	0.00	0.00
MSq2 acc =	Sqv acc*B	(kNm/m)	0.00	0.00	0.00
MSp = γ1'*I	Hd ³ *kp/3+(2*c1'*kp ^{0.5} +γ1'*kp*H2')*Hd ² /2	(kNm/m)	0.00	0.00	0.00
MOMENTI DO	OVUTI ALLE FORZE ESTERNE				
Mfext1 =	mp + m	(kNm/m)	0.00	0.00	0.00
Mfext2 =	(fp + f)*(H3 + H2)	(kNm/m)	0.00	0.00	0.00
Mfext3 =	$(vp+v)^*(B1 +B2 + B3/2)$	(kNm/m)	2.45	2.45	2.45



10.2.3 SPINTE IN CONDIZIONE SISMICA +

	TERRENO E DEL SOVRACCARICO		SLE	STR/GEO	EQU/RIB
- Spinta condizi		(IsNI/ma)	66.06	66.06	66.06
Sst1 stat =	0,5*γ'*(H2+H3+H4+Hd)²*ka	(kN/m)	66.96	66.96	66.96
Sst1 sism =	0,5*γ'*(1+kv)*(H2+H3+H4+Hd)²*kas ⁺ -Sst1 stat	(kN/m)	9.20	9.20	14.05
Ssq1 perm=	qp*(H2+H3+H4+Hd)*kas ⁺	(kN/m)	0.00	0.00	0.00
Ssq1 acc =	qs*(H2+H3+H4+Hd)*kas ⁺	(kN/m)	6.12	6.12	6.42
- Componente d	prizzontale condizione sismica +				
Sst1h stat =	Sst1 stat*cosδ	(kN/m)	66.96	66.96	66.96
Sst1h sism =	Sst1 sism*cosδ	(kN/m)	9.20	9.20	14.05
Ssq1h perm=	Ssq1 perm*cosδ	(kN/m)	0.00	0.00	0.00
Ssq1h acc=	Ssq1 acc*cosδ	(kN/m)	6.12	6.12	6.42
- Componente v	verticale condizione sismica +				
Sst1v stat =	Sst1 stat*senδ	(kN/m)	0.00	0.00	0.00
Sst1v sism =	Sst1 sism*senδ	(kN/m)	0.00	0.00	0.00
Ssq1v perm=	Ssq1 perm*senδ	(kN/m)	0.00	0.00	0.00
Ssq1v acc=	Ssq1 acc*senδ	(kN/m)	0.00	0.00	0.00
- Spinta passiva	a sul dente				
$Sp=\frac{1}{2}*\gamma_1'(1+kv) Hd^2*kps^++(2*c_1'*kps^{+0.5}+\gamma_1''(1+kv) kps^+*H2')*Hd$		(kN/m)	0.00	0.00	0.00
	LLA SPINTA DEL TERRENO E DEL SOVRACCARICO		SLE	STR/GEO	EQU/RIB
 Condizione si: 	smica +				

MOMENTI DELLA SPINTA DEL TERRENO E DEL SOVRACCARICO - Condizione sismica +			SLE	STR/GEO	EQU/RIB
MSst1 stat = MSst1 sism= MSst2 stat = MSst2 sism = MSsq1 = MSsq2 = MSp =	Sst1h stat * ((H2+H3+H4+hd)/3-hd) Sst1h sism* ((H2+H3+H4+Hd)/3-Hd) Sst1v stat* B Sst1v sism* B Ssq1h * ((H2+H3+H4+Hd)/2-Hd) Ssq1v * B \$\gamma_1'*\text{Hd}^3*\kps^*/3+(2*c1'*\kps^{+0.5}+\gamma1'*\kps^{+*}\text{H2}')*\text{Hd}^2/2	(kNm/m) (kNm/m) (kNm/m) (kNm/m) (kNm/m) (kNm/m) (kNm/m)	113.83 15.64 0.00 0.00 15.61 0.00 0.00	113.83 15.64 0.00 0.00 15.61 0.00 0.00	113.83 23.88 0.00 0.00 16.38 0.00 0.00
MOMENTI DO Mfext1 = Mfext2 = Mfext3 =	mp+ms (fp+fs)*(H3 + H2) (vp+vs)*(B1 +B2 + B3/2)	(kNm/m) (kNm/m) (kNm/m)		0.00 0.00 2.45	



10.2.4 SPINTE IN CONDIZIONE SISMICA -

	TERRENO E DEL SOVRACCARICO	SLE	STR/GEO	EQU/RIB	
- Spinta condiz					
Sst1 stat =	0,5*γ'*(H2+H3+H4+Hd)²*ka	(kN/m)	66.96	66.96	66.96
Sst1 sism =	0,5*γ'*(1-kv)*(H2+H3+H4+Hd)²*kas⁻-Sst1 stat	(kN/m)	5.55	5.55	8.62
Ssq1 perm=	qp*(H2+H3+H4+Hd)*kas ⁻	(kN/m)	0.00	0.00	0.00
Ssq1 acc =	qs*(H2+H3+H4+Hd)*kas ⁻	(kN/m)	6.15	6.15	6.51
- Componente	orizzontale condizione sismica -				
Sst1h stat =	Sst1 stat*cosδ	(kN/m)	66.96	66.96	66.96
Sst1h sism =	Sst1 sism*cosδ	(kN/m)	5.55	5.55	8.62
Ssq1h perm=	Ssq1 perm*cosδ	(kN/m)	0.00	0.00	0.00
Ssq1h acc=	Ssq1 acc*cosδ	(kN/m)	6.15	6.15	6.51
- Componente	verticale condizione sismica -				
Sst1v stat =	Sst1 stat*senδ	(kN/m)	0.00	0.00	0.00
Sst1v sism =	Sst1 sism*senδ	(kN/m)	0.00	0.00	0.00
Ssq1v perm=	Ssq1 perm*senδ	(kN/m)	0.00	0.00	0.00
Ssq1v acc=	Ssq1 acc*senδ	(kN/m)	0.00	0.00	0.00
- Spinta passiva	a sul dente				
Sp= $\frac{1}{2}$ * γ_1 '(1-kv) Hd ² *kps ⁻ +(2*c ₁ '*kps ^{-0.5} + γ 1' (1-kv) kps ⁻ *H2')*Hd		(kN/m)	0.00	0.00	0.00
MOMENTI DEI	LLA SPINTA DEL TERRENO E DEL SOVRACCARICO		SLE	STR/GEO	EQU/RIB
- Condizione sismica -			SLE	3 IK/GEU	EQU/RIB

MOMENTI DELLA SPINTA DEL TERRENO E DEL SOVRACCARICO - Condizione sismica -			SLE	STR/GEO	EQU/RIB
MSst1 stat = MSst1 sism= MSst2 stat = MSst2 sism = MSsq1 = MSsq2 = MSp =	Sst1h stat * ((H2+H3+H4+hd)/3-hd) Sst1h sism* ((H2+H3+H4+Hd)/3-Hd) Sst1v stat* B Sst1v sism* B Ssq1h * ((H2+H3+H4+Hd)/2-Hd) Ssq1v * B \gamma_1'*Hd^3*kps^*/3+(2*c1'*kps^{+0.5}+\gamma1'*kps^**H2')*Hd^2/2	(kNm/m) (kNm/m) (kNm/m) (kNm/m) (kNm/m) (kNm/m) (kNm/m)	113.83 9.44 0.00 0.00 15.70 0.00	113.83 9.44 0.00 0.00 15.70 0.00 0.00	113.83 14.65 0.00 0.00 16.59 0.00
MOMENTI DO Mfext1 = Mfext2 = Mfext3 =	mp+ms (fp+fs)*(H3 + H2) (vp+vs)*(B1 +B2 + B3/2)		0.00 0.00 2.45		



10.2.5 SPINTE IN PRESENZA DI URTO

	TERRENO E DEL SOVRACCARICO condizione statica		SLE	STR/GEO	EQU/RIB
St =	0,5*γ'*(H2+H3+H4+Hd) ² *ka	(kN/m)	66.96	87.05	87.05
Sq perm =	q*(H2+H3+H4+Hd)*ka	(kN/m)	0.00	0.00	0.00
Sq acc =	q*(H2+H3+H4+Hd)*ka	(kN/m)	0.00	0.00	0.00
- Componente	orizzontale condizione statica				
Sth =	St*cosδ	(kN/m)	66.96	87.05	87.05
Sqh perm =	Sq perm*cosδ	(kN/m)	0.00	0.00	0.00
Sqh acc =	Sq acc*cosδ	(kN/m)	0.00	0.00	0.00
- Componente	verticale condizione statica				
Stv =	St*senδ	(kN/m)	0.00	0.00	0.00
Sqv perm=	Sq perm*senδ	(kN/m)	0.00	0.00	0.00
Sqv acc =	Sq acc*senδ	(kN/m)	0.00	0.00	0.00
- Spinta passiv	a sul dente				
Sp=1/2*g1'*Hd2	^{2*} ½*γ ₁ '*Hd ² *kp+(2*c ₁ '*kp ^{0.5} +γ1'*kp*H2')*Hd	(kN/m)	0.00	0.00	0.00

MOMENTI DE	LLA SPINTA DEL TERRENO E DEL SOVRAC	CCARICO	SLE	STR/GEO	EQU/RIB
MSt1 =	Sth*((H2+H3+H4+Hd)/3-Hd)	(kNm/m)	113.83	147.98	147.98
MSt2 =	Stv*B	(kNm/m)	0.00	0.00	0.00
MSq1 perm=	Sqh perm*((H2+H3+H4+Hd)/2-Hd)	(kNm/m)	0.00	0.00	0.00
MSq1 acc =	Sqh acc*((H2+H3+H4+Hd)/2-Hd)	(kNm/m)	0.00	0.00	0.00
MSq2 perm=	Sqv perm*B	(kNm/m)	0.00	0.00	0.00
MSq2 acc =	Sqv acc*B	(kNm/m)	0.00	0.00	0.00
$MSp = \gamma 1'*I$	Hd ³ *kp/3+(2*c1'*kp ^{0.5} +γ1'*kp*H2')*Hd ² /2	(kNm/m)	0.00	0.00	0.00
моменті до	OVUTI ALLE FORZE ESTERNE				
Mfext1 =	mp + m	(kNm/m)	10.00	14.50	14.50
Mfext2 =	(fp + f)*(H3 + H2)	(kNm/m)	51.00	73.95	73.95
Mfext3 =	(vp+v)*(B1 +B2 + B3/2)	(kNm/m)	2.45	2.45	2.45



10.3 VERIFICHE GEOTECNICHE

10.3.1 VERIFICA STATICA A RIBALTAMENTO, SCORRIMENTO E CARICO LIMITE VERTICALE - C. DRENATE

VERIFICA ALLO SCORRIMENTO (STR/GEO)

VEIXII ICA	ALLO SCORRINE	<u></u>			
Risultante fo	rze verticali (N) Pm + Pt + v + S	tv + Sqv perm + Sqv acc	398.51	(kN/m)	
Risultante fo	rze orizzontali (T) Sth + Sqh + f		127.13	(kN/m)	
Coefficiente f =	di attrito alla base (f tgφ1'		0.47	(-)	
Fs sco	r. (N*f + Sp) / T	1.46	>	1.1
VERIFICA	AL RIBALTAMEN	<u>то</u>			
Momento st Ms =	abilizzante (Ms) Mm + Mt + Mfe:	d3	890.69	(kNm/m)	
Momento ril Mr =	altante (Mr) MSt + MSq + Mt	ext1+ Mfext2 + MSp	250.18	(kNm/m)	
Fs ribal	amento M	/Is / Mr	3.56	>	1.15
VERIFICA	CARICO LIMITE	DELLA FONDAZIONE (STR/GEO)			
Risultante fo	rze verticali (N) Pm + Pt + v + S	tv + Sqv (+ Sovr acc)	Nmin 398.51	Nmax 494.21	(kN/m)

Risultante forze verticali (N)	Nmin	Nmax`	
N = Pm + Pt + v + Stv + Sqv (+ Sovr acc)	398.51	494.21	(kN/m)
Risultante forze orizzontali (T)			
T = Sth + Sqh + f - Sp	127.13	127.13	(kN/m)
Risultante dei momenti rispetto al piede di valle (MM)			
$MM = \sum M$	640.50	884.54	(kNm/m)
Momento rispetto al baricentro della fondazione (M)			
M = Xc*N - MM	196.37	153.30	(kNm/m)



NV52: MURO DI SOSTEGNO MU79D RELAZIONE DI CALCOLO
 COMMESSA
 LOTTO
 CODIFICA
 DOCUMENTO
 REV.
 FOGLIO

 RS3T
 30 D 78
 CL
 MU79D0 001
 B
 57 di 119

Formula Generale per il Calcolo del Carico Limite Unitrario (Brinch-Hansen, 1970)

Fondazione Nastriforme

qlim = c'Nc*ic + q_0 *Nq*iq + 0.5* γ 1*B*N γ *i γ

c1' ϕ 1' γ 1 $q_0 = \gamma d^*H2'$	coesione terreno di fondaz. angolo di attrito terreno di fondaz. peso unità di volume terreno fondaz. sovraccarico stabilizzante		15.00 25.00 19.00 15.20		(kPa) (°) (kN/m³) (kN/m²)
e = M / N B*= B - 2e	eccentricità larghezza equivalente		0.49 3.21	0.31 3.58	(m) (m)
I valori di Nc, N	q e Ng sono stati valutati con le espressioni suggerite	da Vesic (1975)		
$Nq = tg^2(45 + \phi'/2)^* e^{(\pi^* tg(\phi'))} \qquad (1 \text{ in cond. nd}) \qquad \qquad 10.66 \qquad (2 + \pi \text{ in cond. nd}) \qquad \qquad 20.72 \qquad (3 + \pi \text{ in cond. nd}) \qquad \qquad 10.88 \qquad (4 + \pi \text{ in cond. nd}) \qquad $					
iq = (1 - T/(N + ic = iq - (1 - iq)) $i\gamma = (1 - T/(N + iq))$ (fondazione na:	/(Nq - 1)		0.56 0.51 0.42	0.63 0.51 0.43	(-) (-) (-)
qlim	(carico limite unitario)		387 72	402.09	(kN/m ²)
FS carico lir		Nmin Nmax	3.13 2.91	> >	1.4

10.3.2 VERIFICA SISMICA A RIBALTAMENTO, SCORRIMENTO E CARICO LIMITE VERTICALE - C. DRENATE

Condizione sismica +

VERIFICA ALLO SCORRIMENTO

Fs	=	(N*f + Sp) / T	1.84	>	1
Coeff f	iciente di =	attrito alla base (f) tgφ1'	0.47	(-)	
	ante forze =	e orizzontali (T) Sst1h + Ssq1h + fp + fs +Ps h + Ptsh	103.89	(kN/m)	
Risulta N	ante forze	e verticali (N) Pm+ Pt + vp + vs + Sst1v + Ssq1v + Ps v + Ptsv	409.32	(kN/m)	

VERIFICA AL RIBALTAMENTO

Fr	=	Ms / Mr	4.54	>	1
Mr	=	MSst+MSsq+Mfext1+Mfext2+MSp+MPs+Mpts	196.37	(kNm/m)	
Mom	ento ribalt	ante (Mr)			
Ms		Mm + Mt + Mfext3	890.69	(kNm/m)	
Mom	ento stabi	lizzante (Ms)			

VERIFICA A CARICO LIMITE DELLA FONDAZIONE

Risultante for	rze verticali (N)	Nmin	Nmax [*]	
N =	Pm+ Pt + vp + vs + Sst1v + Ssq1v + Ps v + Ptsv + (Sovr acc)	409.32	422.52	(kN/m)
Risultante for	rze orizzontali (T)			
T =	Sst1h + Ssq1h + fp + fs +Ps h + Ptsh - Sp	103.89		(kN/m)
Risultante de	ei momenti rispetto al piede di valle (MM)			
MM =	Σ M	717.43	751.09	(kNm/m)
Momento ris	petto al baricentro della fondazione (M)			
M =	Xc*N - MM	142.13	136.19	(kNm/m)



NV52: MURO DI SOSTEGNO MU79D RELAZIONE DI CALCOLO
 COMMESSA
 LOTTO
 CODIFICA
 DOCUMENTO
 REV.
 FOGLIO

 RS3T
 30 D 78
 CL
 MU79D0 001
 B
 59 di 119

4.09

Nmax

Formula Generale per il Calcolo del Carico Limite Unitrario (Brinch-Hansen, 1970)

Fondazione Nastriforme

qlim = c'Nc*ic + q_0 *Nq*iq + 0.5* γ 1*B*N γ *i γ

FS carico lin	nite F = qlim*B*/ N	Nmin	4.09	>	1.2
qlim	(carico limite unitario)		478.02	485.55	(kN/m ²)
(fondazione nas	striforme m = 2)				
$i\gamma = (1 - T/(N + I))$	B*c'cotgφ')) ^{m+1}		0.51	0.52	(-)
ic = iq - (1 - iq)			0.60	0.61	(-)
iq = (1 - T/(N +	B*c'cotqφ')) ^m (1 in cond. nd)		0.64	0.65	(-)
I valori di ic, iq	e iγ sono stati valutati con le espressioni suggerite d	la Vesic (1975)			
$N\gamma = 2*(Nq + 1)$			10.88		(-)
$Nq = tg (45 + \varphi)$ Nc = (Nq - 1)/tq			20.72		(-) (-)
$Nq = tg^2(45 + \varphi)$	$(2)^*e^{(\pi^*tg(\phi))}$ (1 in cond. nd)		10.66		(-)
I valori di Nc, No	q e Ng sono stati valutati con le espressioni suggeri	te da Vesic (197	5)		
B*= B - 2e	larghezza equivalente		3.51	3.56	(m)
e = M / N	eccentricità		0.35	0.32	(m)
$q_0 = \gamma d^*H2'$	sovraccarico stabilizzante		15.20		(kN/m^2)
γ1	peso unità di volume terreno fondaz.		19.00		(kN/m ³)
φ1′	angolo di attrito terreno di fondaz.		25.00		(°)
c1'	coesione terreno di fondaz.		15.00		(kN/mq)



Condizione sismica -

VERIFICA ALLO SCORRIMENTO

Risult	tante forze	e verticali (N)			
N	=	Pm+ Pt + vp + vs + Sst1v + Ssq1v + Ps v + Ptsv	387.70	(kN/m)	
	tante forze	e orizzontali (T) Sst1h + Ssq1h + fp + fs +Ps h + Ptsh	100.28	(kN/m)	
Coeff f	ficiente di =	attrito alla base (f) tgφ1'	0.47	(-)	
Fs	=	(N*f + Sp) / T	1.80	>	1
VER	IFICA AL	_ RIBALTAMENTO			
Mom Ms		izzante (Ms) Mm + Mt + Mfext3	890.69	(kNm/m)	
Ms		Mm + Mt + Mfext3		(kNm/m)	
Ms Mom	= ento ribalta	Mm + Mt + Mfext3 ante (Mr)			1

Risul N	tante forze	e verticali (N) Pm+ Pt + vp + vs + Sst1v + Ssq1v + Ps v + Ptsv	Nmin 387.70	Nmax 400.90	(kN/m)
Risul T	tante forze	e orizzontali (T) Sst1h + Ssq1h + fp + fs +Ps h + Ptsh - Sp	100.28		(kN/m)
Risul MM		nomenti rispetto al piede di valle (MM) $$\Sigma{\rm M}$$	674.68	708.34	(kNm/m)
Mom M	ento rispe	tto al baricentro della fondazione (M) Xc*N - MM	139.49	133.55	(kNm/m)



NV52: MURO DI SOSTEGNO MU79D RELAZIONE DI CALCOLO
 COMMESSA
 LOTTO
 CODIFICA
 DOCUMENTO
 REV.
 FOGLIO

 RS3T
 30 D 78
 CL
 MU79D0 001
 B
 61 di 119

4.25

Nmax

Formula Generale per il Calcolo del Carico Limite Unitrario (Brinch-Hansen, 1970)

Fondazione Nastriforme

qlim = c'Nc*ic + q_0 *Nq*iq + 0.5* γ 1*B*N γ *i γ

FS carico lir	nite F = qlim*B*/ N	Nmin	4.26 4.25	>	1.2
qlim	(carico limite unitario)		474.13	482.14	(kN/m ²)
(fondazione nas	striforme m = 2)				
$i\gamma = (1 - T/(N +$	B*c'cotgφ')) ^{m+1}		0.51	0.51	(-)
ic = iq - (1 - iq)	3177		0.60	0.61	(-)
I valori di ic, iq $iq = (1 - T/(N +$	e iγ sono stati valutati con le espressioni suggerite da Ve Β*c'cotgφ')) ^m (1 in cond. nd)	esic (1975)	0.64	0.65	(-)
$N\gamma = 2*(Nq + 1)$	*tg(φ') (0 in cond. nd)		10.88		(-)
	(ϕ') (2+ π in cond. nd)		20.72		(-)
$Nq = tg^2(45 + \varphi)$	'/2)*e ^{(π*tg(φ'))} (1 in cond. nd)		10.66		(-)
I valori di Nc, N	q e Ng sono stati valutati con le espressioni suggerite da	Vesic (1975)			
B*= B - 2e	larghezza equivalente		3.48	3.53	(m)
e = M / N	eccentricità		0.36	0.33	(m)
$q_0 = \gamma d^*H2'$	sovraccarico stabilizzante		15.20		(kN/m^2)
γ1	peso unità di volume terreno fondaz.		19.00		(kN/m ³)
φ1'	coesione terreno di fondaz. angolo di attrito terreno di fondaz.		25.00		(kN/mq) (°)
c1'	aggrigan terrono di fondoz		15.00		(ld)(ma)

10.3.3 VERIFICA STATICA A RIBALTAMENTO, SCORRIMENTO E CARICO LIMITE VERTICALE - C. NON DRENATE

VERIFICA ALLO SCORRIMENTO (STR/GEO)

Risultante f	orze verticali (N)							
N =	Pm + Pt + v + Stv + Sqv perm + Sqv acc	398.51	(kN/m)					
Risultante fo	orze orizzontali (T)							
T =	Sth + Sqh + f	127.13	(kN/m)					
Coefficiente	di attrito alla base (f)							
f =	tgφ1'	0.47	(-)					
Fs sco	r. (N*f + Sp) / T	1.46	>	1.1				
VERIFICA	VERIFICA AL RIBALTAMENTO							
Momento st Ms =	abilizzante (Ms) Mm + Mt + Mfext3	890.69	(kNm/m)					
Momento ribaltante (Mr)								

Mr = MSt + MSq + Mfext1 + Mfext2 + MSp 250.18 (kNm/m)

Fs ribaltamento Ms / Mr 3.56 > 1.15

VERIFICA CARICO LIMITE DELLA FONDAZIONE (STR/GEO)

Risultante forze verticali (N)	Nmin	Nmax	
N = Pm + Pt + v + Stv + Sqv (+ Sovr acc)	398.51	494.21	(kN/m)
Risultante forze orizzontali (T)			
T = Sth + Sqh + f - Sp	127.13	127.13	(kN/m)
Risultante dei momenti rispetto al piede di valle (MM)			
$MM = \sum M$	640.50	884.54	(kNm/m)
Momento rispetto al baricentro della fondazione (M)			
$M = Xc^*N - MM$	196.37	153.30	(kNm/m)



NV52: MURO DI SOSTEGNO MU79D RELAZIONE DI CALCOLO
 COMMESSA
 LOTTO
 CODIFICA
 DOCUMENTO
 REV.
 FOGLIO

 RS3T
 30 D 78
 CL
 MU79D0 001
 B
 63 di 119

Formula Generale per il Calcolo del Carico Limite Unitrario (Brinch-Hansen, 1970)

Fondazione Nastriforme

qlim = c'Nc*ic + q_0 *Nq*iq + 0.5* γ 1*B*N γ *i γ

cu	res. al taglio nd terreno di fondaz.	75.00		(kPa)		
γ1	peso unità di volume terreno fondaz.	19.00		(kN/m³)		
$q_0 = \gamma d^*H2'$	sovraccarico stabilizzante	15.20		(kN/m ²)		
e = M / N B*= B - 2e	eccentricità larghezza equivalente	0.49 3.21	0.31 3.58	(m) (m)		
I valori di Nc, N	q e Ng sono stati valutati con le espressioni suggerite da Vesic (19	75)				
Nq = $tg^2(45 + \varphi)$ Nc = $(Nq - 1)/tg$ N γ = $2*(Nq + 1)$		1.00 5.14 0.00		(-) (-) (-)		
I valori di ic, iq	e iγ sono stati valutati con le espressioni suggerite da Vesic (1975)					
iq = (1 - T/(N + ic = (1 - m T / (ic = (1 - T/(N + ic =	1.00 0.79	1.00 0.82	(-) (-) (-)			
(fondazione nastriforme m = 2)						
qlim	(carico limite unitario)	321.72	329.79	(kN/m ²)		
FS carico lir	Nmin nite F = qlim*B*/ N	2.60	>	1.4		
ro carico ili	Nmax	2.39	>	1.4		

10.3.4 VERIFICA SISMICA A RIBALTAMENTO, SCORRIMENTO E CARICO LIMITE VERTICALE - C. DRENATE

Condizione sismica +

VERIFICA ALLO SCORRIMENTO

F	s =	(N*f + Sp) / T	1.84	>	1
f	=	tgφ1'	0.47	(-)	
C	oefficiente	di attrito alla base (f)			
R T	isultante for =	rze orizzontali (T) Sst1h + Ssq1h + fp + fs +Ps h + Ptsh	103.89	(kN/m)	
R N		rze verticali (N) Pm+ Pt + vp + vs + Sst1v + Ssq1v + Ps v + Ptsv	409.32	(kN/m)	

VERIFICA AL RIBALTAMENTO

Fr	=	Ms / Mr	4.54	>	1
Mr		MSst+MSsq+Mfext1+Mfext2+MSp+MPs+Mpts	196.37	(kNm/m)	
Ms		lizzante (Ms) Mm + Mt + Mfext3	890.69	(kNm/m)	
Mom	onto stabi	lizzanto (Mc)			

VERIFICA A CARICO LIMITE DELLA FONDAZIONE

Risultante forz	e verticali (N)	Nmin	Nmax [*]	
N =	Pm+ Pt + vp + vs + Sst1v + Ssq1v + Ps v + Ptsv + (Sovr acc)	409.32	422.52	(kN/m)
Risultante forz	e orizzontali (T)			
T =	Sst1h + Ssq1h + fp + fs +Ps h + Ptsh - Sp	103.89		(kN/m)
Risultante dei	momenti rispetto al piede di valle (MM)			
MM =	ΣΜ	717.43	751.09	(kNm/m)
Momento rispo	etto al baricentro della fondazione (M)			
M =	Xc*N - MM	142.13	136.19	(kNm/m)
	70 11 1000	112.10	100.10	(131 111)



NV52: MURO DI SOSTEGNO MU79D RELAZIONE DI CALCOLO
 COMMESSA
 LOTTO
 CODIFICA
 DOCUMENTO
 REV.
 FOGLIO

 RS3T
 30 D 78
 CL
 MU79D0 001
 B
 65 di 119

Formula Generale per il Calcolo del Carico Limite Unitrario (Brinch-Hansen, 1970)

Fondazione Nastriforme

qlim = c'Nc*ic + q_0 *Nq*iq + 0.5* γ 1*B*N γ *i γ

cu	res. al taglio nd terreno di fondaz.		75.00		(kN/mq)	
γ ₁	peso unità di volume terreno fondaz.		19.00		(kN/m³)	
$q_0 = \gamma d^*H2'$	sovraccarico stabilizzante		15.20		(kN/m ²)	
e = M / N B*= B - 2e	eccentricità larghezza equivalente		0.35 3.51	0.32 3.56	(m) (m)	
I valori di Nc, N	q e Ng sono stati valutati con le espressioni suggerite	da Vesic (1975)			
$N\gamma = 2*(Nq + 1)$	'/2)*e ^{(π*tg(φ'))} (1 in cond. nd) t(φ') (2+π in cond. nd) *tg(φ') (0 in cond. nd) e iγ sono stati valutati con le espressioni suggerite da	vesic (1975)	1.00 5.14 0.00		(-) (-) (-)	
iq = (1 - T/(N + ic = (1 - m T / (if + if	B* cu*Nc))		1.00 0.85 	1.00 0.85	(-) (-)	
(fondazione nastriforme m = 2)						
qlim	(carico limite unitario)		341.55	342.38	(kN/m ²)	
FS carico lir	nite F = qlim*B*/ N	Nmin Nmax	2.93 2.88	> >	1.2	



Condizione sismica -

VERIFICA ALLO SCORRIMENTO

	=	Ms / Mr	3.42	>	1
Mome Mr	ento ribalt =	ante (Mr) MSst+MSsq+Mfext1+Mfext2+MSp+MPs+Mpts	260.63	(kNm/m)	
	ento stabi =	lizzante (Ms) Mm + Mt + Mfext3	890.69	(kNm/m)	
<u>VER</u>	IFICA AI	L RIBALTAMENTO			
Fs	=	(N*f + Sp) / T	1.80	>	1
Coeff f	iciente di =	attrito alla base (f) $tg\phi 1 \text{'}$	0.47	(-)	
	ante forze	e orizzontali (T) Sst1h + Ssq1h + fp + fs +Ps h + Ptsh	100.28	(kN/m)	
Risult N	ante forze	e verticali (N) Pm+ Pt + vp + vs + Sst1v + Ssq1v + Ps v + Ptsv	387.70	(kN/m)	

VERIFICA A CARICO LIMITE DELLA FONDAZIONE

Risul N	tante forze	e verticali (N) Pm+ Pt + vp + vs + Sst1v + Ssq1v + Ps v + Ptsv	Nmin 387.70	Nmax 400.90	(kN/m)
Risul T	tante forze	e orizzontali (T) Sst1h + Ssq1h + fp + fs +Ps h + Ptsh - Sp	100.28		(kN/m)
Risul MM		nomenti rispetto al piede di valle (MM) ΣM	674.68	708.34	(kNm/m)
Mom M	ento rispel =	tto al baricentro della fondazione (M) Xc*N - MM	139.49	133.55	(kNm/m)



NV52: MURO DI SOSTEGNO MU79D RELAZIONE DI CALCOLO
 COMMESSA
 LOTTO
 CODIFICA
 DOCUMENTO
 REV.
 FOGLIO

 RS3T
 30 D 78
 CL
 MU79D0 001
 B
 67 di 119

Formula Generale per il Calcolo del Carico Limite Unitrario (Brinch-Hansen, 1970)

Fondazione Nastriforme

qlim = c'Nc*ic + q_0 *Nq*iq + 0.5* γ 1*B*N γ *i γ

FS carico lir	mite F = qlim*B*/ N	Nmin	3.08	>	1.2
qlim	(carico limite unitario)		343.19	344.06	(kN/m ²)
(fondazione nas	striforme m = 2)				
iq = (1 - T/(N + ic) = (1 - m T / (ic) = (1 - T/(N + ic) = (1 -	B* cu*Nc))		1.00 0.85 	1.00 0.85	(-) (-) (-)
	e iγ sono stati valutati con le espressioni suggerite da	Vesic (1975)	1.00	1.00	()
Nq = $tg^2(45 + \varphi)$ Nc = (Nq - 1)/ tg N γ = 2*(Nq + 1)			1.00 5.14 0.00		(-) (-) (-)
I valori di Nc, N	q e Ng sono stati valutati con le espressioni suggerite	da Vesic (1975)		
e = M / N B*= B - 2e	eccentricità larghezza equivalente		0.36 3.48	0.33 3.53	(m) (m)
$q_0 = \gamma d^*H2'$	sovraccarico stabilizzante		15.20		(kN/m ²)
γ1	peso unità di volume terreno fondaz.		19.00		(kN/m³)
cu	res. al taglio nd terreno di fondaz.		75.00		(kN/mq)

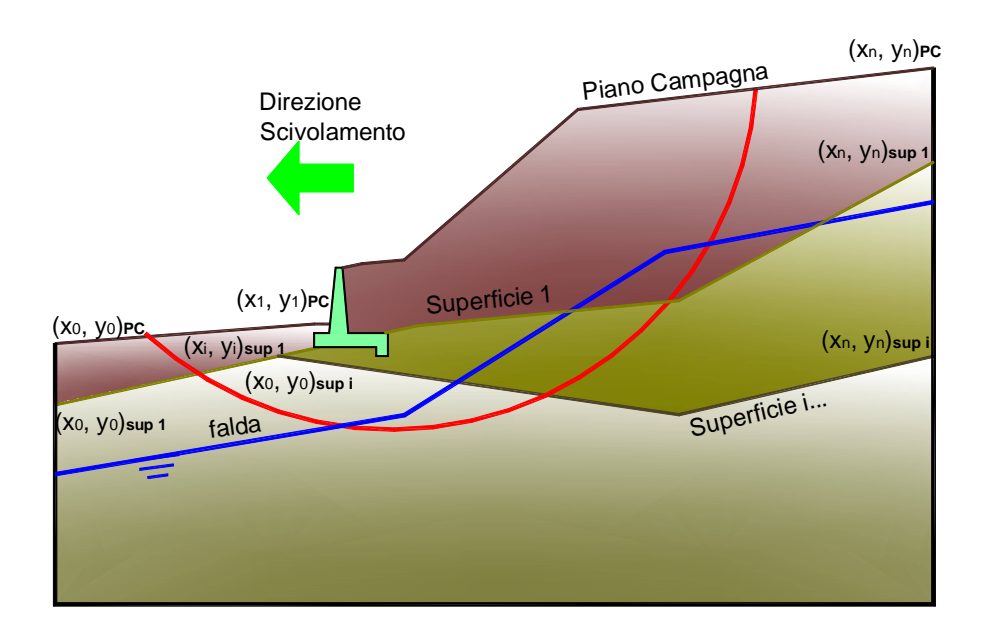
Nmax

3.03

ITALFERR GRUPPO FERROVIE DELLO STATO ITALIANE	NUOVO COI TRATTA VA	LLEGAME LLELUNG	NTO PALERI	NA – CATANIA – 110 – CATANIA SETTA XIRBI (LO – LOTTO 3B		
NV52: MURO DI SOSTEGNO MU79D RELAZIONE DI CALCOLO	COMMESSA RS3T	LOTTO 30 D 78	CODIFICA	DOCUMENTO MU79D0 001	REV.	FOGLIO 68 di 119

10.3.5 VERIFICA DI STABILITÀ GLOBALE – COND. DRENATE

Le analisi di stabilità, di seguito riportate, sono state effettuate limitando la ricerca delle potenziali superfici di scorrimento critiche alla fascia più prossima alla linea stradale.

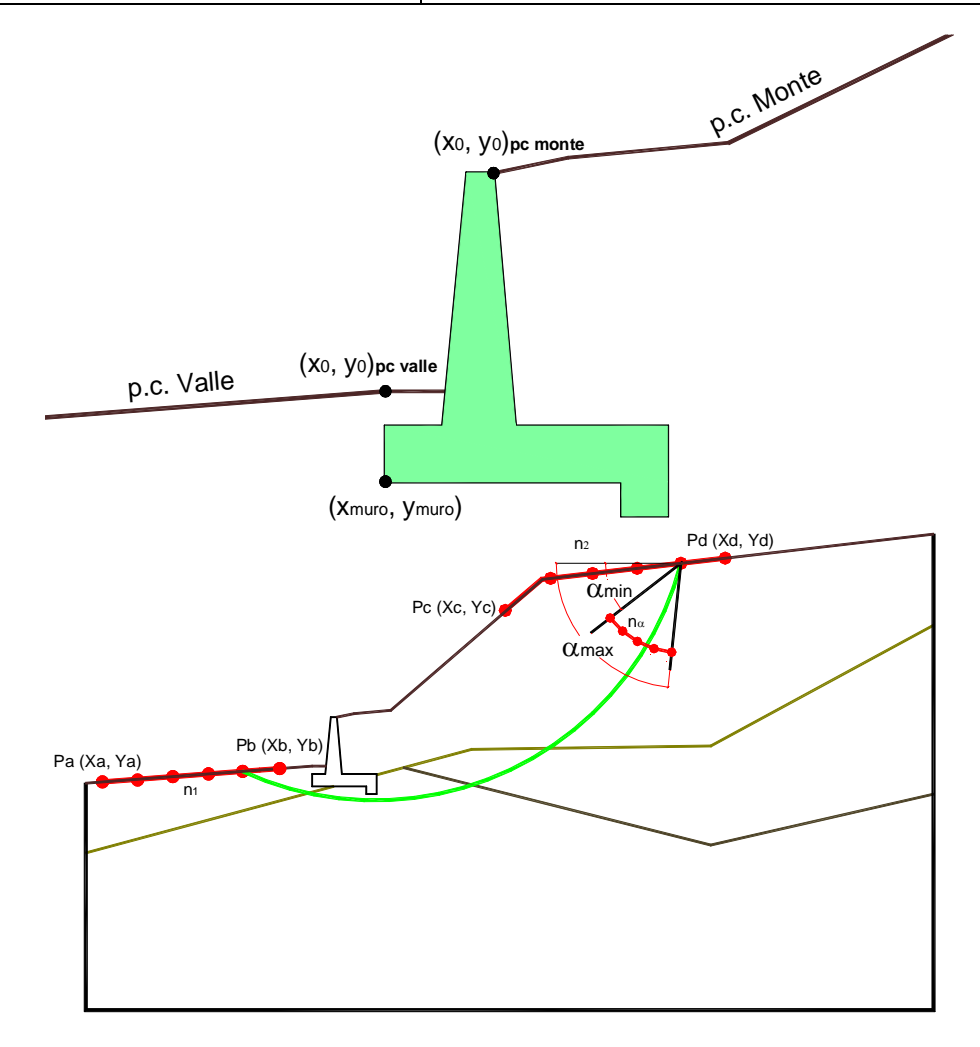


	γ [kN/m³]	φ [°]	c [kPa]	Descrizione
materiale 1	19.00	35	0	Rilevato - riporto
materiale 2	19.00	25	15	Unità geotecnica 1 - a2
materiale 3	21.00	20	22.5	Unità geotecnica 2 - TRV
materiale 4				-



NV52: MURO DI SOSTEGNO MU79D RELAZIONE DI CALCOLO
 COMMESSA
 LOTTO
 CODIFICA
 DOCUMENTO
 REV.
 FOGLIO

 RS3T
 30 D 78
 CL
 MU79D0 001
 B
 69 di 119

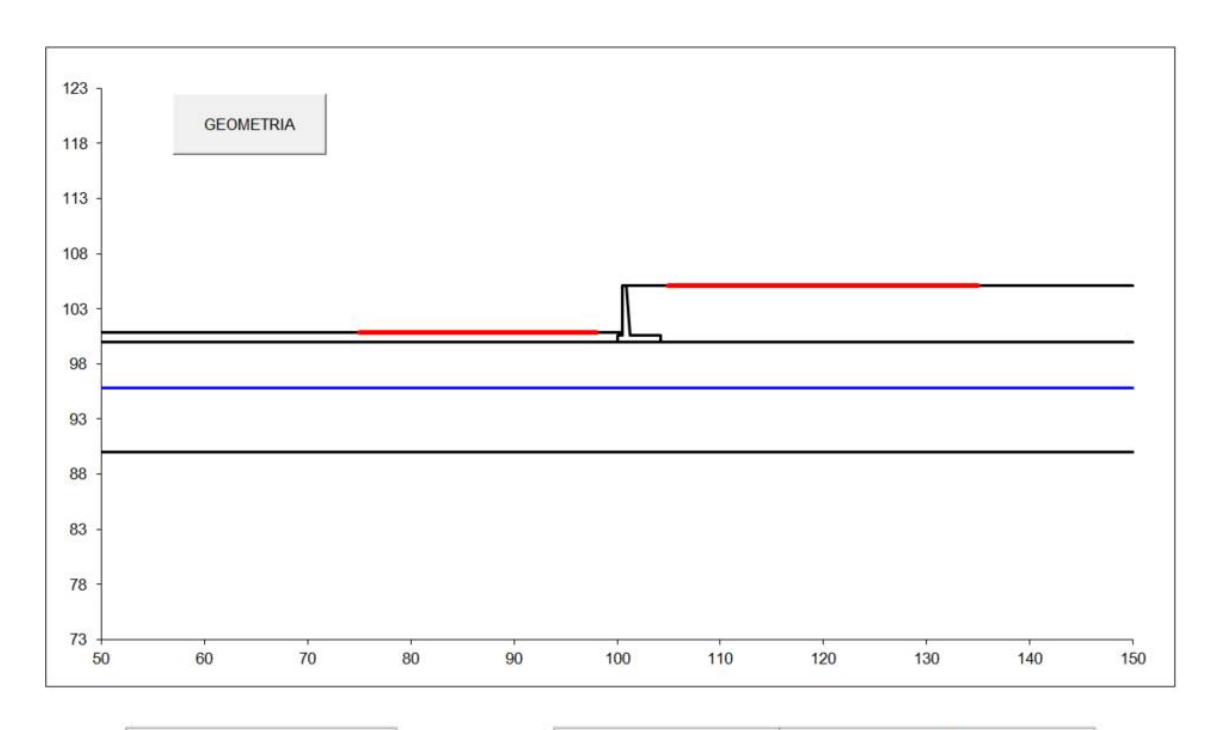


	p.c. va	lle		p.c. mor	nte		superfic	ie 1		superfici	e 2		superfic	ie 3			
		materiale 1		•			materi	ale 2	1	materia	le 3 ▼		materi	ale 4		fo'da	
	х	у		х	у		x	у		х	у		x	у	Ĭ.	x	у
0	100.000	100.800	0	100.900	105.100	0	50.000	100.000	0	50.000	90.000	0			0	50.000	95.800
1	50.000	100.800	1	150.000	105.100	1	150.000	100.000	1	150.000	90.000	1			1	150.000	95.80
2			2			2			2			2			2		
3			3			3			3			3			3		
4			4			4			4			4			4		
5			5			5			5			5			5		
6			6			6			6			6			6		
7			7			7			7			7			7		
8			8			8			8			8			8		
9			9			9			9			9			9		
10			10			10			10			10			10		

Sovraccarichi



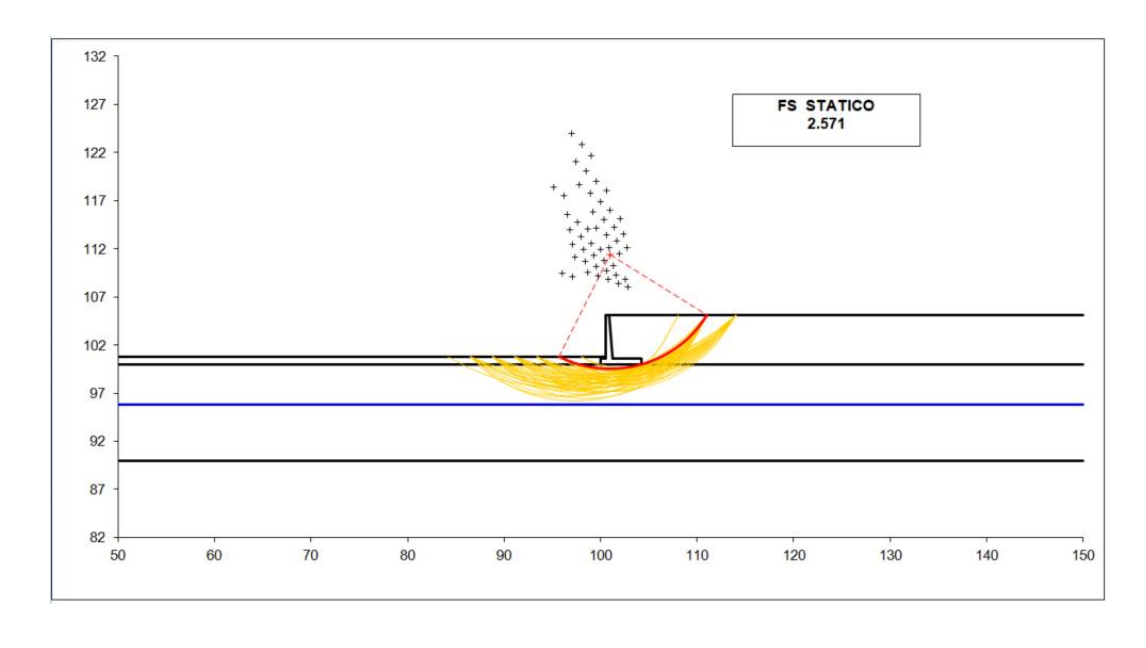




#strisce	
30	

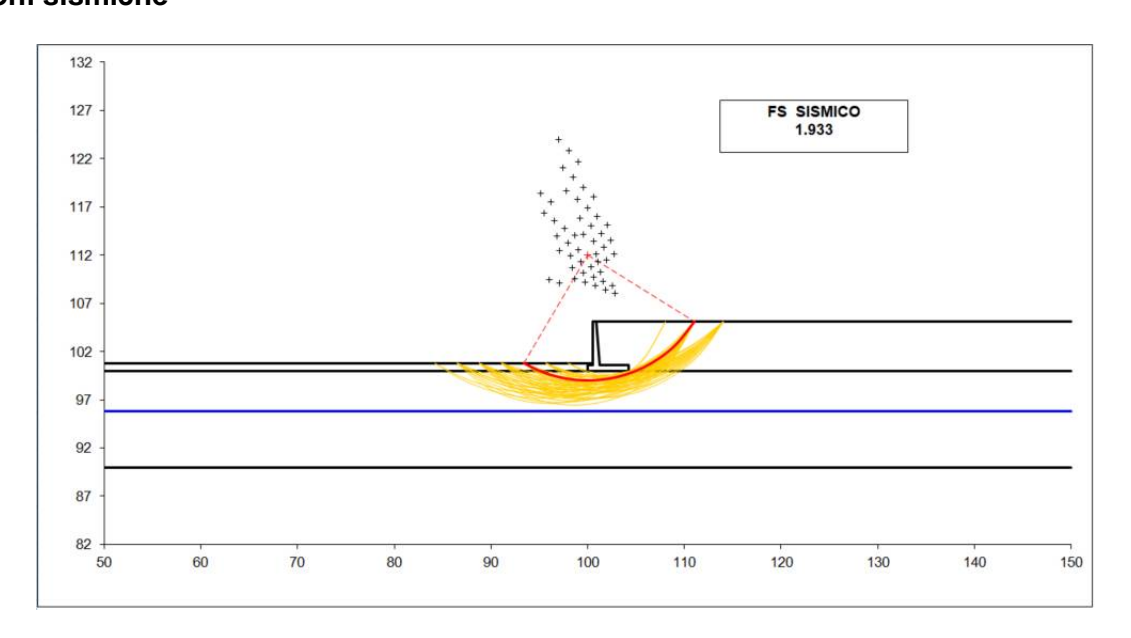
# Superfici Calcolate	FS Bishop			
866	STATICO	2.571		
000	SISMICO	1.933		

Condizioni statiche





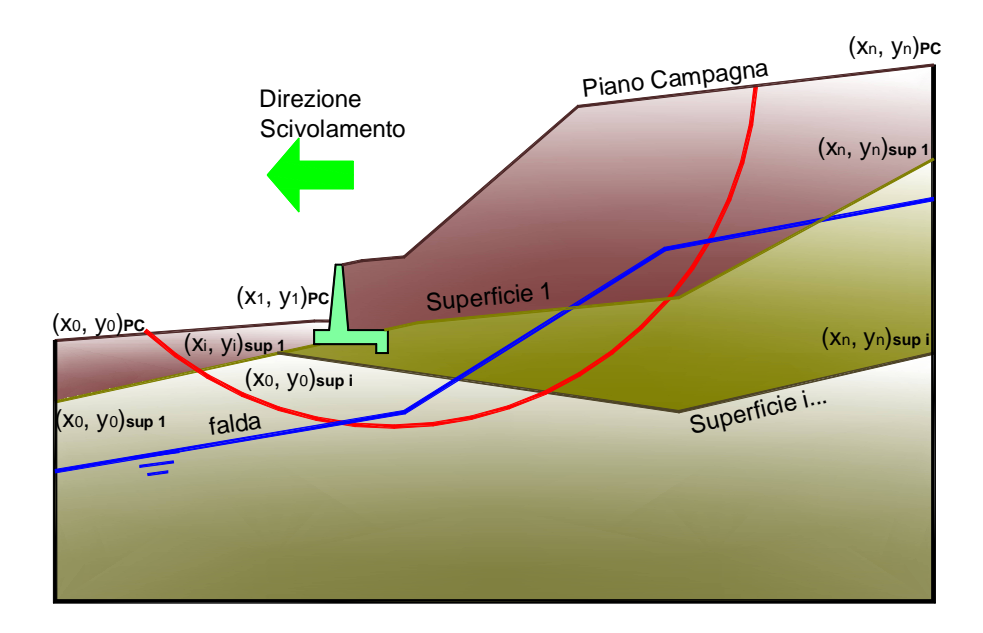
Condizioni sismiche



ITALFERR GRUPPO FERROVIE DELLO STATO ITALIANE	NUOVO COI TRATTA VA	LEGAME	NTO PALERI	NA – CATANIA – 110 – CATANIA SETTA XIRBI (LO – LOTTO 3B		
NV52: MURO DI SOSTEGNO MU79D RELAZIONE DI CALCOLO	COMMESSA RS3T	LOTTO 30 D 78	CODIFICA	DOCUMENTO MU79D0 001	REV.	FOGLIO 72 di 119

10.3.6 VERIFICA DI STABILITÀ GLOBALE – COND. NON DRENATE

Le analisi di stabilità, di seguito riportate, sono state effettuate limitando la ricerca delle potenziali superfici di scorrimento critiche alla fascia più prossima alla linea stradale.



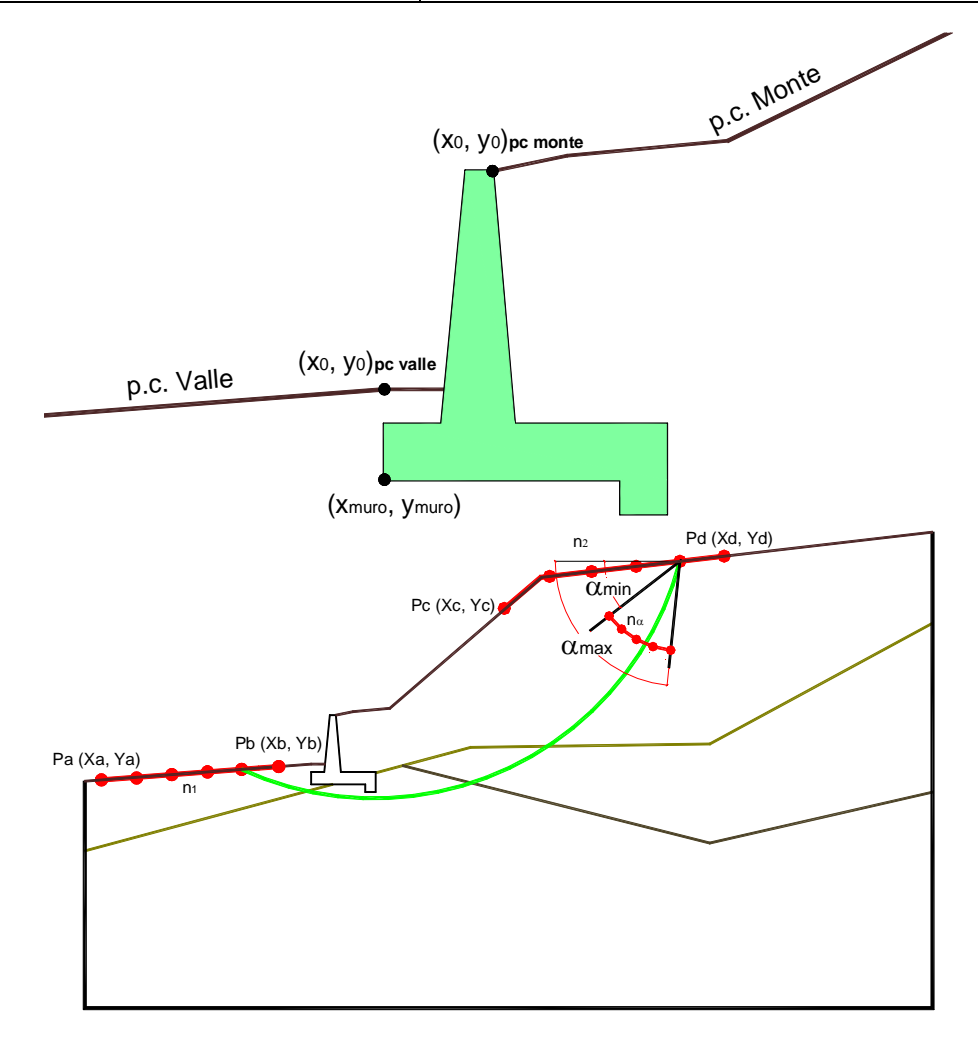
	γ [kN/m³]	φ [°]	c [kPa]	Descrizione
materiale 1	19.00	35	0	Rilevato - riporto
materiale 2	19.00	25	75	Unità geotecnica 1 - a2
materiale 3	21.00	20	200	Unità geotecnica 2 - TRV
materiale 4				-



DIRETTRICE FERROVIARIA MESSINA – CATANIA – PALERMO NUOVO COLLEGAMENTO PALERMO – CATANIA TRATTA VALLELUNGA – CALTANISETTA XIRBI (LOTTO 3b) OPERE DI SOSTEGNO VIABILITA' – LOTTO 3B

NV52: MURO DI SOSTEGNO MU79D RELAZIONE DI CALCOLO
 COMMESSA
 LOTTO
 CODIFICA
 DOCUMENTO
 REV.
 FOGLIO

 RS3T
 30 D 78
 CL
 MU79D0 001
 B
 73 di 119

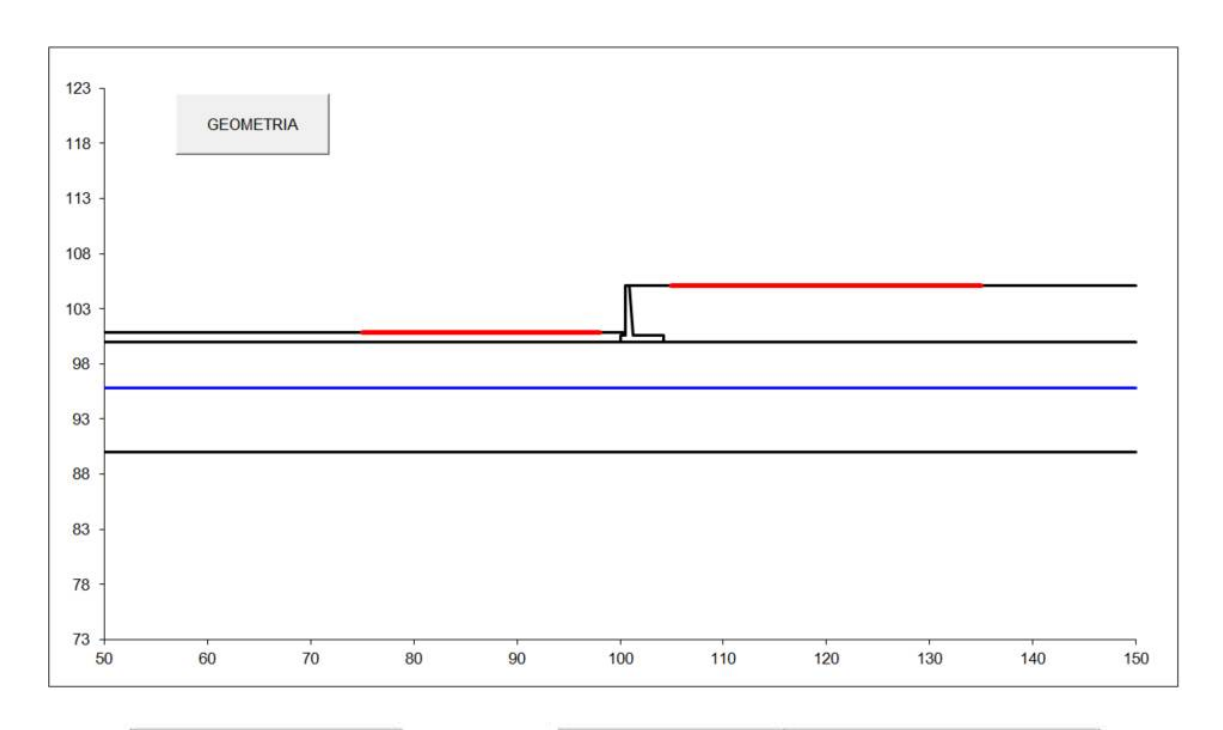


	p.c. va	ille		p.c. mor	nte	1	superfic	ie 1		superfici	e 2		superfi	cie 3			
		materiale 1	-				materi	ale 2	materiale 3		ale 3		materiale 4			5-¹da	
	х	у		x	У		x	у		х	у		x	у	Ţ.	x	у
0	100.000	100.800	0	100.900	105.100	0	50.000	100.000	0	50.000	90.000	0			0	50.000	95.800
1	50.000	100.800	1	150.000	105.100	1	150.000	100.000	1	150.000	90.000	1			1	150.000	95,800
2			2			2			2			2			2		
3			3			3			3			3			3		
4			4			4			4			4			4		
5			5			5			5			5			5		
6			6			6			6			6			6		
7			7			7			7			7			7		
8			8			8			8			8			8		
9			9			9			9			9			9		
10			10			10			10			10			10		

Sovraccarichi

		X _{in}	q in	X _{fin}	q _{fin}	% sisma
sovraccarico 1	V	103.900	20	106.500	20	20%
sovraccarico 2						

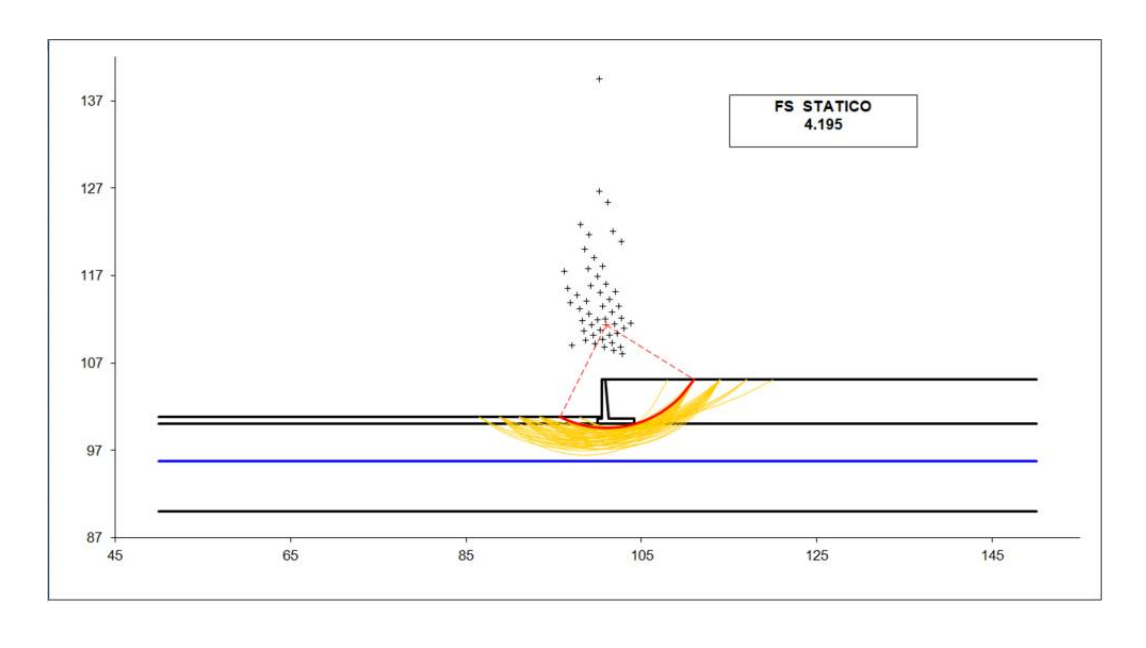




#strisce	
30	

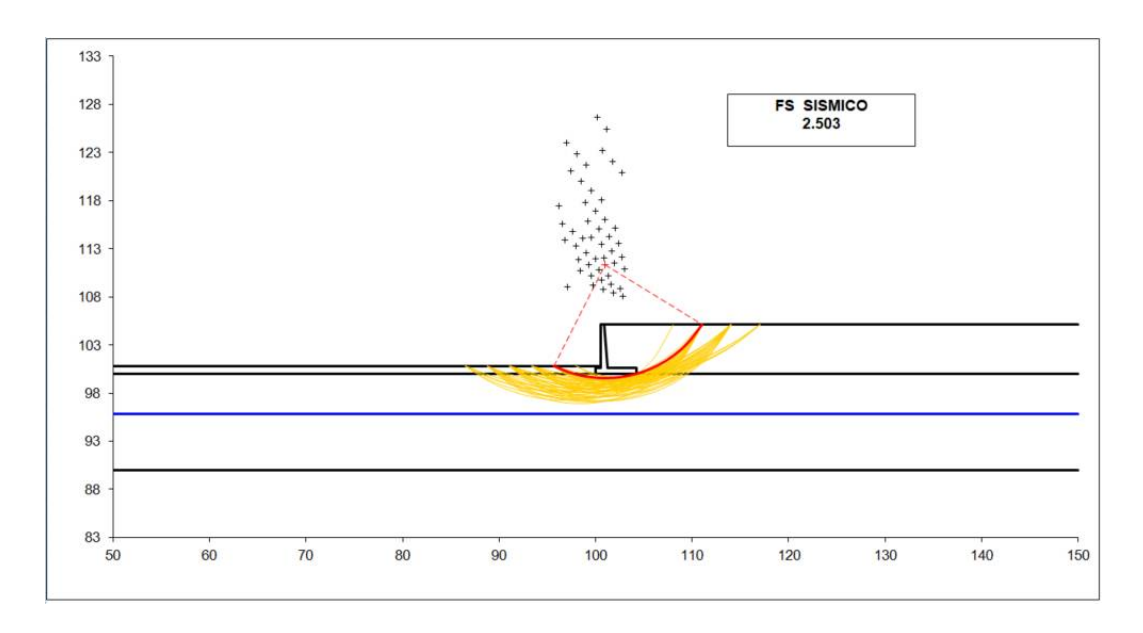
# Superfici Calcolate	FS Bish	
866	STATICO	4.195
000	SISMICO	2.503

Condizioni statiche





Condizioni sismiche



DIRETTRICE FERROVIARIA MESSINA – CATANIA – PALERMO **NUOVO COLLEGAMENTO PALERMO – CATANIA** TRATTA VALLELUNGA - CALTANISETTA XIRBI (LOTTO 3b) OPERE DI SOSTEGNO VIABILITA' - LOTTO 3B

NV52: MURO DI SOSTEGNO MU79D RELAZIONE DI CALCOLO

LOTTO CODIFICA FOGLIO COMMESSA DOCUMENTO REV. RS3T 30 D 78 MU79D0 001 76 di 119 CL

VERIFICHE STRUTTURALI 10.4

10.4.1 CALCOLO DELLE SOLLECITAZIONI

Reazione del terreno

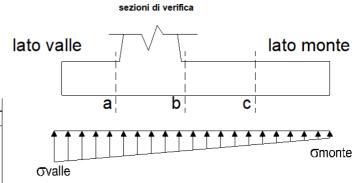
ovalle = N / A + M / Wgg

omonte = N / A - M / Wgg

A = 1.0*B4.20 (m²)

 $Wgg = 1.0*B^2/6$ 2.94 (m³)

	N	М	ovalle	omonte
caso	[kN]	[kNm]	[kN/m ²]	[kN/m ²]
statico	398.51	196.37	161.67	28.09
Statico	494.21	153.30	169.81	65.53
sisma+	409.32	142.13	145.80	49.11
Sisilia	422.52	136.19	146.92	54.27
sisma-	387.70	139.49	139.76	44.86
2121119-	400.90	133.55	140.88	50.03



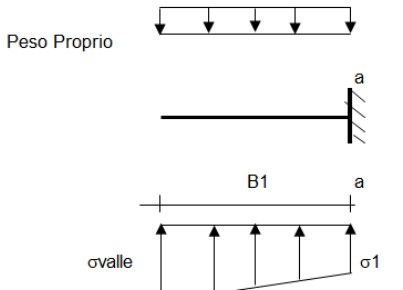
Mensola Lato Valle

Peso Proprio.

(kN/m) PP = 15.00

Ma = $\sigma 1*B1^2/2 + (\sigma valle - \sigma 1)*B1^2/3 - PP*B1^2/2*(1±kv)$ $Va = \sigma 1*B1 + (\sigma valle - \sigma 1)*B1/2 - PP*B1*(1±kv)$

	σvalle	σ1	Ma	Va
caso	[kN/m ²]	[kN/m ²]	[kNm]	[kN]
statico	161.67	145.77	17.67	69.36
Statico	169.81	157.40	18.83	74.30
sisma+	145.80	134.29	15.82	65.20
Sisma+	146.92	135.89	16.03	65.76
	139.76	128.46	15.18	62.17
sisma-	140.88	130.06	15.28	62.73



Mensola Lato Monte PP (kN/m²)15.00 peso proprio soletta fondazione PD 0.00 (kN/m) peso proprio dente

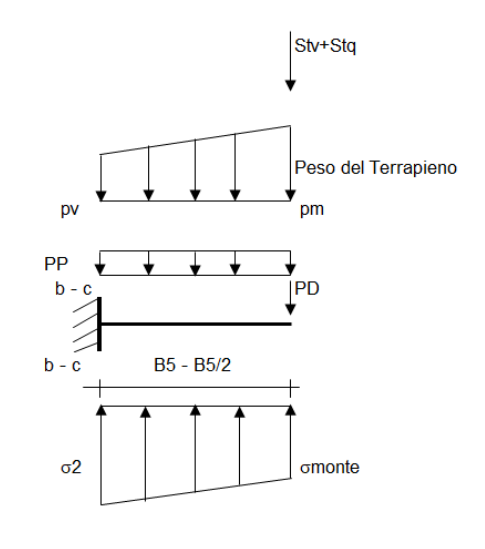
Nmin N max stat N max sism (kN/m^2) pm 85.50 114.50 89.50 85.50 114.50 89.50 (kN/m^2) pvb 85.50 114.50 89.50 (kN/m²)DVC

 $Mb = (\sigma_{monte} - (pvb + PP)^*(1 \pm kv))^*B5^2/2 + (\sigma 2b - \sigma_{monte})^*B5^2/6 - (pm - pvb))^*(1 \pm kv)^*B5^2/3 + (\sigma 2b - \sigma_{monte})^*B5^2/6 - (pm - pvb))^*(1 \pm kv)^*B5^2/3 + (\sigma 2b - \sigma_{monte})^*B5^2/6 - (pm - pvb))^*(1 \pm kv)^*B5^2/3 + (\sigma 2b - \sigma_{monte})^*B5^2/6 - (pm - pvb))^*(1 \pm kv)^*B5^2/3 + (\sigma 2b - \sigma_{monte})^*B5^2/6 - (pm - pvb))^*(1 \pm kv)^*B5^2/3 + (\sigma 2b - \sigma_{monte})^*B5^2/6 - (pm - pvb))^*(1 \pm kv)^*B5^2/3 + (\sigma 2b - \sigma_{monte})^*B5^2/6 - (pm - pvb))^*(1 \pm kv)^*B5^2/3 + (\sigma 2b - \sigma_{monte})^*B5^2/6 - (pm - pvb))^*(1 \pm kv)^*B5^2/3 + (\sigma 2b - \sigma_{monte})^*B5^2/6 - (pm - pvb))^*(1 \pm kv)^*B5^2/3 + (\sigma 2b - \sigma_{monte})^*B5^2/6 - (pm - pvb)^*(1 \pm kv)^*B5^2/3 + (\sigma 2b - \sigma_{monte})^*B5^2/6 - (pm - pvb)^*(1 \pm kv)^*B5^2/3 + (\sigma 2b - \sigma_{monte})^*B5^2/6 - (pm - pvb)^*(1 \pm kv)^*B5^2/3 + (\sigma 2b - \sigma_{monte})^*B5^2/6 - (pm - pvb)^*(1 \pm kv)^*B5^2/3 + (\sigma 2b - \sigma_{monte})^*B5^2/6 - (pm - pvb)^*(1 \pm kv)^*B5^2/6 - (pm - pvb)^*(1 \pm kv)^*(1 \pm kv)^*B5^2/6 - (pm - pvb)^*(1 \pm kv)^*(1 \pm kv)$ -(Stv+Sqv)*B5-PD*(1±kv)*(B5-Bd/2)-PD*kh*(Hd+H2/2)+Msp+Sp*H2/2

 $Mc = (\sigma_{monte} - (pvc + PP)^*(1 \pm kv))^*(B5/2)^2/2 + (\sigma 2c - \sigma_{monte})^*(B5/2)^2/6 - (pm-pvc)^*(1 \pm kv)^*(B5/2)^2/3 + (\sigma 2c - \sigma_{monte})^*(B5/2)^2/6 - (pm-pvc)^*(B5/2)^2/3 + (\sigma 2c - \sigma_{monte})^*(B5/2)^2/3 + (\sigma 2c - \sigma_{monte})^2/3 + (\sigma 2c -(Stv+Sqv)^*(B5/2)-PD^*(1\pm kv)^*(B5/2-Bd/2)-PD^*kh^*(Hd+H2/2)+Msp+Sp^*H2/2$

 $Vb = (\sigma_{monte} - (pvb + PP)^*(1 \pm kv))^*B5 + (\sigma 2b - \sigma_{monte})^*B5/2 - (pm-pvb))^*(1 \pm kv)^*B5/2 - (Stv + Sqv) - PD^*(1 \pm kv)$

 $Vc = (\sigma_{monte} - (pvc + PP)^*(1 \pm kv))^*(B5/2) + (\sigma_2c - \sigma_{monte})^*(B5/2)/2 - (pm-pvc)^*(1 \pm kv)^*(B5/2)/2 - (Stv + Sqv) - PD^*(1 \pm kv)$





DIRETTRICE FERROVIARIA MESSINA – CATANIA – PALERMO NUOVO COLLEGAMENTO PALERMO – CATANIA TRATTA VALLELUNGA – CALTANISETTA XIRBI (LOTTO 3b) OPERE DI SOSTEGNO VIABILITA' – LOTTO 3B

NV52: MURO DI SOSTEGNO MU79D RELAZIONE DI CALCOLO

COMMESSA	LOTTO	CODIFICA	DOCUMENTO	REV.	FOGLIO
RS3T	30 D 78	CL	MU79D0 001	В	77 di 119

	omonte	σ2b	Mb	Vb	σ2c	Мс	Vc
caso	[kN/m ²]	[kN/m ²]	[kNm]	[kN]	[kN/m ²]	[kNm]	[kN]
statico	28.09	121.60	-178.23	-75.42	74.85	-61.39	-72.08
Statico	65.53	138.53	-171.32	-80.77	102.03	-55.98	-67.21
oiomo I	49.11	116.79	-136.47	-59.67	82.95	-46.31	-54.71
sisma+	54.27	119.13	-135.99	-60.73	86.70	-45.68	-54.20
	44.86	111.29	-132.87	-57.84	78.08	-45.18	-53.33
sisma-	50.03	113.62	-131.45	-58.26	81.83	-44.31	-52.50

CALCOLO SOLLECITAZIONI PARAMENTO VERTICALE DEL MURO

Azioni sulla parete e Sezioni di Calcolo

Mt stat = $\frac{1}{2} \text{Ka}_{\text{orizz.}}^* \gamma^* (1 \pm \text{kv})^* h^2 * h/3$

 $\label{eq:Mt_sism} \text{Mt sism} = \ 1/2 * \gamma * (Kas_{\text{orizz.}}*(1\pm kv)-Ka_{\text{orizz.}})*h^2*h/2 \quad o *h/3$

 $Mq = \frac{1}{2} Ka_{orizz} *q^*h^2$ $M_{ext} = m + f^*h$ $M_{inerzia} = \sum Pm_i^*b_i^*kh$

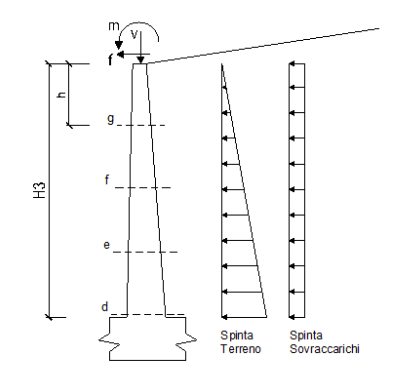
 $N_{ext} = v$

N $_{pp+inerzia}$ = $\Sigma Pm_i^*(1\pm kv)$

Vt stat = $\frac{1}{2}$ Ka_{orizz}* γ *(1±kv)*h²

Vt sism = $\frac{1}{2} * \gamma * (Kas_{orizz.} * (1\pm kv) - Ka_{orizz.}) * h^2$

 $\begin{array}{rcl} Vq & = Ka_{\text{orizz}} *q*h \\ V_{\text{ext}} & = f \\ V_{\text{inerzia}} & = \Sigma Pm_{i} *kh \end{array}$



condizione statica

sezione	h	Mt	Mq	M _{ext}	M _{tot}	N _{ext}	N_{pp}	N _{tot}
30210110	[m]	[kNm/m]	[kNm/m]	[kNm/m]	[kNm/m]	[kN/m]	[kN/m]	[kN/m]
d-d	4.50	101.66	79.57	0.00	181.23	3.50	65.25	68.75
е-е	3.38	42.89	44.76	0.00	87.64	3.50	45.14	48.64
f-f	2.25	12.71	19.89	0.00	32.60	3.50	27.56	31.06
g-g	1.13	1.59	4.97	0.00	6.56	3.50	12.52	16.02

sezione	h	Vt	Vq	$V_{\rm ext}$	V_{tot}
36210116	[m]	[kN/m]	[kN/m]	[kN/m]	[kN/m]
d-d	4.50	67.77	35.36	0.00	103.14
e-e	3.38	38.12	26.52	0.00	64.64
f-f	2.25	16.94	17.68	0.00	34.62
a-a	1 13	4 24	8 84	0.00	13 08

condizione sismica +

sezione	h	Mt stat	Mt sism	Mq	M _{ext}	M _{inerzia}	M _{tot}	N _{ext}	N _{pp+inerzia}	N _{tot}
	[m]	[kNm/m]	[kNm/m]	[kNm/m]	[kNm/m]	[kNm/m]	[kNm/m]	[kN/m]	[kN/m]	[kN/m]
d-d	4.50	78.20	10.74	12.15	0.00	7.20	108.29	3.50	67.04	70.54
e-e	3.38	32.99	4.53	6.83	0.00	3.82	48.17	3.50	46.38	49.88
f-f	2.25	9.77	1.34	3.04	0.00	1.59	15.75	3.50	28.32	31.82
g-g	1.13	1.22	0.17	0.76	0.00	0.37	2.52	3.50	12.86	16.36

sezione	h	Vt stat	Vt sism	Vq	$V_{\rm ext}$	V _{inerzia}	V _{tot}
	[m]	[kN/m]	[kN/m]	[kN/m]	[kN/m]	[kN/m]	[kN/m]
d-d	4.50	52.13	7.16	5.40	0.00	3.57	68.26
e-e	3.38	29.32	4.03	4.05	0.00	2.47	39.87
f-f	2.25	13.03	1.79	2.70	0.00	1.51	19.03
g-g	1.13	3.26	0.45	1.35	0.00	0.68	5.74

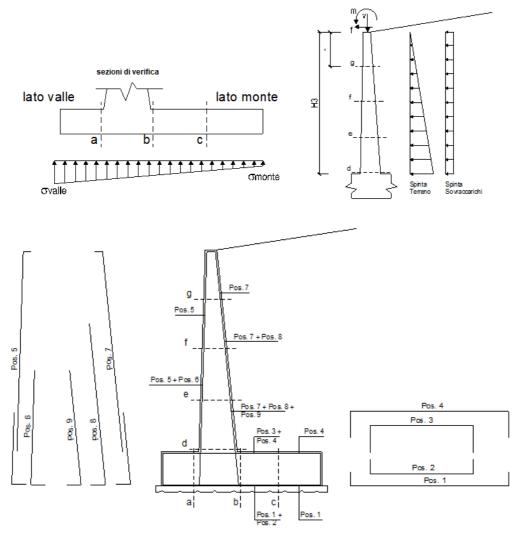
condizione sismica -

	CONTRIBUTION CONTINUA									
sezione	h	Mt stat	Mt sism	Mq	M_{ext}	M _{inerzia}	M _{tot}	N _{ext}	N _{pp+inerzia}	N_{tot}
	[m]	[kNm/m]	[kNm/m]	[kNm/m]	[kNm/m]	[kNm/m]	[kNm/m]	[kN/m]	[kN/m]	[kN/m]
d-d	4.50	78.20	6.48	12.22	0.00	7.20	104.10	3.50	63.46	66.96
e-e	3.38	32.99	2.74	6.87	0.00	3.82	46.42	3.50	43.91	47.41
f-f	2.25	9.77	0.81	3.05	0.00	1.59	15.23	3.50	26.81	30.31
g-g	1.13	1.22	0.10	0.76	0.00	0.37	2.46	3.50	12.17	15.67

sezione	h	Vt stat	Vt sism	Vq	V _{ext}	V _{inerzia}	V _{tot}
	[m]	[kN/m]	[kN/m]	[kN/m]	[kN/m]	[kN/m]	[kN/m]
d-d	4.50	52.13	4.32	5.43	0.00	3.57	65.46
e-e	3.38	29.32	2.43	4.07	0.00	2.47	38.30
f-f	2.25	13.03	1.08	2.72	0.00	1.51	18.34
q-q	1.13	3.26	0.27	1.36	0.00	0.68	5.57



10.4.2 VERIFICHE SLU



Armatura minima

L'armatura minima principale in fondazione deve essere in percentuale non inferiore allo 0.20% dell'area di conglomerato.

L'armatura minima principale presente in zona tesa deve essere in percentuale non inferiore allo 0.15% dell'area di conglomerato per l'intera lunghezza.

L'armatura secondaria, ortogonale a quella principale, deve essere pari al massimo delle seguenti percentuali:

- 0.10% dell'area di conglomerato in entrambi i lembi;
- 20% dell'armatura principale.



Muro h = 4,50m su fondazione diretta

ARMATURE

pos	n°/ml	φ	II strato	pos	n°/ml	ф	II strato
1	10.0	16		5	10.0	16	
2	0.0	0		6	0.0	0	
3	0.0	0		7	10.0	20	
4	10.0	20		8	0.0	0	
				9	0.0	0	

Pertanto l'armatura secondaria sarà pari a:

sez a – a: ϕ 10/20cm (ripartitori in fondazione e in elevazione);

sez b – b: ϕ 10/20cm (ripartitori in fondazione);

sez c – c: \$10/20cm (ripartitori in fondazione);

sez d - d: $\phi 10/20$ cm (ripartitori in fondazione);

sez e - e: ϕ 10/20cm (ripartitori in fondazione);

sez f – f: ϕ 10/20cm (ripartitori in fondazione);

sez g - g: $\phi 10/20$ cm (ripartitori in fondazione);

Sez.	M	N	h	Af	A'f	Mu
(-)	(kNm)	(kN)	(m)	(cm ²)	(cm ²)	(kNm)
a - a	18.83	0.00	0.60	20.11	31.42	394.45
b - b	-178.23	0.00	0.60	31.42	20.11	595.23
C - C	-61.39	0.00	0.60	31.42	20.11	595.23
d - d	181.23	68.75	0.76	31.42	20.11	812.99
e -e	87.64	48.64	0.67	31.42	20.11	694.01
f-f	32.60	31.06	0.58	31.42	20.11	577.38
g - g	6.56	16.02	0.49	31.42	20.11	462.76

	Sez.	V _{Ed}	h	V_{rd}	ø staffe	i orizz.	i vert.	θ	V_{Rsd}	_
_	(-)	(kN)	(m)	(kN)	(mm)	(cm)	(cm)	(°)	(kN)	- -
	a - a	74.30	0.60	234.90	10	20	20	21.8	907.58	Armatura a taglio non necessaria
	b - b	80.77	0.60	272.58	10	20	20	21.8	907.58	Armatura a taglio non necessaria
	C - C	72.08	0.60	272.58	10	20	20	21.8	907.58	Armatura a taglio non necessaria
	d - d	103.14	0.76	319.29	10	20	20	21.8	1184.18	Armatura a taglio non necessaria
	е -е	64.64	0.67	295.92	10	20	20	21.8	1028.59	Armatura a taglio non necessaria
	f-f	34.62	0.58	271.65	10	20	20	21.8	873.01	Armatura a taglio non necessaria
	g - g	13.08	0.49	246.16	10	20	20	21.8	717.42	Armatura a taglio non necessaria



10.4.3 VERIFICHE SLE TENSIONE

Condizione Statica

Sez.	M	N	h	Af	A'f	σc	σf
(-)	(kNm)	(kN)	(m)	(cm ²)	(cm ²)	(N/mm ²)	(N/mm ²)
a - a	15.90	0.00	0.60	20.11	31.42	0.38	16.71
b - b	-126.58	0.00	0.60	31.42	20.11	2.70	86.47
C - C	-42.84	0.00	0.60	31.42	20.11	0.91	29.26
d - d	133.07	68.75	0.76	31.42	20.11	1.91	58.49
е -е	63.86	48.64	0.67	31.42	20.11	1.16	31.05
f-f	23.49	31.06	0.58	31.42	20.11	0.56	12.19
g - g	4.65	16.02	0.49	31.42	20.11	0.16	1.86

Condizione Sismica

COHUIZIO	ic Jisiiiicu						
Sez.	M	N	h	Af	A'f	σC	σf
(-)	(kNm)	(kN)	(m)	(cm²)	(cm ²)	(N/mm ²)	(N/mm ²)
a - a	15.98	0.00	0.60	20.11	31.42	0.38	16.80
b - b	-136.47	0.00	0.60	31.42	20.11	2.92	93.23
C - C	-46.31	0.00	0.60	31.42	20.11	0.99	31.63
d - d	108.29	66.96	0.76	31.42	20.11	1.56	46.03
e -e	48.17	47.41	0.67	31.42	20.11	0.88	21.92
f-f	15.75	30.31	0.58	31.42	20.11	0.38	6.89
g - g	2.52	15.67	0.49	31.42	20.11	0.09	0.35

10.4.4 VERIFICHE SLE FESSURAZIONE

condizione Frequente

Sez.	М	N	h	Af	A'f	σc	σf	wk	W _{amm}
(-)	(kNm)	(kN)	(m)	(cm ²)	(cm ²)	(N/mm ²)	(N/mm ²)	(mm)	(mm)
a - a	15.90	0.00	0.60	20.11	31.42	0.38	16.71	0.021	0.200
b - b	-126.58	0.00	0.60	31.42	20.11	2.70	86.47	0.093	0.200
C - C	-42.84	0.00	0.60	31.42	20.11	0.91	29.26	0.032	0.200
d - d	133.07	68.75	0.76	31.42	20.11	1.91	58.49	0.069	0.200
е -е	63.86	48.64	0.67	31.42	20.11	1.16	31.05	0.034	0.200
f-f	23.49	31.06	0.58	31.42	20.11	0.56	12.19	0.012	0.200
g - g	4.65	16.02	0.49	31.42	20.11	0.16	1.86	0.002	0.200

(n.b.: M+ tende le fibre di intradosso, M- tende le fibre di estradosso)

condizione Quasi Permanente

Sez.	M	N	h	Af	A'f	σc	σf	wk	\mathbf{w}_{amm}
(-)	(kNm)	(kN)	(m)	(cm ²)	(cm ²)	(N/mm ²)	(N/mm ²)	(mm)	(mm)
a - a	12.33	0.00	0.60	20.11	31.42	0.30	12.97	0.016	0.200
b - b	-71.32	0.00	0.60	31.42	20.11	1.52	48.72	0.052	0.200
C - C	-22.98	0.00	0.60	31.42	20.11	0.49	15.70	0.017	0.200
d - d	78.20	68.75	0.76	31.42	20.11	1.14	30.39	0.035	0.200
e -e	32.99	48.64	0.67	31.42	20.11	0.61	12.81	0.014	0.200
f-f	9.77	31.06	0.58	31.42	20.11	0.24	2.80	0.003	0.200
g - g	1.22	16.02	0.49	31.42	20.11	0.06	-0.15	0.000	0.200



10.4.5 VERIFICHE STRUTTURALI IN PRESENZA DI URTO

Per le verifiche strutturali dei muri <u>"tipo 1"</u> si considera la verifica a pressoflessione della sezione di spiccato del paramento per la quale:

M=[100*(Hp+1)]/Lc=57.89 kNm/m momento allo spiccato

T=100/Lc=10.53 kN/m taglio allo spiccato

in cui

Lc=0.5 m +2 Hp=9.50 m larghezza di ripartizione come descritto al par. 8.4

Hp=4.50 m altezza max del paramento

				valori caratteristici	valori di p	rogetto
Carichi	<u>Agenti</u>			SLE - sisma	STR/GEO	EQU
	Sovraccarico permanente	(kN/m ²)	qp	0.00	0.00	0.00
id je	Sovraccarico su zattera di monte ● si ○ no	` 1				
Carichi	Forza Orizzontale in Testa permanente	(kN/m)	fp	0.00	0.00	0.00
Carichi permanenti	Forza Verticale in Testa permanente	(kN/m)	vp	3.50	3.50	3.50
<u></u>	Momento in Testa permanente	(kNm/m)	mp	0.00	0.00	0.00
	Sovraccarico Accidentale in condizioni statiche	(kN/m ²)	q	0.00	0.00	0.00
Condizioni Statiche	Forza Orizzontale in Testa accidentale in condizioni statiche	(kN/m)	f	10.53	15.27	15.27
atic	Forza Verticale in Testa accidentale in condizioni statiche	(kN/m)	V	0.00	0.00	0.00
S to	Momento in Testa accidentale in condizioni statiche	(kNm/m)	m	57.89	83.94	83.94
	Coefficienti di combinazione condizione frequer	nte Ψ1	1.00	condizione quasi permane	nte Ψ2	0.00
E e	Sovraccarico Accidentale in condizioni sismiche	(kN/m ²)	qs	0.00		
dizio Pict	Forza Orizzontale in Testa accidentale in condizioni sismiche	(kN/m)	fs	0.00		
Condizioni Sismiche	Forza Verticale in Testa accidentale in condizioni sismiche	(kN/m)	VS	0.00		
0 0	Momento in Testa accidentale in condizioni sismiche	(kNm/m)	ms	0.00		

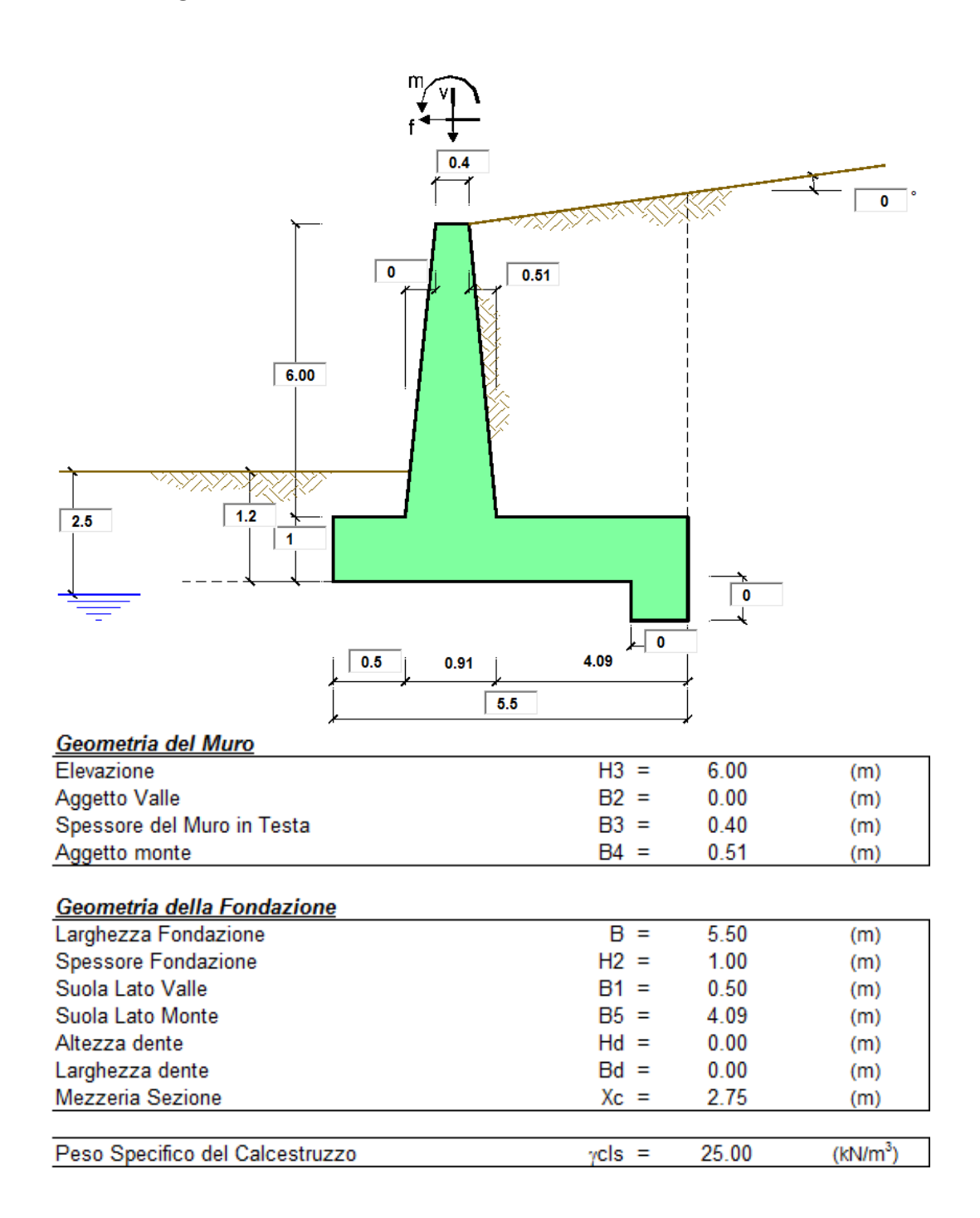
					Verifich	ie SLU
Sez.	M	N	h	Af	A'f	Mu
(-)	(kNm)	(kN)	(m)	(cm ²)	(cm ²)	(kNm)
a - a	20.00	0.00	0.60	20.11	31.42	394.45
b - b	-224.96	0.00	0.60	31.42	20.11	595.23
C - C	-78.19	0.00	0.60	31.42	20.11	595.23
d - d	254.31	68.75	0.76	31.42	20.11	812.99
e -e	178.36	48.64	0.67	31.42	20.11	694.01
f-f	131.00	31.06	0.58	31.42	20.11	577.38
g - g	102.71	16.02	0.49	31.42	20.11	462.76

Sez.	V_{Ed}	h	V_{rd}	ø staffe	i orizz.	i vert.	θ	V_{Rsd}	_
(-)	(kN)	(m)	(kN)	(mm)	(cm)	(cm)	(°)	(kN)	- -
a - a	78.29	0.60	234.90	10	20	20	21.8	907.58	Armatura a taglio non necessaria
b - b	93.31	0.60	272.58	10	20	20	21.8	907.58	Armatura a taglio non necessaria
C - C	91.45	0.60	272.58	10	20	20	21.8	907.58	Armatura a taglio non necessaria
d - d	83.04	0.76	319.29	10	20	20	21.8	1184.18	Armatura a taglio non necessaria
е -е	53.39	0.67	295.92	10	20	20	21.8	1028.59	Armatura a taglio non necessaria
f-f	32.21	0.58	271.65	10	20	20	21.8	873.01	Armatura a taglio non necessaria
g - g	19.50	0.49	246.16	10	20	20	21.8	717.42	Armatura a taglio non necessaria



11. PROGETTO E VERIFICA DEL MURO DI SOSTEGNO "TIPO 2"

11.1 DATI DI INPUT





Dati geotecnici e carichi agenti - Condizione statica e sismica

			valori cai	ratteristici	valori di Į	progetto		
Dati (Geotecnici				SLE		STR/GEO	EQU
ie	Angolo di attrito del terrapieno		(°)	φ'	35	.00	35.00	35.00
Dati Terrapien o	Peso Unità di Volume del terrapieno		(kN/m ³)	γ'	19	.00	19.00	19.00
<u>□</u>	Angolo di attrito terreno-superficie ideale		(°)	δ	0.	.00	0.00	0.00
	Condizioni			drenate	○ Non [Orenate		
2 o	Coesione Terreno di Fondazione		(kPa)	c1'	15	5.00	15.00	15.00
Dati Terreno Fondazione	Angolo di attrito del Terreno di Fondazione		(°)	φ1'	25	.00	25.00	25.00
Te Idaz	Peso Unità di Volume del Terreno di Fondazione		(kN/m³)	γ1	19	.00	19.00	19.00
Dati Fon	Peso Unità di Volume del Rinterro della Fondazione		(kN/m³)	γd	19	.00	19.00	19.00
_	Profondità "Significativa" (n.b.: consigliata H = 2*B)		(m)	Hs	14	.00		
	Modulo di deformazione		(kN/m ²)	Е	10	000		
	A I i			- 1-	0.000	()	7	
	Accelerazione sismica			a _g /g	0.096	(-)		
ō	Coefficiente Amplificazione Stratigrafico			Ss	1.5	(-)		
Ë	Coefficiente Amplificazione Topografico			S _T	1	(-)	RIBALTA	
Ö	Coefficiente di riduzione dell'accelerazione massima			β_s	0.38	(-)	β_s	0.57
Dati Sismici	Coefficiente sismico orizzontale			kh	0.05472	(-)	kh	0.08208
	Coefficiente sismico verticale			kv	0.0274	(-)	kv	0.04104
	Muro libero di traslare o ruotare			•	si 🔾	no		
					STR	/GEO	RI	В
	Coeff. di Spinta Attiva Statico	ka	0.271		0.271		0.271	
ਰ	Coeff. Di Spinta Attiva Sismica sisma +	kas+	0.300		0.300		0.315	
Coefficienti di Spinta	Coeff. Di Spinta Attiva Sismica sisma -	kas-	0.302		0.302		0.319	
Spi Spi	Coeff. Di Spinta Passiva	kp	2.464		2.464		2.464	
Ö	Coeff. Di Spinta Passiva Sismica sisma +	kps+	2.379		2.379		2.336	
	Coeff. Di Spinta Passiva Sismica sisma -	kps-	2.374		2.374		2.325	

				valori caratteristici	valori di p	rogetto
Carichi	<u>Agenti</u>			SLE - sisma	STR/GEO	EQU
=	Sovraccarico permanente	(kN/m ²)	qp	0.00	0.00	0.00
iri E	Sovraccarico su zattera di monte					
Carichi ermaner	Forza Orizzontale in Testa permanente	(kN/m)	fp	0.00	0.00	0.00
Carichi permanenti	Forza Verticale in Testa permanente	(kN/m)	vp	3.50	3.50	3.50
<u> </u>	Momento in Testa permanente	(kNm/m)	mp	0.00	0.00	0.00
	Sovraccarico Accidentale in condizioni statiche	(kN/m ²)	q	20.00	29.00	29.00
Condizioni Statiche	Forza Orizzontale in Testa accidentale in condizioni statiche	(kN/m)	f	0.00	0.00	0.00
atio	Forza Verticale in Testa accidentale in condizioni statiche	(kN/m)	V	0.00	0.00	0.00
ত্ত ফ	Momento in Testa accidentale in condizioni statiche	(kNm/m)	m	0.00	0.00	0.00
	Coefficienti di combinazione condizione frequer	ite Ψ1	1.00	condizione quasi permane	nte Ψ2	0.00
E e	Sovraccarico Accidentale in condizioni sismiche	(kN/m ²)	qs	4.00		
Condizioni Sismiche	Forza Orizzontale in Testa accidentale in condizioni sismiche	(kN/m)	fs	0.00		
ono	Forza Verticale in Testa accidentale in condizioni sismiche	(kN/m)	VS	0.00		
0 0	Momento in Testa accidentale in condizioni sismiche	(kNm/m)	ms	0.00		



<u>Dati geotecnici e carichi agenti – Condizione eccezionale con urto</u>

					valori caratt	eristici	valori di p	rogetto	
Dati (Geotecnici					SLE		STR/GEO	EQU
e C	Angolo di attrito del terrapieno		(°)		φ'	35.00)	35.00	35.00
Dati Terrapien o	Peso Unità di Volume del terrapieno		(kN/m³)		γ'	19.00)	19.00	19.00
o _	Angolo di attrito terreno-superficie ideale		(°)		δ	0.00		0.00	0.00
	Condizioni			dren	ate	O Non Drer	nate		
2 o	Coesione Terreno di Fondazione		(kPa)	С	:1'	15.00)	15.00	15.00
Dati Terreno Fondazione	Angolo di attrito del Terreno di Fondazione		(°)	φ	1'	25.00)	25.00	25.00
Te	Peso Unità di Volume del Terreno di Fondazione		(kN/m³)		γ1	19.00)	19.00	19.00
Dati	Peso Unità di Volume del Rinterro della Fondazione		(kN/m³)	,	γd	19.00)	19.00	19.00
	Profondità "Significativa" (n.b.: consigliata H = 2*B)		(m)	H	ls.	14.00)		
	Modulo di deformazione		(kN/m ²)		E	10000)		
								7	
	Accelerazione sismica			a_g	/g	0.096	(-)		
77	Coefficiente Amplificazione Stratigrafico				S_S	1.5	(-)		
Dati Sismici	Coefficiente Amplificazione Topografico				S _T	1	(-)	RIBALTA	MENTO
<u>8</u>	Coefficiente di riduzione dell'accelerazione massima			I	β_s	0.38	(-)	β_s	0.57
ati	Coefficiente sismico orizzontale			ŀ	kh	0.05472	(-)	kh	0.08208
	Coefficiente sismico verticale				kv	0.0274	(-)	kv	0.04104
	Muro libero di traslare o ruotare				⊚ si	i Ono			
						STR/GI	≣0	RI	В
	Coeff. di Spinta Attiva Statico	ka	0.271			0.271		0.271	
Coefficienti di Spinta	Coeff. Di Spinta Attiva Sismica sisma +	kas+	0.300			0.300		0.315	
fficient Spinta	Coeff. Di Spinta Attiva Sismica sisma -	kas-	0.302			0.302		0.319	
Spi	Coeff. Di Spinta Passiva	kp	2.464			2.464		2.464	
Ö	Coeff. Di Spinta Passiva Sismica sisma +	kps+	2.379			2.379		2.336	
	Coeff. Di Spinta Passiva Sismica sisma -	kps-	2.374			2.374		2.325	

				valori caratteristici	valori di p	rogetto
<u>Carichi</u>	<u>Agenti</u>			SLE - sisma	STR/GEO	EQU
=	Sovraccarico permanente	(kN/m ²)	qp	0.00	0.00	0.00
ir je	Sovraccarico su zattera di monte 💿 si 🔘 no					
Carichi	Forza Orizzontale in Testa permanente	(kN/m)	fp	0.00	0.00	0.00
Carichi permanenti	Forza Verticale in Testa permanente	(kN/m)	vp	3.50	3.50	3.50
	Momento in Testa permanente	(kNm/m)	mp	0.00	0.00	0.00
	Sovraccarico Accidentale in condizioni statiche	(kN/m ²)	q	0.00	0.00	0.00
io e	Forza Orizzontale in Testa accidentale in condizioni statiche	(kN/m)	f	10.00	14.50	14.50
Condizioni Statiche	Forza Verticale in Testa accidentale in condizioni statiche	(kN/m)	V	0.00	0.00	0.00
S &	Momento in Testa accidentale in condizioni statiche	(kNm/m)	m	10.00	14.50	14.50
	Coefficienti di combinazione condizione frequer	nte Ψ1	1.00	condizione quasi permane	nte Ψ2	0.00
E e	Sovraccarico Accidentale in condizioni sismiche	(kN/m ²)	qs	0.00		
izic	Forza Orizzontale in Testa accidentale in condizioni sismiche	(kN/m)	fs	0.00		
Condizioni Sismiche	Forza Verticale in Testa accidentale in condizioni sismiche	(kN/m)	VS	0.00		
0 0	Momento in Testa accidentale in condizioni sismiche	(kNm/m)	ms	0.00		



DIRETTRICE FERROVIARIA MESSINA – CATANIA – PALERMO NUOVO COLLEGAMENTO PALERMO – CATANIA TRATTA VALLELUNGA - CALTANISETTA XIRBI (LOTTO 3b) OPERE DI SOSTEGNO VIABILITA' – LOTTO 3B

NV52: MURO DI SOSTEGNO MU79D RELAZIONE DI CALCOLO

Calcestruzzo

LOTTO CODIFICA REV. COMMESSA DOCUMENTO RS3T 30 D 78 CL MU79D0 001

FOGLIO

86 di 119

В

CARATTERISTICHE DEI MATERIALI STRUTTURALI

classe cls	C32/40 ▼		
Rck		40	(MPa)
fck		32	(MPa)
fcm		40	(MPa)
Ec		33346	(MPa)
OLCC		0.85	
γс		1.50	
$f_{cd} = \alpha_{cc} * f_{ck} / \gamma c$		18.13	(MPa)
$f_{ctm} = 0.30*f_{ck}^{2/2}$	3	3.02	(MPa)

Tensioni limite (tensioni ammissibili)

condizioni statiche

Mpa σ_c σ_{f} 360 Mpa

condizioni sismiche

19.2 Mpa σ_c 360 Mpa σf

Valore limite di apertura delle fessure

Frequente w1 lacksquare0.2 mm w1 Quasi Permanente 0.2 mm

<u>Acciaio</u>

tipo d	i acciaio	В	3450C	
fyk =	:		450	(MPa)
γs	=		1.15	
fyd =	fyk /γs /	γE =	391.30	(MPa)
Es	=	210000	(MPa)	
εys	=	0.19%		

coefficiente omogeneizzazione acciaio n =

Copriferro (distanza asse armatura-bordo)

c = 7.50 (cm)

<u>Copriferro minimo di normativa</u> (ricoprimento armatura)

 $c_{min} = 4.50$ (cm)

Interferro tra I e II strato

5.00 (cm)

11.2 CALCOLO DELLE AZIONI

11.2.1 FORZE VERTICALI E INERZIALI

	D 7 F 1	JED'T	10011
F()	W/F	WENT	TCALL
	1	V LIXI	IVALI

- Peso del Mu	ro (Pm)		SLE	STR/GEO	EQU/RIB
Pm1 =	(B2*H3*γcls)/2	(kN/m)	0.00	0.00	0.00
Pm2 =	(B3*H3*/cls)	(kN/m)	60.00	60.00	60.00
Pm3 =	(B4*H3*γcls)/2	(kN/m)	38.25	38.25	38.25
Pm4 =	(B*H2*γcls)	(kN/m)	137.50	137.50	137.50
Pm5 =	(Bd*Hd*γcls)	(kN/m)	0.00	0.00	0.00
Pm =	Pm1 + Pm2 + Pm3 + Pm4 + Pm5	(kN/m)	235.75	235.75	235.75
- Peso del terr Pt1 = Pt2 = Pt3 = Sovr = Pt =	eno e sovr. perm. sulla scarpa di monte del muro (Pt) (B5*H3*γ') (0,5*(B4+B5)*H4*γ') (B4*H3*γ')/2 qp * (B4+B5) Pt1 + Pt2 + Pt3 + Sovr	(kN/m) (kN/m) (kN/m) (kN/m) (kN/m)	466.26 0.00 29.07 0.00 495.33	466.26 0.00 29.07 0.00 495.33	466.26 0.00 29.07 0.00 495.33
Sovr acc. Stat	accidentale sulla scarpa di monte del muro q * (B4+B5) n qs * (B4+B5)	(kN/m) (kN/m)	92 18.4	133.4	

MOMENTI DELLE FORZE VERT. RISPETTO AL PIEDE DI VALLE DEL MURO

- Muro (Mm)			SLE	STR/GEO	EQU/RIB
Mm1 = ` ′	Pm1*(B1+2/3 B2)	(kNm/m)	0.00	0.00	0.00
Mm2 =	Pm2*(B1+B2+0,5*B3)	(kNm/m)	42.00	42.00	42.00
Mm3 =	Pm3*(B1+B2+B3+1/3 B4)	(kNm/m)	40.93	40.93	40.93
Mm4 =	Pm4*(B/2)	(kNm/m)	378.13	378.13	378.13
Mm5 =	Pm5*(B - Bd/2)	(kNm/m)	0.00	0.00	0.00
Mm =	Mm1 + Mm2 + Mm3 + Mm4 + Mm5	(kNm/m)	461.05	461.05	461.05
- Terrapieno e	sovr. perm. sulla scarpa di monte del muro				
Mt1 =	Pt1*(B1+B2+B3+B4+0,5*B5)	(kNm/m)	1610.93	1610.93	1610.93
Mt2 =	Pt2*(B1+B2+B3+2/3*(B4+B5))	(kNm/m)	0.00	0.00	0.00
Mt3 =	Pt3*(B1+B2+B3+2/3*B4)	(kNm/m)	36.05	36.05	36.05
Msovr =	Sovr*(B1+B2+B3+1/2*(B4+B5))	(kNm/m)	0.00	0.00	0.00
Mt =	Mt1 + Mt2 + Mt3 + Msovr	(kNm/m)	1646.98	1646.98	1646.98
- Sovraccarico	accidentale sulla scarpa di monte del muro				
Sovr acc. Stat	*(B1+B2+B3+1/2*(B4+B5))	(kNm/m)	294.4	426.88	
Sovr acc. Sisn	n *(B1+B2+B3+1/2*(B4+B5))	(kNm/m)	58.88		



DIRETTRICE FERROVIARIA MESSINA – CATANIA – PALERMO NUOVO COLLEGAMENTO PALERMO – CATANIA TRATTA VALLELUNGA – CALTANISETTA XIRBI (LOTTO 3b) OPERE DI SOSTEGNO VIABILITA' – LOTTO 3B

NV52: MURO DI SOSTEGNO MU79D RELAZIONE DI CALCOLO
 COMMESSA
 LOTTO
 CODIFICA
 DOCUMENTO
 REV.
 FOGLIO

 RS3T
 30 D 78
 CL
 MU79D0 001
 B
 88 di 119

	MURO E DEL TERRAPIENO			
	ntale e verticale del muro (Ps)	/I-N1/>	10.00	40.25
Ps h=	Pm*kh	(kN/m)	12.90	19.35
Ps v=	Pm*kv	(kN/m)	6.45	9.68
- Inerzia orizzo	ntale e verticale del terrapieno a tergo del muro (Pt	5)		
Ptsh =	Pt*kh	(kN/m)	27.10	40.66
Ptsv =	Pt*kv	(kN/m)	13.55	20.33
- Incremento or	rizzontale di momento dovuto all'inerzia del muro (N	1Ps h)		
MPs1 h=	kh*Pm1*(H2+H3/3)	(kNm/m)	0.00	0.00
MPs2 h=	kh*Pm2*(H2 + H3/2)	(kNm/m)	13.13	19.70
MPs3 h=	kh*Pm3*(H2+H3/3)	(kNm/m)	6.28	9.42
MPs4 h=	kh*Pm4*(H2/2)	(kNm/m)	3.76	5.64
MPs5 h=	-kh*Pm5*(Hd/2)	(kNm/m)	0.00	0.00
MPs h=	MPs1+MPs2+MPs3+MPs4+MPs5	(kNm/m)	23.17	34.76
- Incremento ve	erticale di momento dovuto all'inerzia del muro (MPs	s v)		
MPs1 v=	kv*Pm1*(B1+2/3*B2)	(kNm/m)	0.00	0.00
MPs2 v=	kv*Pm2*(B1+B2+B3/2)	(kNm/m)	1.15	1.72
MPs3 v=	kv*Pm3*(B1+B2+B3+B4/3)	(kNm/m)	1.12	1.68
MPs4 v=	kv*Pm4*(B/2)	(kNm/m)	10.35	15.52
MPs5 v=	kv*Pm5*(B-Bd/2)	(kNm/m)	0.00	0.00
MPs v=	MPs1+MPs2+MPs3+MPs4+MPs5	(kNm/m)	12.61	18.92
- Incremento o	rizzontale di momento dovuto all'inerzia del terrapie	no (MPts h)		
MPts1 h=	kh*Pt1*(H2 + H3/2)	(kNm/m)	102.05	153.08
MPts2 h=	kh*Pt2*(H2 + H3 + H4/3)	(kNm/m)	0.00	0.00
MPts3 h=	kh*Pt3*(H2+H3*2/3)	(kNm/m)	7.95	11.93
MPts h=	MPts1 + MPts2 + MPts3	(kNm/m)	110.01	165.01
- Incremento ve	erticale di momento dovuto all'inerzia del terrapieno	(MPts v)		
MPts1 v=	kv*Pt1*((H2 + H3/2) - (B - B5/2)*0.5)	(kNm/m)	44.07	66.11
MPts2 v=	kv*Pt2*((H2 + H3 + H4/3) - (B - B5/3)*0.5)	(kNm/m)	0.00	0.00
MPts3 v=	kv*Pt3*((H2+H3*2/3)-(B1+B2+B3+2/3*B4)*0.5)	(kNm/m)	1.32	1.99
MPts v=	MPts1 + MPts2 + MPts3	(kNm/m)	45.40	68.10



DIRETTRICE FERROVIARIA MESSINA – CATANIA – PALERMO NUOVO COLLEGAMENTO PALERMO – CATANIA TRATTA VALLELUNGA – CALTANISETTA XIRBI (LOTTO 3b) OPERE DI SOSTEGNO VIABILITA' – LOTTO 3B

NV52: MURO DI SOSTEGNO MU79D RELAZIONE DI CALCOLO
 COMMESSA
 LOTTO
 CODIFICA
 DOCUMENTO
 REV.
 FOGLIO

 RS3T
 30 D 78
 CL
 MU79D0 001
 B
 89 di 119

11.2.2 SPINTE IN CONDIZIONE STATICA

	TERRENO E DEL SOVRACCARICO condizione statica		SLE	STR/GEO	EQU/RIB		
St =	0,5*y'*(H2+H3+H4+Hd)2*ka	(kN/m)	126.15	163.99	163.99		
Sq perm =	q*(H2+H3+H4+Hd)*ka	(kN/m)	0.00	0.00	0.00		
Sq acc =	q*(H2+H3+H4+Hd)*ka	(kN/m)	37.94	55.01	55.01		
- Componente	orizzontale condizione statica						
Sth =	St*cos8	(kN/m)	126.15	163.99	163.99		
Sqh perm =	Sq perm*cosδ	(kN/m)	0.00	0.00	0.00		
Sqh acc =	Sq acc*cos8	(kN/m)	37.94	55.01	55.01		
- Componente	verticale condizione statica						
Stv =	St*sen8	(kN/m)	0.00	0.00	0.00		
Sqv perm=	Sq perm*sen8	(kN/m)	0.00	0.00	0.00		
Sqv acc =	Sq acc*sen8	(kN/m)	0.00	0.00	0.00		
- Spinta passi	- Spinta passiva sul dente						
$Sp = \frac{1}{2} g 1'' + H d 2'' \frac{1}{2} \gamma_1'' + H d^2 k p + (2 c_1'' k p^{0.5} + \gamma 1'' k p'' H 2')' + H d \qquad (kN/m) \qquad 0.00 \qquad 0.00 \qquad 0.00$							

MOMENTI DE	LLA SPINTA DEL TERRENO E DEL SOVRACCA	RICO	SLE	STR/GEO	EQU/RIB
MSt1 =	Sth*((H2+H3+H4+Hd)/3-Hd)	(kNm/m)	294.34	382.64	382.64
MSt2 =	Stv*B	(kNm/m)	0.00	0.00	0.00
MSq1 perm=	Sqh perm*((H2+H3+H4+Hd)/2-Hd)	(kNm/m)	0.00	0.00	0.00
MSq1 acc =	Sqh acc*((H2+H3+H4+Hd)/2-Hd)	(kNm/m)	132.79	192.54	192.54
MSq2 perm=	Sqv perm*B	(kNm/m)	0.00	0.00	0.00
MSq2 acc =	Sqv acc*B	(kNm/m)	0.00	0.00	0.00
MSp = γ1'*l	ld ³ *kp/3+(2*c1'*kp ^{0.5} +γ1'*kp*H2')*Hd ² /2	(kNm/m)	0.00	0.00	0.00
MOMENTI DO	VUTI ALLE FORZE ESTERNE				
Mfext1 =	mp + m	(kNm/m)	0.00	0.00	0.00
Mfext2 =	(fp + f)*(H3 + H2)	(kNm/m)	0.00	0.00	0.00
Mfext3 =	(vp+v)*(B1 +B2 + B3/2)	(kNm/m)	2.45	2.45	2.45



11.2.3 SPINTE IN CONDIZIONE SISMICA +

SPINTE DEL 7	TERRENO E DEL SOVRACCARICO		SLE	STR/GEO	EQU/RIB
	0,5*γ'*(H2+H3+H4+Hd)²*ka	(kN/m)	126.15	126.15	126.15
	0,5*y'*(1+kv)*(H2+H3+H4+Hd)²*kas+-Sst1 stat	(kN/m)	17.33	17.33	26.46
Ssq1 perm=	qp*(H2+H3+H4+Hd)*kas ⁺	(kN/m)	0.00	0.00	0.00
Ssq1 acc =	qs*(H2+H3+H4+Hd)*kas ⁺	(kN/m)	8.40	8.40	8.82
- Componente	orizzontale condizione sismica +				
Sst1h stat =	Sst1 stat*cosô	(kN/m)	126.15	126.15	126.15
Sst1h sism =	Sst1 sism*cos8	(kN/m)	17.33	17.33	26.46
Ssq1h perm=	Ssq1 perm*cos8	(kN/m)	0.00	0.00	0.00
Ssq1h acc=	Ssq1 acc*cos∂	(kN/m)	8.40	8.40	8.82
	verticale condizione sismica +				
	Sst1 stat*senô	(kN/m)	0.00	0.00	0.00
	Sst1 sism*sen8	(kN/m)	0.00	0.00	0.00
Ssq1v perm=	Ssq1 perm*sen8	(kN/m)	0.00	0.00	0.00
Ssq1v acc=	Ssq1 acc*sen8	(kN/m)	0.00	0.00	0.00
- Spinta passiv	a sul dente				
Sp=½*γ ₁ '(1+kv)	Hd ² *kps ⁺ +(2*c ₁ '*kps ^{+0.5} + _γ 1' (1+kv) kps ^{+*} H2')*Hd	(kN/m)	0.00	0.00	0.00
		_			
MOMENTI DE - Condizione si	LLA SPINTA DEL TERRENO E DEL SOVRACCARI smica +	co	SLE	STR/GEO	EQU/RIB
MSst1 stat =	Sst1h stat * ((H2+H3+H4+hd)/3-hd)	(kNm/m)	294.34	294.34	294.34
MSst1 sism=	Sst1h sism* ((H2+H3+H4+Hd)/3-Hd)	(kNm/m)	40.43	40.43	61.74
MSst2 stat =	Sst1v stat* B	(kNm/m)	0.00	0.00	0.00
MSst2 sism =	Sst1v sism* B	(kNm/m)	0.00	0.00	0.00
MSsq1 =	Ssq1h * ((H2+H3+H4+Hd)/2-Hd)	(kNm/m)	29.40	29.40	30.86
MSsq2 =	Ssq1v * B	(kNm/m)	0.00	0.00	0.00
MSp =	γ ₁ '*Hd ³ *kps ⁺ /3+(2*c1'*kps ^{+0.5} +γ1'*kps ^{+*} H2')*Hd ² /2	(kNm/m)	0.00	0.00	0.00
	VUTI ALLE FORZE ESTERNE				
Mfext1 =	mp+ms	(kNm/m)		0.00	
Mfext2 =	(fp+fs)*(H3 + H2)	(kNm/m)		0.00	
Mfext3 =	(vp+vs)*(B1 +B2 + B3/2)	(kNm/m)		2.45	



11.2.4 SPINTE IN CONDIZIONE SISMICA -

SPINTE DEL 7	TERRENO E DEL SOVRACCARICO		SLE	STR/GEO	EQU/RIB
	0,5*γ'*(H2+H3+H4+Hd)²*ka	(kN/m)	126.15	126.15	126.15
	0,5*γ'*(1-kv)*(H2+H3+H4+Hd)²*kas⁻-Sst1 stat	(kN/m)	10.46	10.46	16.23
Ssq1 perm=	qp*(H2+H3+H4+Hd)*kas	(kN/m)	0.00	0.00	0.00
Ssq1 acc =	qs*(H2+H3+H4+Hd)*kas ⁻	(kN/m)	8.45	8.45	8.93
	orizzontale condizione sismica -				
Sst1h stat =	Sst1 stat*cosô	(kN/m)	126.15	126.15	126.15
	Sst1 sism*cosô	(kN/m)	10.46	10.46	16.23
Ssq1h perm=	Ssq1 perm*cos8	(kN/m)	0.00	0.00	0.00
Ssq1h acc=	Ssq1 acc*cos8	(kN/m)	8.45	8.45	8.93
	verticale condizione sismica -				
	Sst1 stat*senô	(kN/m)	0.00	0.00	0.00
	Sst1 sism*sen8	(kN/m)	0.00	0.00	0.00
Ssq1v perm=	Ssq1 perm*sen8	(kN/m)	0.00	0.00	0.00
Ssq1v acc=	Ssq1 acc*sen8	(kN/m)	0.00	0.00	0.00
- Spinta passiv					
Sp=½*γ ₁ '(1-kv)	Hd ² *kps¯+(2*c ₁ '*kps¯ ^{0.5} +γ1' (1-kv) kps¯*H2')*Hd	(kN/m)	0.00	0.00	0.00
		_			
- Condizione si	LLA SPINTA DEL TERRENO E DEL SOVRACCARI smica -	co	SLE	STR/GEO	EQU/RIB
MSst1 stat =	Sst1h stat * ((H2+H3+H4+hd)/3-hd)	(kNm/m)	294.34	294.34	294.34
MSst1 sism=	Sst1h sism* ((H2+H3+H4+Hd)/3-Hd)	(kNm/m)	24.41	24.41	37.88
MSst2 stat =	Sst1v stat* B	(kNm/m)	0.00	0.00	0.00
MSst2 sism =	Sst1v sism* B	(kNm/m)	0.00	0.00	0.00
MSsq1 =	Ssq1h * ((H2+H3+H4+Hd)/2-Hd)	(kNm/m)	29.57	29.57	31.26
MSsq2 =	Ssq1v * B	(kNm/m)	0.00	0.00	0.00
MSp =	_{γ1} '*Hd ³ *kps ⁺ /3+(2*c1'*kps ^{+0.5} + _γ 1'*kps ^{+*} H2')*Hd ² /2	(kNm/m)	0.00	0.00	0.00
	VUTI ALLE FORZE ESTERNE				
Mfext1 =	mp+ms	(kNm/m)		0.00	
Mfext2 =	(fp+fs)*(H3 + H2)	(kNm/m)		0.00	
Mfext3 =	(vp+vs)*(B1 +B2 + B3/2)	(kNm/m)		2.45	



11.2.5 SPINTE IN PRESENZA DI URTO

	TERRENO E DEL SOVRACCARICO condizione statica		SLE	STR/GEO	EQU/RIB
St =	0,5* ₇ '*(H2+H3+H4+Hd)²*ka	(kN/m)	126.15	163.99	163.99
Sq perm =	q*(H2+H3+H4+Hd)*ka	(kN/m)	0.00	0.00	0.00
Sq acc =	q*(H2+H3+H4+Hd)*ka	(kN/m)	0.00	0.00	0.00
- Componente	orizzontale condizione statica				
Sth =	St*cos8	(kN/m)	126.15	163.99	163.99
Sqh perm =	Sq perm*cos8	(kN/m)	0.00	0.00	0.00
Sqh acc =	Sq acc*cos8	(kN/m)	0.00	0.00	0.00
- Componente	verticale condizione statica				
Stv =	St*sen8	(kN/m)	0.00	0.00	0.00
Sqv perm=	Sq perm*sen8	(kN/m)	0.00	0.00	0.00
Sqv acc =	Sq acc*sen₀	(kN/m)	0.00	0.00	0.00
- Spinta passi	va sul dente				
Sp=1/2*g1'*Hd2	^{2*} ½* _{γ1} '*Hd ² *kp+(2*c ₁ '*kp ^{0.5} + _γ 1'*kp*H2')*Hd	(kN/m)	0.00	0.00	0.00

MOMENTI DE	LLA SPINTA DEL TERRENO E DEL SOVRACCARI	co	SLE	STR/GEO	EQU/RIB
MSt1 =	Sth*((H2+H3+H4+Hd)/3-Hd)	(kNm/m)	294.34	382.64	382.64
MSt2 =	Stv*B	(kNm/m)	0.00	0.00	0.00
MSq1 perm=	Sqh perm*((H2+H3+H4+Hd)/2-Hd)	(kNm/m)	0.00	0.00	0.00
MSq1 acc =	Sqh acc*((H2+H3+H4+Hd)/2-Hd)	(kNm/m)	0.00	0.00	0.00
MSq2 perm=	Sqv perm*B	(kNm/m)	0.00	0.00	0.00
MSq2 acc =	Sqv acc*B	(kNm/m)	0.00	0.00	0.00
MSp = γ1'*l	Hd ³ *kp/3+(2*c1'*kp ^{0.5} +γ1'*kp*H2')*Hd ² /2	(kNm/m)	0.00	0.00	0.00
MOMENTI DO					
Mfext1 =	mp + m	(kNm/m)	10.00	14.50	14.50
Mfext2 =	(fp + f)*(H3 + H2)	(kNm/m)	70.00	101.50	101.50
Mfext3 =	(vp+v)*(B1 +B2 + B3/2)	(kNm/m)	2.45	2.45	2.45

GRUPPO FERROVIE DELLO STATO ITALIANE	DIRETTRICE FERROVIARIA MESSINA – CATANIA – PALERMO NUOVO COLLEGAMENTO PALERMO – CATANIA TRATTA VALLELUNGA – CALTANISETTA XIRBI (LOTTO 3b) OPERE DI SOSTEGNO VIABILITA' – LOTTO 3B					
NV52: MURO DI SOSTEGNO MU79D RELAZIONE DI CALCOLO	COMMESSA RS3T	LOTTO 30 D 78	CODIFICA	DOCUMENTO MU79D0 001	REV.	FOGLIO 93 di 119

11.3 VERIFICHE GEOTECNICHE

11.3.1 VERIFICA STATICA A RIBALTAMENTO, SCORRIMENTO E CARICO LIMITE VERTICALE - C. DRENATE

VERIFICA ALLO SCORRIMENTO (STR/GEO)

Risultante forze orizzontali (T)

MM =

 ΣM

Xc*N - MM

Sth + Sqh + f - Sp

Risultante dei momenti rispetto al piede di valle (MM)

Momento rispetto al baricentro della fondazione (M)

Risu N	ltante forz =	e verticali (N) Pm + Pt + v + Stv + Sqv perm + Sqv acc	734.58	(kN/m)	
Risu T	ltante forz =	e orizzontali (T) Sth + Sqh + f	219.00	(kN/m)	
Coef f	ficiente di =	attrito alla base (f) tgφ1'	0.47	(-)	
Fs	scorr.	(N*f + Sp) / T	1.56	>	1.1
VER	RIFICA AI	RIBALTAMENTO			
Mom Ms		ilizzante (Ms) Mm + Mt + Mfext3	2110.48	(kNm/m)	
Mom Mr	ento ribali =	ante (Mr) MSt + MSq + Mfext1+ Mfext2 + MSp	575.18	(kNm/m)	
Fs	ribaltar	mento Ms / Mr	3.67	>	1.15
VER	RIFICA C	ARICO LIMITE DELLA FONDAZIONE (STR/GEO)			
Risu N	ltante forz =	e verticali (N) Pm + Pt + v + Stv + Sqv (+ Sovr acc)	Nmin 734.58		(kN/m)

219.00

1535.30

484.80

219.00

1962.18 (kNm/m)

424.77 (kNm/m)

(kN/m)



Formula Generale per il Calcolo del Carico Limite Unitrario (Brinch-Hansen, 1970)

Fondazione Nastriforme

FS carico li	mite	F = qlim*B*/ N	Nmin	2.54	>	1.4
qlim	(carico limite	unitario)		447.09	462.38	(kN/m ²)
(fondazione nas	striforme m = 2)				
$i\gamma = (1 - T/(N +$	B*c'cotgφ')) ^{m+1}			0.42	0.42	(-)
iq = (1 - T/(N + ic = iq - (1 - iq)/(N + ic = iq - (1 - iq)/(N +	0.77	(1 in cond. nd)		0.56 0.51	0.61 0.51	(-) (-)
		valutati con le espressioni suggerite	da Vesic (1975)			
$N_{\gamma} = 2*(Nq + 1)$)*tg(φ')	(0 in cond. nd)		10.88		(-)
Nc = (Nq - 1)/tg	g(φ')	(2+π in cond. nd)		20.72		(-)
$Nq = tg^2(45 + \varphi)$	p'/2)*e ^{(π*tg(φ'))}	(1 in cond. nd)		10.66		(-)
I valori di Nc, N	lq e Ng sono st	ati valutati con le espressioni sugger	ite da Vesic (19	75)		
B*= B - 2e	larghezza eq	uivalente		4.18	4.52	(m)
e = M / N	eccentricità			0.66	0.49	(m)
$q_0 = \gamma d^*H2'$	sovraccarico	stabilizzante		22.80		(kN/m ²)
γ1	_	volume terreno fondaz.		15.91		(kN/m ³)
c1' φ1'	coesione terre	eno di fondaz. to terreno di fondaz.		15.00 25.00		(kPa) (°)
qlim = c'Nc*ic	: + q ₀ *Nq*iq + (),5*γ1*B*Nγ*iγ				

2.41

Nmax

GRUPPO FERROVIE DELLO STATO ITALIANE	DIRETTRICE FERROVIARIA MESSINA – CATANIA – PALERMO NUOVO COLLEGAMENTO PALERMO – CATANIA TRATTA VALLELUNGA – CALTANISETTA XIRBI (LOTTO 3b) OPERE DI SOSTEGNO VIABILITA' – LOTTO 3B					0
NV52: MURO DI SOSTEGNO MU79D RELAZIONE DI CALCOLO	COMMESSA RS3T	LOTTO 30 D 78	CODIFICA	DOCUMENTO MU79D0 001	REV.	FOGLIO 95 di 119

11.3.2 VERIFICA SISMICA A RIBALTAMENTO, SCORRIMENTO E CARICO LIMITE VERTICALE - C. DRENATE

Condizione sismica +

VERIFICA ALLO SCORRIMENTO

Risult N	tante forz	e verticali (N) Pm+ Pt + vp + vs + Sst1v + Ssq1v + Ps v + Ptsv	754.58	(kN/m)			
		e orizzontali (T)	734.50	(KIVIII)			
	=	Sst1h + Ssq1h + fp + fs +Ps h + Ptsh	191.88	(kN/m)			
Coeffi f	iciente di =	attrito alla base (f) tgφ1'	0.47	(-)			
Fs	=	(N*f + Sp) / T	1.83	>	1		
VER	IFICA AL	RIBALTAMENTO					
		lizzante (Ms) Mm + Mt + Mfext3	2110.48	(kNm/m)			
Mom Mr	ento ribalt =	ante (Mr) MSst+MSsq+Mfext1+Mfext2+MSp+MPs+Mpts	499.69	(kNm/m)			
Fr	=	Ms / Mr	4.22	>	1		
VER	VERIFICA A CARICO LIMITE DELLA FONDAZIONE						

Risultante forze verticali (N)	Nmin	Nmax	
N = Pm + Pt + vp + vs + Sst1v + Ssq1v + Ps v + Ptsv + (Sovr acc)	754.58	772.98	(kN/m)
Risultante forze orizzontali (T)			
T = Sst1h + Ssq1h + fp + fs +Ps h + Ptsh - Sp	191.88		(kN/m)
			, ,
Risultante dei momenti rispetto al piede di valle (MM)			
$MM = \Sigma M$	1671.14	1730.02	(kNm/m)
Momento rispetto al baricentro della fondazione (M)			
M = Xc*N - MM	403.96	395.68	(kNm/m)



Formula Generale per il Calcolo del Carico Limite Unitrario (Brinch-Hansen, 1970)

Fondazione Nastriforme

FS carico li		Nmin	3.03	>	1.2
qlim	(carico limite unitario)		516.16	522.68	(kN/m ²)
(fondazione nas	striforme m = 2)				
$i\gamma = (1 - T/(N +$			0.49	0.49	(-)
iq = (1 - T/(N + ic = iq - (1 - iq)/	0177		0.62 0.58	0.63 0.59	(-) (-)
l valori di ic, iq	e iγ sono stati valutati con le espressioni suggerite da	Vesic (1975)			
$N_{\gamma} = 2*(Nq + 1)$			10.88		(-) (-)
Nq = tg ² (45 + q Nc = (Nq - 1)/tg			10.66 20.72		(-)
I valori di Nc, N	q e Ng sono stati valutati con le espressioni suggerite	da Vesic (197	5)		
B*= B - 2e	larghezza equivalente		4.43	4.48	(m)
e = M / N	eccentricità		0.54	0.51	(m)
$q_0 = \gamma d^*H2'$	sovraccarico stabilizzante		22.80		(kN/m ²)
φ1′ γ1	angolo di attrito terreno di fondaz. peso unità di volume terreno fondaz.		25.00 15.91		(°) (kN/m³)
c1'	coesione terreno di fondaz.		15.00		(kN/mq)
4	40qq 5,5 /1				

3.03 >

Nmax

GRUPPO FERROVIE DELLO STATO ITALIANE	DIRETTRICE FERROVIARIA MESSINA – CATANIA – PALERMO NUOVO COLLEGAMENTO PALERMO – CATANIA TRATTA VALLELUNGA – CALTANISETTA XIRBI (LOTTO 3b) OPERE DI SOSTEGNO VIABILITA' – LOTTO 3B					0
NV52: MURO DI SOSTEGNO MU79D RELAZIONE DI CALCOLO	COMMESSA RS3T	LOTTO 30 D 78	CODIFICA CL	DOCUMENTO MU79D0 001	REV.	FOGLIO 97 di 119

Condizione sismica -

VERIFICA ALLO SCORRIMENTO

V LIX	VERTIFICA ACCO SCORRIMENTO								
Risult N	ante forzo	e verticali (N) Pm+ Pt + vp + vs + Sst1v + Ssq1v + Ps v + Ptsv	714.58	(kN/m)					
Risult T	ante forz	e orizzontali (T) Sst1h + Ssq1h + fp + fs +Ps h + Ptsh	185.06	(kN/m)					
Coeffi f	ciente di =	attrito alla base (f) tgφ1'	0.47	(-)					
Fs	=	(N*f + Sp) / T	1.80	>	1				
VER	VERIFICA AL RIBALTAMENTO								
Mome Ms	ento stabi =	lizzante (Ms) Mm + Mt + Mfext3	2110.48	(kNm/m)					
Mome Mr	ento ribalt =	ante (Mr) MSst+MSsq+Mfext1+Mfext2+MSp+MPs+Mpts	650.27	(kNm/m)					
Fr	=	Ms / Mr	3.25	>	1				
VERIFICA A CARICO LIMITE DELLA FONDAZIONE									
Risult N	ante forze	e verticali (N) Pm+ Pt + vp + vs + Sst1v + Ssq1v + Ps v + Ptsv	Nmin 714.58	Nmax 732.98	(kN/m)				

N = Pm+ Pt + vp + vs + Sst1v + Ssq1v + Ps v + Ptsv	714.58	732.98	(kN/m)
Risultante forze orizzontali (T) T = Sst1h + Ssq1h + fp + fs +Ps h + Ptsh - Sp	185.06		(kN/m)
Risultante dei momenti rispetto al piede di valle (MM) MM = Σ M	1570.97	1629.85	(kNm/m)
Momento rispetto al baricentro della fondazione (M) M = Xc*N - MM	394.12	385.84	(kNm/m)



DIRETTRICE FERROVIARIA MESSINA – CATANIA – PALERMO NUOVO COLLEGAMENTO PALERMO – CATANIA TRATTA VALLELUNGA – CALTANISETTA XIRBI (LOTTO 3b) OPERE DI SOSTEGNO VIABILITA' – LOTTO 3B

NV52: MURO DI SOSTEGNO MU79D RELAZIONE DI CALCOLO
 COMMESSA
 LOTTO
 CODIFICA
 DOCUMENTO
 REV.
 FOGLIO

 RS3T
 30 D 78
 CL
 MU79D0 001
 B
 98 di 119

3.14

3.14

1.2

Nmin

Nmax

Formula Generale per il Calcolo del Carico Limite Unitrario (Brinch-Hansen, 1970)

F = qlim*B*/N

Fondazione Nastriforme

FS carico limite

qlim = c'Nc*ic + q_0 *Nq*iq + 0,5* γ 1*B*N γ *i γ

		40 - 4 - 4				
	c1' φ1' γ1	coesione terreno di fondaz. angolo di attrito terreno di fondaz. peso unità di volume terreno fondaz.	15.00 25.00 15.91		(kN/mq) (°) (kN/m³)	
	$q_0 = \gamma d^*H2'$	sovraccarico stabilizzante	22.80		(kN/m ²)	
	e = M / N B*= B - 2e	eccentricità larghezza equivalente	0.55 4.40	0.53 4.45	(m) (m)	
I valori di Nc, Nq e Ng sono stati valutati con le espressioni suggerite da Vesic (1975)						
	$Nq = tg^{2}(45 + \varphi Nc = (Nq - 1)/tg N\gamma = 2*(Nq + 1)$	(φ') (2+π in cond. nd)	10.66 20.72 10.88		(-) (-) (-)	
l valori di ic, iq e i γ sono stati valutati con le espressioni suggerite da Vesic (1975)						
	$iq = (1 - T/(N + ic = iq - (1 - iq)/i\gamma = (1 - T/(N + iq)/iq = (1 - T/($		0.61 0.57 0.48	0.62 0.58 0.48	(-) (-)	
(fondazione nastriforme m = 2)						
	qlim	(carico limite unitario)	511.08	518.01	(kN/m ²)	

11.3.3 VERIFICA STATICA A RIBALTAMENTO, SCORRIMENTO E CARICO LIMITE VERTICALE - C. NON DRENATE

VERIFICA ALLO SCORRIMENTO (STR/GEO)

		· · · · · · · · · · · · · · · · · · ·			
Risu N	ltante forz =	e verticali (N) Pm + Pt + v + Stv + Sqv perm + Sqv acc	734.58	(kN/m)	
	ltante forz =	e orizzontali (T) Sth + Sqh + f	219.00	(kN/m)	
	ficiente di =	attrito alla base (f) tgφ1'	0.47	(-)	
Fs	scorr.	(N*f + Sp) / T	1.56	>	1.1
VEF	RIFICA AI	. RIBALTAMENTO			
Mon Ms		lizzante (Ms) Mm + Mt + Mfext3	2110.48	(kNm/m)	
Mon Mr	nento ribali =	ante (Mr) MSt + MSq + Mfext1+ Mfext2 + MSp	575.18	(kNm/m)	
Fs	ribaltar	nento Ms / Mr	3.67	>	1.15
VEF	RIFICA C	ARICO LIMITE DELLA FONDAZIONE (STR/GEO)			
Risu	Itante forz	e verticali (N)	Nmin	Nmax	

Risultante forze verticali (N)	Nmin	Nmax			
N = Pm + Pt + v + Stv + Sqv (+ Sovr acc)	734.58	867.98	(kN/m)		
Risultante forze orizzontali (T)					
	240.00	240.00	(leN1/ma)		
T = Sth + Sqh + f - Sp	219.00	219.00	(kN/m)		
Risultante dei momenti rispetto al piede di valle (MM)					
$MM = \Sigma M$	1535.30	1962.18	(kNm/m)		
Momento rispetto al baricentro della fondazione (M)					
M = Xc*N - MM	484.80	424.77	(kNm/m)		



Formula Generale per il Calcolo del Carico Limite Unitrario (Brinch-Hansen, 1970)

Fondazione Nastriforme

$qlim = c'Nc*ic + q_0*Nq*iq + 0,5*\gamma1*B*N\gamma*i\gamma$							
cu	res. al taglio nd te	rreno di fondaz.		75.00		(kPa)	
71	peso unità di volur	ne terreno fondaz.		19.00		(kN/m ³)	
$q_0 = \gamma d^*H2'$	sovraccarico stab	ilizzante		22.80		(kN/m ²)	
e = M / N eccentricità B*= B - 2e larghezza equivalente			0.66 4.18	0.49 4.52	(m) (m)		
I valori di Nc, N	lq e Ng sono stati v	alutati con le espressioni sugo	gerite da Vesic (19	75)			
$Nq = tg^{2}(45 + c)$ $Nc = (Nq - 1)/t$ $N_{\gamma} = 2*(Nq + 1)$	g(φ') (2+	n cond. nd) π in cond. nd) cond. nd)		1.00 5.14 0.00		(-) (-) (-)	
l valori di ic, iq	e iγ sono stati valut	ati con le espressioni suggeri	te da Vesic (1975)				
$iq = (1 - T/(N + B*c'cotg\phi'))^m$ (1 in cond. nd) ic = (1 - m T / (B*cu*Nc)) $i\gamma = (1 - T/(N + B*c'cotg\phi'))^{m+1}$			1.00 0.73	1.00 0.75	(-) (-) (-)		
(fondazione nastriforme m = 2)							
qlim	(carico limite unita	rio)		303.64	311.54	(kN/m ²)	
FS carico li	::	Nmin	1.73	>	1.4		
r o carico il	iiiite	F = qlim*B*/ N	Nmax	1.62	>	1.4	

GRUPPO FERROVIE DELLO STATO ITALIANE	DIRETTRICE FERROVIARIA MESSINA – CATANIA – PALE NUOVO COLLEGAMENTO PALERMO – CATANIA TRATTA VALLELUNGA – CALTANISETTA XIRBI (LOTTO 3 OPERE DI SOSTEGNO VIABILITA' – LOTTO 3B					
NV52: MURO DI SOSTEGNO MU79D RELAZIONE DI CALCOLO	COMMESSA RS3T	LOTTO 30 D 78	CODIFICA	DOCUMENTO MU79D0 001	REV.	FOGLIO 101 di 119

11.3.4 VERIFICA SISMICA A RIBALTAMENTO, SCORRIMENTO E CARICO LIMITE VERTICALE - C. DRENATE

Condizione sismica +

VERIFICA ALLO SCORRIMENTO

Risul N	tante forz	e verticali (N) Pm+ Pt + vp + vs + Sst1v + Ssq1v + Ps v + Ptsv	754.58	(kN/m)				
		·	701.00	(,				
Risul T	tante forz =	e orizzontali (T) Sst1h + Ssq1h + fp + fs +Ps h + Ptsh	191.88	(kN/m)				
Coeff f	ficiente di =	attrito alla base (f) tgφ1'	0.47	(-)				
Fs	=	(N*f + Sp) / T	1.83	>	1			
VER	VERIFICA AL RIBALTAMENTO							
Mom Ms		ilizzante (Ms) Mm + Mt + Mfext3	2110.48	(kNm/m)				
Mom	ento ribali	tante (Mr)						
Mr	=	MSst+MSsq+Mfext1+Mfext2+MSp+MPs+Mpts	499.69	(kNm/m)				
Fr	=	Ms / Mr	4.22	>	1			
VER	RIFICA A	CARICO LIMITE DELLA FONDAZIONE						
Risul	tante forz	e verticali (N)	Nmin	Nmax				

Risultante forze verticali (N) N = Pm+ Pt + vp + vs + Sst1v + Ssq1v + Ps v + Ptsv + (Sovr acc)	Nmin 754.58	Nmax 772.98	(kN/m)
1 - FIII+ FL + Vp + VS + 35L IV + 354 IV + FS V + FLSV + (30VI acc)	104.00	112.30	(KIV/III)
Risultante forze orizzontali (T)			
T = Sst1h + Ssq1h + fp + fs + Ps h + Ptsh - Sp	191.88		(kN/m)
Risultante dei momenti rispetto al piede di valle (MM)			
$MM = \Sigma M$	1671.14	1730.02	(kNm/m)
Momento rispetto al baricentro della fondazione (M)			
M = Xc*N - MM	403.96	395.68	(kNm/m)



Formula Generale per il Calcolo del Carico Limite Unitrario (Brinch-Hansen, 1970)

Fondazione Nastriforme

FS carico li	mite F = qlim	*B*/ N	Nmin Nmax	1.89 1.87	>	1.2
qlim	(carico limite unitario)			321.78	322.69	(kN/m ²)
(fondazione nastriforme m = 2)						
iq = (1 - T/(N + ic = (1 - m)T / (ic = (1 - m)T / (ic = (1 - T/(N + ic =	B* cu*Nc))			1.00 0.78	1.00 0.78	(-) (-)
I valori di ic, iq e iγ sono stati valutati con le espressioni suggerite da Vesic (1975)						
Nq = $tg^2(45 + c)$ Nc = (Nq - 1)/ t_1 N γ = 2*(Nq + 1	$p(\varphi')$ (2+ π in cond. nd)			1.00 5.14 0.00		(-) (-) (-)
l valori di Nc, Nq e Ng sono stati valutati con le espressioni suggerite da Vesic (1975)						
e = M / N B*= B - 2e	eccentricità larghezza equivalente			0.54 4.43	0.51 4.48	(m) (m)
$q_0 = \gamma d^*H2'$	sovraccarico stabilizzante			22.80		(kN/m ²)
71	peso unità di volume terreno fon	daz.		19.00		(kN/m ³)
cu	res. al taglio nd terreno di fondaz	Z.		75.00		(kN/mq)
$q_1 m = c Nc^{-1}c + q_0^{-1}Nq^{-1}q + v_1 + v_2^{-1}y^{-1}$						

GRUPPO FERROVIE DELLO STATO ITALIANE	NUOVO COI TRATTA VA	LEGAME	NTO PALERI	NA – CATANIA – 10 – CATANIA SETTA XIRBI (LO – LOTTO 3B		
NV52: MURO DI SOSTEGNO MU79D RELAZIONE DI CALCOLO	COMMESSA RS3T	LOTTO 30 D 78	CODIFICA CL	DOCUMENTO MU79D0 001	REV.	FOGLIO 103 di 119

Condizione sismica -

VERIFICA ALLO SCORRIMENTO

Momento rispetto al baricentro della fondazione (M)

M = Xc*N - MM

Risul	tante forz	e verticali (N)			
N	=	Pm+ Pt + vp + vs + Sst1v + Ssq1v + Ps v + Ptsv	714.58	(kN/m)	
Risul T	tante forz =	e orizzontali (T) Sst1h + Ssq1h + fp + fs +Ps h + Ptsh	185.06	(kN/m)	
		·	103.00	(KIVIII)	
f Coeff	iciente di =	attrito alla base (f) tgφ1'	0.47	(-)	
Fs	=	(N*f + Sp) / T	1.80	>	1
VER	IFICA AL	RIBALTAMENTO			
Mom Ms	ento stab	ilizzante (Ms) Mm + Mt + Mfext3	2110.48	(kNm/m)	
Mom	ento ribali	cante (Mr)			
Mr	=	MSst+MSsq+Mfext1+Mfext2+MSp+MPs+Mpts	650.27	(kNm/m)	
Fr	=	Ms / Mr	3.25	>	1
VER	IFICA A	CARICO LIMITE DELLA FONDAZIONE			
Risul N	tante forz =	e verticali (N) Pm+ Pt + vp + vs + Sst1v + Ssq1v + Ps v + Ptsv	Nmin 714.58	Nmax 732.98	(kN/m)
Risul T	tante forz =	e orizzontali (T) Sst1h + Ssq1h + fp + fs +Ps h + Ptsh - Sp	185.	.06	(kN/m)
Risul MM		momenti rispetto al piede di valle (MM) Σ M	1570.97	1629.85	(kNm/m)

394.12 385.84 (kNm/m)



DIRETTRICE FERROVIARIA MESSINA – CATANIA – PALERMO NUOVO COLLEGAMENTO PALERMO – CATANIA TRATTA VALLELUNGA – CALTANISETTA XIRBI (LOTTO 3b) OPERE DI SOSTEGNO VIABILITA' – LOTTO 3B

NV52: MURO DI SOSTEGNO MU79D RELAZIONE DI CALCOLO
 COMMESSA
 LOTTO
 CODIFICA
 DOCUMENTO
 REV.
 FOGLIO

 RS3T
 30 D 78
 CL
 MU79D0 001
 B
 104 di 119

1.97

Nmax

1.2

Formula Generale per il Calcolo del Carico Limite Unitrario (Brinch-Hansen, 1970)

Fondazione Nastriforme

FS carico limite

qlim = c'Nc*ic + q_0 *Nq*iq + 0,5* γ 1*B*N γ *i γ

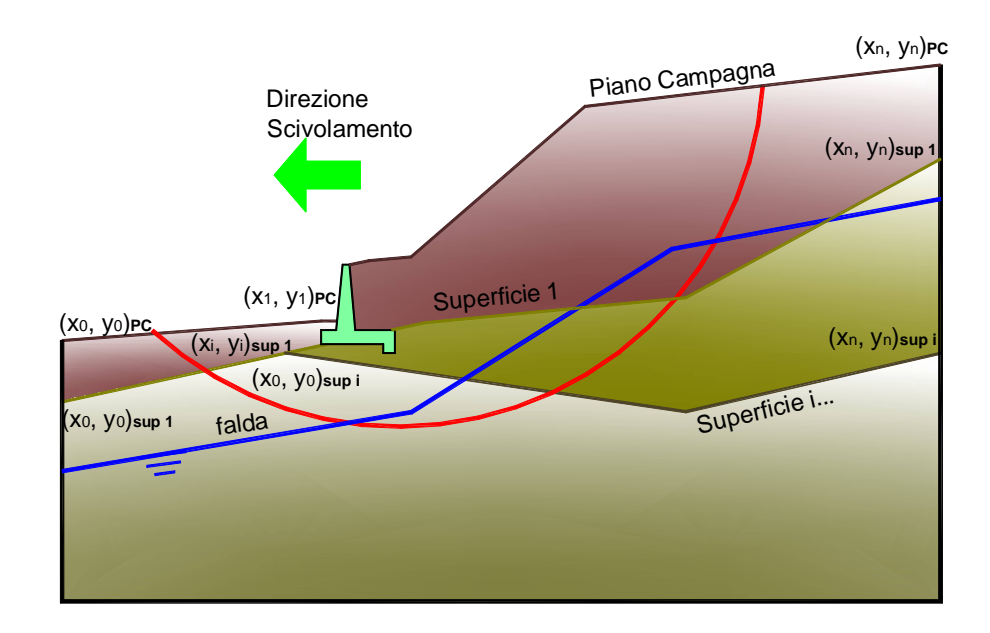
ES carico li	mite	F = alim*R*/ N	Nmin	2.00	>	12
qlim	(carico limite	unitario)		324.24	325.19	(kN/m ²)
(fondazione nas	striforme m = 2	2)				
iq = (1 - T/(N + ic = (1 - m T / (if = (1 - T/(N + if =	(B* cu*Nc))	(1 in cond. nd)		1.00 0.78	1.00 0.78	(-) (-)
l valori di ic, iq	e iγ sono stati	valutati con le espressioni suggerit	e da Vesic (1975)			
Nq = $tg^2(45 + \varphi)$ Nc = (Nq - 1)/ tg N γ = 2*(Nq + 1)	g(φ')	(1 in cond. nd) (2+ π in cond. nd) (0 in cond. nd)		1.00 5.14 0.00		(-) (-)
l valori di Nc, N	q e Ng sono s	tati valutati con le espressioni sugg	erite da Vesic (19	75)		
e = M / N B*= B - 2e	eccentricità larghezza eq	uivalente		0.55 4.40	0.53 4.45	(m) (m)
$q_0 = \gamma d^*H2'$	sovraccarico	stabilizzante		22.80		(kN/m ²)
71	peso unità di	volume terreno fondaz.		19.00		(kN/m ³)
cu	res. al taglio	nd terreno di fondaz.		75.00		(kN/mq)

F = qlim*B*/N

ITALFERR GRUPPO FERROVIE DELLO STATO ITALIANE	NUOVO COI TRATTA VA	LLEGAME LLELUNG	NTO PALERI	NA – CATANIA – MO – CATANIA ISETTA XIRBI (LO – LOTTO 3B		
NV52: MURO DI SOSTEGNO MU79D RELAZIONE DI CALCOLO	COMMESSA RS3T	LOTTO 30 D 78	CODIFICA	DOCUMENTO MU79D0 001	REV.	FOGLIO 105 di 119

11.3.5 VERIFICA DI STABILITÀ GLOBALE – COND. DRENATE

Le analisi di stabilità, di seguito riportate, sono state effettuate limitando la ricerca delle potenziali superfici di scorrimento critiche alla fascia più prossima alla linea stradale.



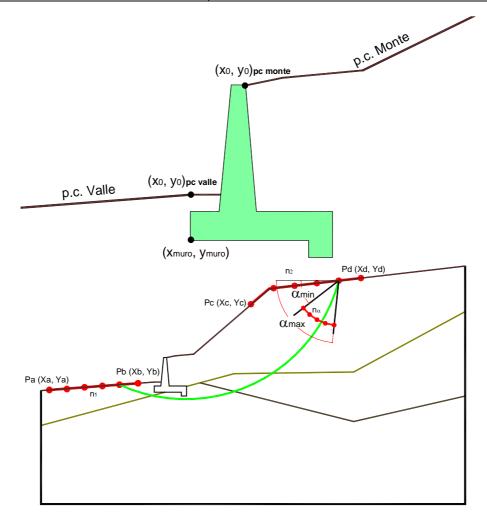
	γ [kN/m³]	φ [°]	c [kPa]	Descrizione
materiale 1	19.00	35	0	Rilevato - riporto
materiale 2	19.00	25	15	Unità geotecnica 1 - a2
materiale 3	21.00	20	22.5	Unità geotecnica 1 - TRV
materiale 4				



DIRETTRICE FERROVIARIA MESSINA – CATANIA – PALERMO NUOVO COLLEGAMENTO PALERMO – CATANIA TRATTA VALLELUNGA – CALTANISETTA XIRBI (LOTTO 3b) OPERE DI SOSTEGNO VIABILITA' – LOTTO 3B

NV52: MURO DI SOSTEGNO MU79D RELAZIONE DI CALCOLO
 COMMESSA
 LOTTO
 CODIFICA
 DOCUMENTO
 REV.
 FOGLIO

 RS3T
 30 D 78
 CL
 MU79D0 001
 B
 106 di 119

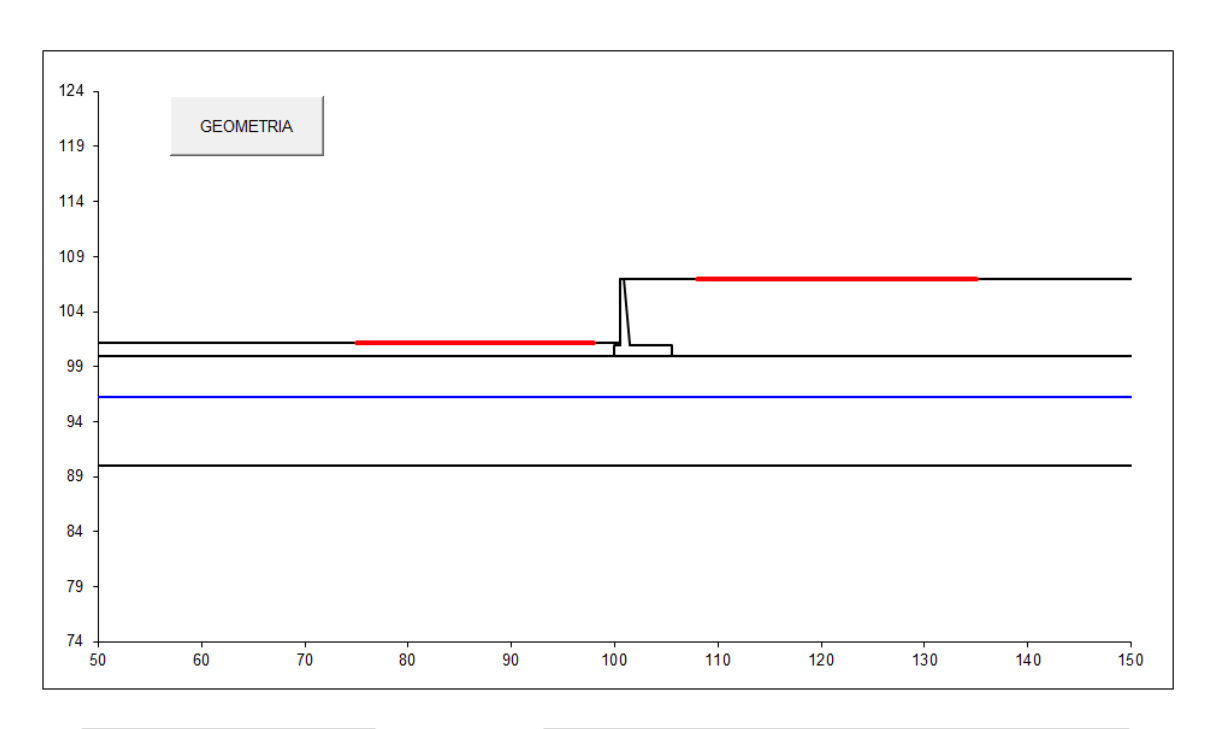


	p.c. va	p.c. valle p.c. monte			superficie 1			superfici	ie 2	superficie 3			26200				
		materiale 1		-		1	mater	ale 2		materia	ale 3		mate	eriale 4		[- da	
	x	у		x	у		x	у		x	У		x	у		X	у
0	100.000	101.200	0	101.400	107.000	0	50.000	100.000	0	50.000	90.000	0			0	50.000	96.200
1	50.000	101.200	1	150.000	107.000	1	150.000	100.000	1	150.000	90.000	1			1	150.000	96.200
2			2			2			2			2			2		
3			3			3			3			3			3		
4			4			4			4			4			4		
5			5			5			5			5			5		
6			6			6			6			6			6		
7			7			7			7			7			7		
8			8			8			8			8			8		
9			9			9			9			9			9		
10			10			10			10			10			10		

Sovraccarichi



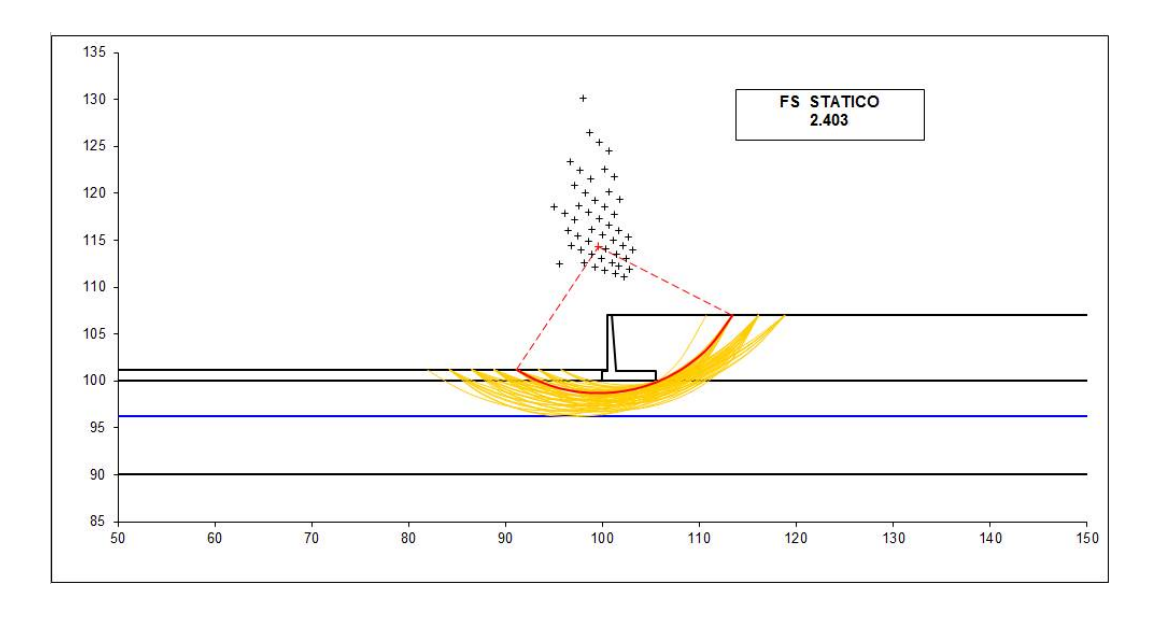




#strisce
30

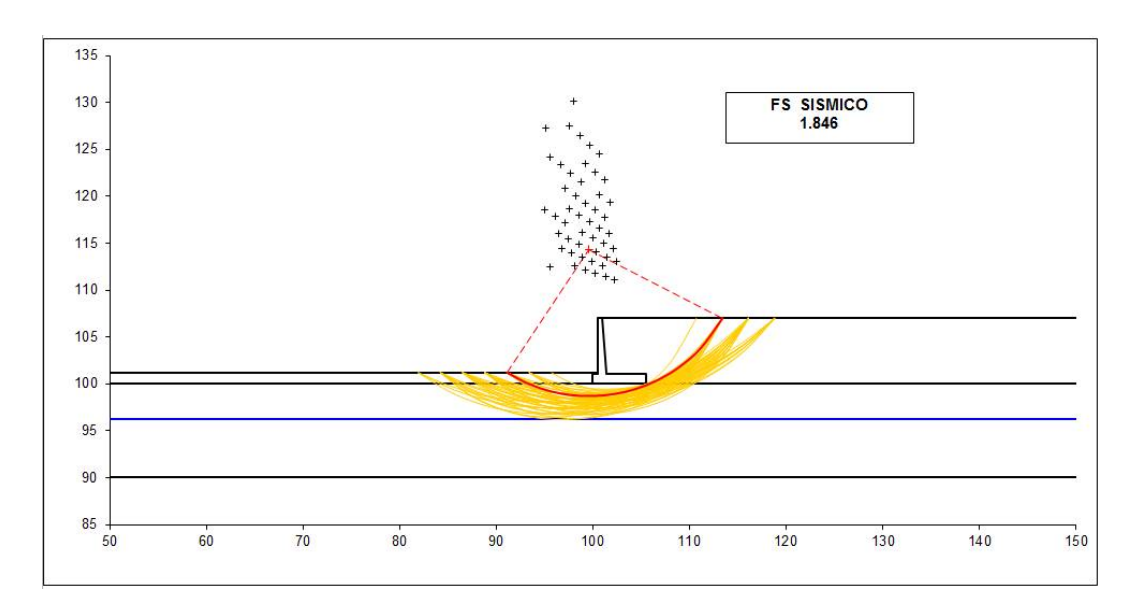
# Superfici Calcolate	FS Bish	
720	STATICO	2.403
720	SISMICO	1.846

Condizioni statiche



GRUPPO FERROVIE DELLO STATO ITALIANE	OPERE DI SOSTEGNO VIABILITA' 79D COMMESSA LOTTO CODIFICA	10 – CATANIA SETTA XIRBI (LO				
NV52: MURO DI SOSTEGNO MU79D RELAZIONE DI CALCOLO	COMMESSA RS3T	LOTTO 30 D 78	CODIFICA CL	DOCUMENTO MU79D0 001	REV.	FOGLIO 108 di 119

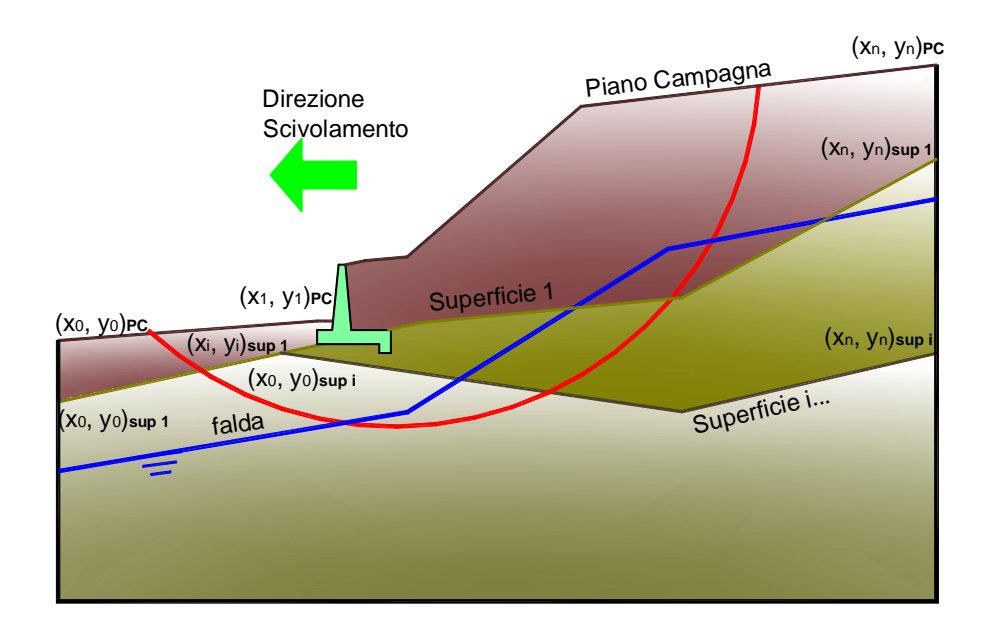
Condizioni sismiche



ITALFERR GRUPPO FERROVIE DELLO STATO ITALIANE	NUOVO COI TRATTA VA	LLEGAME LLELUNG	NTO PALERI	NA – CATANIA – MO – CATANIA SETTA XIRBI (LO – LOTTO 3B		
NV52: MURO DI SOSTEGNO MU79D RELAZIONE DI CALCOLO	COMMESSA RS3T	LOTTO 30 D 78	CODIFICA	DOCUMENTO MU79D0 001	REV.	FOGLIO 109 di 119

11.3.6 VERIFICA DI STABILITÀ GLOBALE – COND. NON DRENATE

Le analisi di stabilità, di seguito riportate, sono state effettuate limitando la ricerca delle potenziali superfici di scorrimento critiche alla fascia più prossima alla linea stradale.



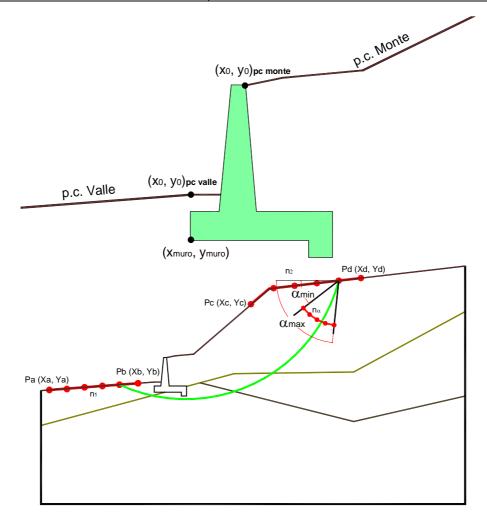
	γ [kN/m³]	φ [°]	c [kPa]	Descrizione
materiale 1	19.00	35	0	Rilevato - riporto
materiale 2	19.00	25	75	Unità geotecnica 1 - a2
materiale 3	21.00	20	200	Unità geotecnica 1 - TRV
materiale 4				-



DIRETTRICE FERROVIARIA MESSINA – CATANIA – PALERMO NUOVO COLLEGAMENTO PALERMO – CATANIA TRATTA VALLELUNGA – CALTANISETTA XIRBI (LOTTO 3b) OPERE DI SOSTEGNO VIABILITA' – LOTTO 3B

NV52: MURO DI SOSTEGNO MU79D RELAZIONE DI CALCOLO
 COMMESSA
 LOTTO
 CODIFICA
 DOCUMENTO
 REV.
 FOGLIO

 RS3T
 30 D 78
 CL
 MU79D0 001
 B
 110 di 119

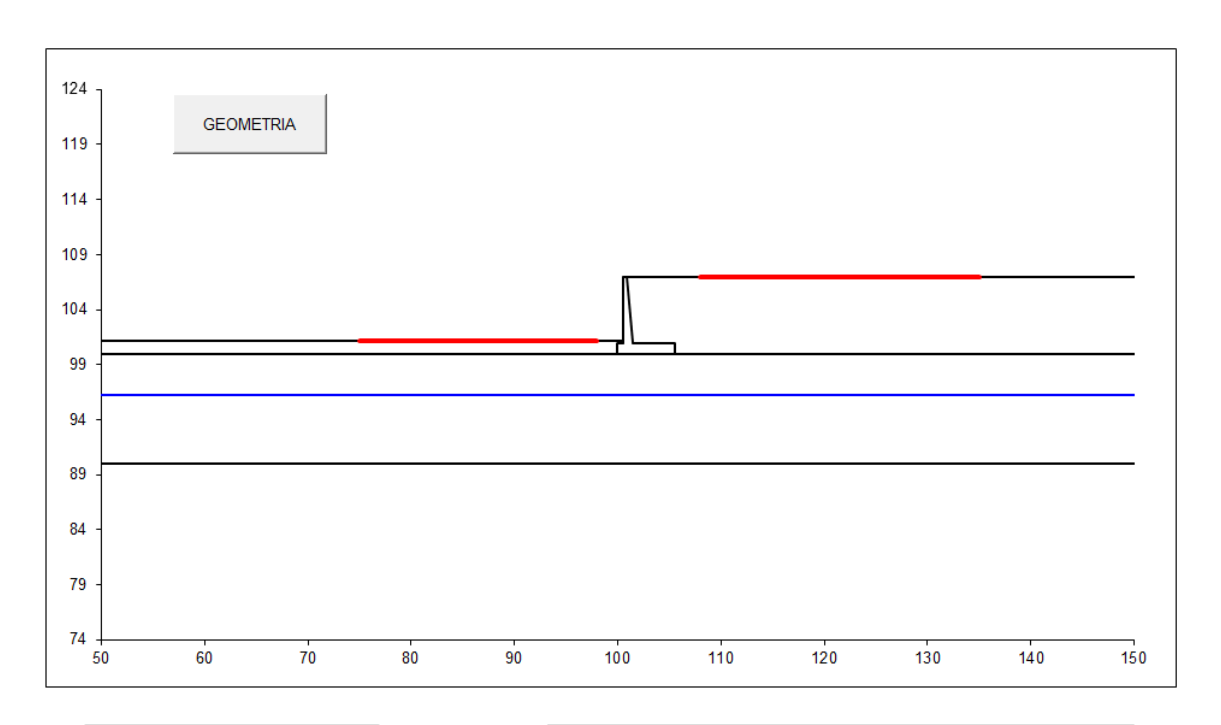


	p.c. va	lle		p.c. mo	nte		superfic	ie 1		superfici	e 2		superfi	icie 3			
		materiale 1		~			mater	iale 2		materia	ale 3 🔻		mate	eriale 4		⁽⁻⁾ da	
	x	У		х	у		X	У		х	у		х	у		х	у
0	100.000	101.200	0	101.400	107.000	0	50.000	100.000	0	50.000	90.000	0			0	50.000	96.200
1	50.000	101.200	1	150.000	107.000	1	150.000	100.000	1	150.000	90.000	1			1	150.000	96.200
2			2			2			2			2			2		
3			3			3			3			3			3		
4			4			4			4			4			4		
5			5			5			5			5			5		
6			6			6			6			6			6		
7			7			7			7			7			7		
8			8			8			8			8			8		
9			9			9			9			9			9		
10			10			10			10			10			10		

Sovraccarichi



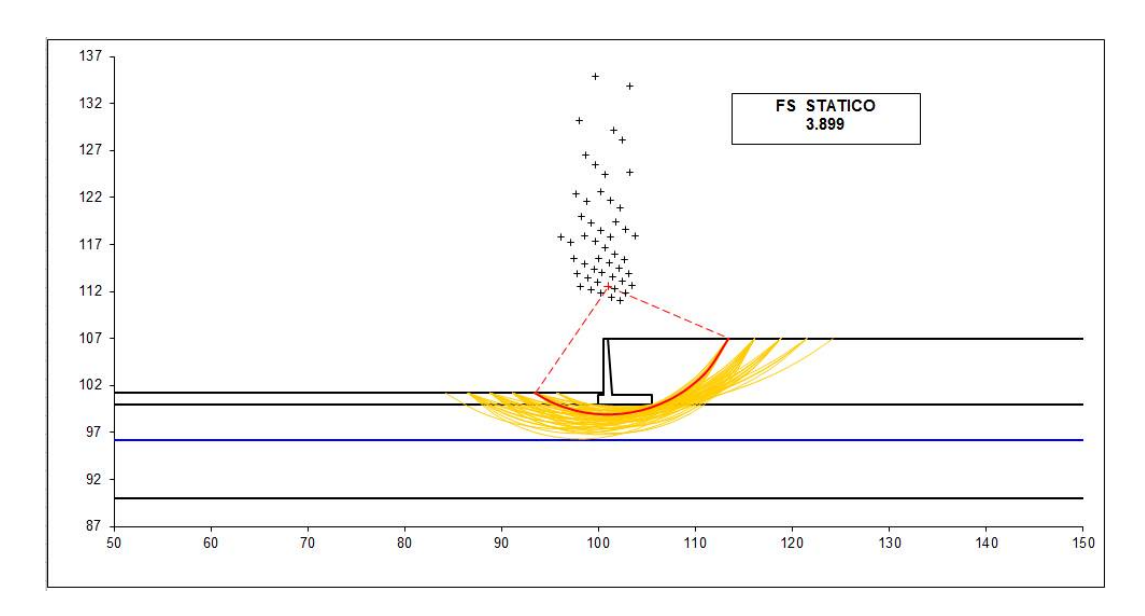




#strisce
30

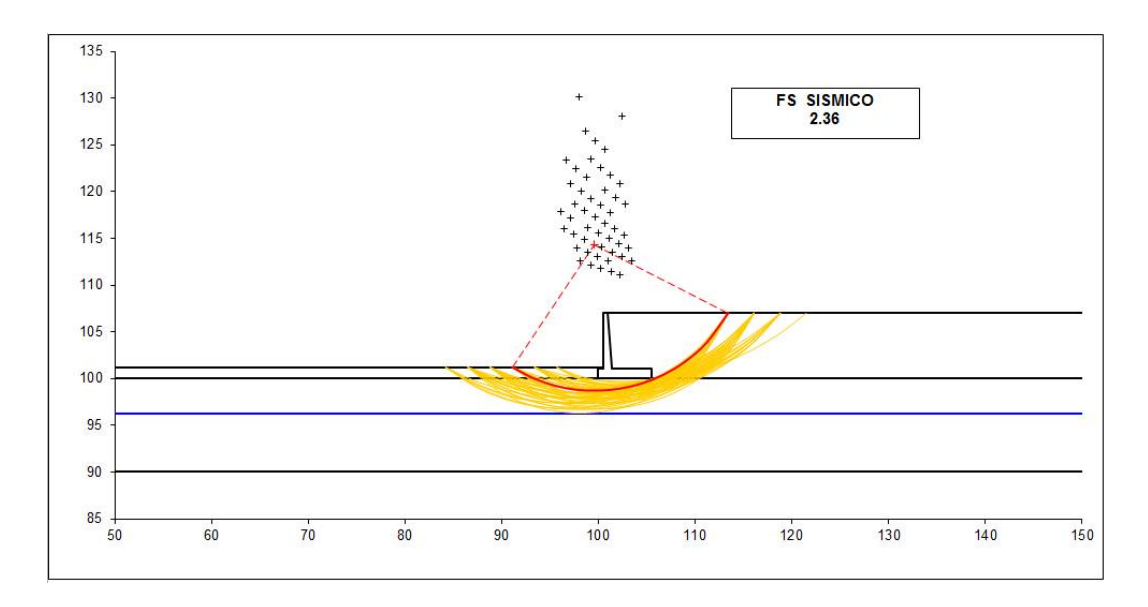
# Superfici Calcolate	FS Bishop	
720	STATICO	3.899
720	SISMICO	2.360

Condizioni statiche



GRUPPO FERROVIE DELLO STATO ITALIANE	NUOVO COI TRATTA VA	LLEGAME	NTO PALERI	NA – CATANIA – MO – CATANIA SETTA XIRBI (LO – LOTTO 3B		
NV52: MURO DI SOSTEGNO MU79D RELAZIONE DI CALCOLO	COMMESSA RS3T	LOTTO 30 D 78	CODIFICA CL	DOCUMENTO MU79D0 001	REV.	FOGLIO 112 di 119

Condizioni sismiche



NV52: MURO DI SOSTEGNO MU79D

RELAZIONE DI CALCOLO

DIRETTRICE FERROVIARIA MESSINA – CATANIA – PALERMO **NUOVO COLLEGAMENTO PALERMO – CATANIA** TRATTA VALLELUNGA - CALTANISETTA XIRBI (LOTTO 3b) OPERE DI SOSTEGNO VIABILITA' - LOTTO 3B

LOTTO 30 D 78

COMMESSA

RS3T

CODIFICA

DOCUMENTO MU79D0 001

REV.

FOGLIO 113 di 119

11.4 VERIFICHE STRUTTURALI

11.4.1 CALCOLO DELLE SOLLECITAZIONI

Reazione del terreno

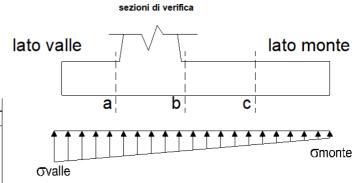
ovalle = N / A + M / Wgg

omonte = N / A - M / Wgg

A = 1.0*B7.00

 $Wgg = 1.0*B^2/6$ 8.17 (m³)

	N	M	ovalle	omonte
caso	[kN]	[kNm]	[kN/m ²]	[kN/m ²]
statico	886.08	292.07	162.35	90.82
Statico	1048.48	178.39	171.63	127.94
sisma+	910.23	231.91	158.43	101.64
Sisilia	932.63	216.23	159.71	106.76
sisma-	861.93	232.67	151.62	94.64
SiSilia-	884.33	216.99	152.90	99.76



Mensola Lato Valle

Peso Proprio.

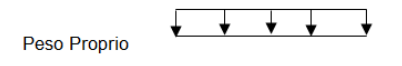
PP = 25.00 (kN/m)

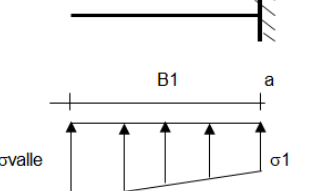
(m²)

Ma = $\sigma 1*B1^2/2 + (\sigma valle - \sigma 1)*B1^2/3 - PP*B1^2/2*(1±kv)$

 $Va = \sigma 1*B1 + (\sigma valle - \sigma 1)*B1/2 - PP*B1*(1±kv)$

	ovalle	σ1	Ma	Va
caso	[kN/m ²]	[kN/m ²]	[kNm]	[kN]
statico	162.35	152.13	66.97	132.24
Statico	171.63	165.39	72.27	143.51
aiama I	158.43	150.32	65.02	128.69
sisma+	159.71	152.14	66.09	130.24
	151.62	143.48	62.30	121.87
sisma-	152.90	145.31	62.69	123.42







Mensola Lato Monte

PP	=	25.00	(kN/m^2)
PD	=	0.00	(kN/m)

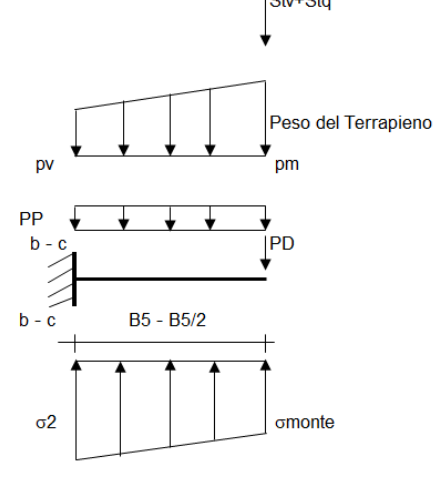
peso proprio soletta fondazione peso proprio dente

			•	•	
		Nmin	N max stat	N max sism	
pm	=	114.00	143.00	118.00	(kN/m ²)
pvb	=	114.00	143.00	118.00	(kN/m^2)
nvc	=	114 00	143 00	118 00	(kN/m ²)

 $Mb = (\sigma_{monte} - (pvb + PP)^*(1 \pm kv))^*B5^2/2 + (\sigma 2b - \sigma_{monte})^*B5^2/6 - (pm - pvb))^*(1 \pm kv)^*B5^2/3 + (\sigma 2b - \sigma_{monte})^*B5^2/6 - (pm - pvb))^*(1 \pm kv)^*B5^2/3 + (\sigma 2b - \sigma_{monte})^*B5^2/6 - (pm - pvb))^*(1 \pm kv)^*B5^2/3 + (\sigma 2b - \sigma_{monte})^*B5^2/6 - (pm - pvb))^*(1 \pm kv)^*B5^2/3 + (\sigma 2b - \sigma_{monte})^*B5^2/6 - (pm - pvb))^*(1 \pm kv)^*B5^2/3 + (\sigma 2b - \sigma_{monte})^*B5^2/6 - (pm - pvb))^*(1 \pm kv)^*B5^2/3 + (\sigma 2b - \sigma_{monte})^*B5^2/6 - (pm - pvb))^*(1 \pm kv)^*B5^2/3 + (\sigma 2b - \sigma_{monte})^*B5^2/6 - (pm - pvb))^*(1 \pm kv)^*B5^2/3 + (\sigma 2b - \sigma_{monte})^*B5^2/6 - (pm - pvb))^*(1 \pm kv)^*B5^2/3 + (\sigma 2b - \sigma_{monte})^*B5^2/6 - (pm - pvb)^*(1 \pm kv)^*B5^2/3 + (\sigma 2b - \sigma_{monte})^*B5^2/6 - (pm - pvb)^*(1 \pm kv)^*B5^2/3 + (\sigma 2b - \sigma_{monte})^*B5^2/6 - (pm - pvb)^*(1 \pm kv)^*B5^2/3 + (\sigma 2b - \sigma_{monte})^*B5^2/6 - (pm - pvb)^*(1 \pm kv)^*B5^2/3 + (\sigma 2b - \sigma_{monte})^*B5^2/6 - (pm - pvb)^*(1 \pm kv)^*B5^2/6 - (pm - pvb)^*(1 \pm kv)^*(1 \pm kv)^*B5^2/6 - (pm - pvb)^*(1 \pm kv)^*(1 \pm kv)$ $-(Stv + Sqv)*B5 - PD*(1 \pm kv)*(B5 - Bd/2) - PD*kh*(Hd + H2/2) + Msp + Sp*H2/2$

 $Mc = (\sigma_{monte} - (pvc + PP)^*(1 \pm kv))^*(B5/2)^2/2 + (\sigma_2 c - \sigma_{monte})^*(B5/2)^2/6 - (pm-pvc)^*(1 \pm kv)^*(B5/2)^2/3 + (\sigma_2 c - \sigma_{monte})^*(B5/2)^2/6 - (pm-pvc)^*(1 \pm kv)^*(B5/2)^2/3 + (\sigma_2 c - \sigma_{monte})^*(B5/2)^2/6 - (pm-pvc)^*(1 \pm kv)^*(B5/2)^2/3 + (\sigma_2 c - \sigma_{monte})^*(B5/2)^2/6 - (pm-pvc)^*(1 \pm kv)^*(B5/2)^2/3 + (\sigma_2 c - \sigma_{monte})^*(B5/2)^2/6 - (pm-pvc)^*(B5/2)^2/3 + (\sigma_2 c - \sigma_{monte})^*(B5/2)^2/3 + (\sigma_2 c - \sigma_{monte})^2/3 +$ $-(Stv+Sqv)^*(B5/2)-PD^*(1\pm kv)^*(B5/2-Bd/2)-PD^*kh^*(Hd+H2/2)+Msp+Sp^*H2/2$

 $Vb = (\sigma_{monte} - (pvb + PP)^*(1 \pm kv))^*B5 + (\sigma 2b - \sigma_{monte})^*B5/2 - (pm-pvb))^*(1 \pm kv)^*B5/2 - (Stv + Sqv) - PD^*(1 \pm kv)$



 $Vc = (\sigma_{monte} - (pvc + PP)^*(1 \pm kv))^*(B5/2) + (\sigma 2c - \sigma_{monte})^*(B5/2)/2 - (pm-pvc)^*(1 \pm kv)^*(B5/2)/2 - (Stv + Sqv) - PD^*(1 \pm kv)$



DIRETTRICE FERROVIARIA MESSINA – CATANIA – PALERMO NUOVO COLLEGAMENTO PALERMO – CATANIA TRATTA VALLELUNGA – CALTANISETTA XIRBI (LOTTO 3b) OPERE DI SOSTEGNO VIABILITA' – LOTTO 3B

NV52: MURO DI SOSTEGNO MU79D RELAZIONE DI CALCOLO

COMMESSA	LOTTO	CODIFICA	DOCUMENTO	REV.	FOGLIO
RS3T	30 D 78	CL	MU79D0 001	В	114 di 119

	omonte	σ 2b	Mb	Vb	σ2c	Mc	Vc
caso	[kN/m ²]	[kN/m ²]	[kNm]	[kN]	[kN/m ²]	[kNm]	[kN]
statico	90.82	142.83	-399.55	-112.87	116.82	-127.96	-89.53
Statico	127.94	159.71	-381.78	-123.06	143.82	-112.59	-81.74
aiama I	101.64	142.93	-354.97	-104.44	122.28	-111.03	-78.50
sisma+	106.76	145.26	-353.93	-106.40	126.01	-109.27	-77.70
	94.64	136.08	-346.43	-100.97	115.36	-108.97	-76.85
sisma-	99.76	138.40	-342.56	-101.82	119.08	-106.50	-75.50

CALCOLO SOLLECITAZIONI PARAMENTO VERTICALE DEL MURO

Azioni sulla parete e Sezioni di Calcolo

Mt stat = $\frac{1}{2} \text{Ka}_{\text{orizz.}}^* \gamma^* (1 \pm \text{kv})^* h^2 * h/3$

 $\label{eq:Mtsism} \text{Mt sism} = \ 1/2 * \gamma * (\text{Kas}_{\text{orizz.}} * (1 \pm \text{kv}) - \text{Ka}_{\text{orizz.}}) * h^2 * h/2 \quad o * h/3$

 $Mq = \frac{1}{2} Ka_{\text{orizz}}^* q^* h^2$ $M_{\text{ext}} = m + f^* h$ $M_{\text{inerzia}} = \sum Pm_i^* b_i^* k h$

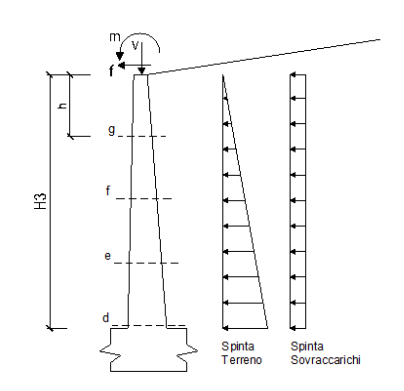
 $N_{ext} = v$

N $_{pp+inerzia}$ = $\Sigma Pm_i^*(1\pm kv)$

Vt stat = $\frac{1}{2}$ Ka_{orizz}* γ *(1±kv)*h²

Vt sism = $\frac{1}{2} * \gamma * (Kas_{orizz.} * (1\pm kv) - Ka_{orizz.}) * h^2$

 $Vq = Ka_{orizz}^*q^*h$ $V_{ext} = f$ $V_{inerzia} = \Sigma Pm_i^*kh$



condizione statica

sezione	h	Mt	Mq	M _{ext}	M _{tot}	N _{ext}	N_{pp}	N _{tot}
	[m]	[kNm/m]	[kNm/m]	[kNm/m]	[kNm/m]	[kN/m]	[kN/m]	[kN/m]
d-d	6.00	240.96	141.46	0.00	382.42	3.50	98.25	101.75
е-е	4.50	101.66	79.57	0.00	181.23	3.50	66.52	70.02
f-f	3.00	30.12	35.36	0.00	65.48	3.50	39.56	43.06
g-g	1.50	3.77	8.84	0.00	12.61	3.50	17.39	20.89

sezione	h	Vt	Vq	$V_{\rm ext}$	V _{tot}
Sezione	[m]	[kN/m]	[kN/m]	[kN/m]	[kN/m]
d-d	6.00	120.48	47.15	0.00	167.63
e-e	4.50	67.77	35.36	0.00	103.14
f-f	3.00	30.12	23.58	0.00	53.70
a-a	1.50	7.53	11 79	0.00	19.32

condizione sismica +

sezione	h	Mt stat	Mt sism	Mq	M _{ext}	M _{inerzia}	M _{tot}	N _{ext}	N _{pp+inerzia}	N _{tot}
	[m]	[kNm/m]	[kNm/m]	[kNm/m]	[kNm/m]	[kNm/m]	[kNm/m]	[kN/m]	[kN/m]	[kN/m]
d-d	6.00	185.36	25.46	21.60	0.00	14.04	246.45	3.50	100.94	104.44
e-e	4.50	78.20	10.74	12.15	0.00	7.31	108.39	3.50	68.34	71.84
f-f	3.00	23.17	3.18	5.40	0.00	2.99	34.74	3.50	40.64	44.14
g-g	1.50	2.90	0.40	1.35	0.00	0.68	5.33	3.50	17.87	21.37

sezione	h	Vt stat	Vt sism	Vq	$V_{\rm ext}$	V _{inerzia}	V_{tot}
	[m]	[kN/m]	[kN/m]	[kN/m]	[kN/m]	[kN/m]	[kN/m]
d-d	6.00	92.68	12.73	7.20	0.00	5.38	117.98
e-e	4.50	52.13	7.16	5.40	0.00	3.64	68.33
f-f	3.00	23.17	3.18	3.60	0.00	2.16	32.12
g-g	1.50	5.79	0.80	1.80	0.00	0.95	9.34

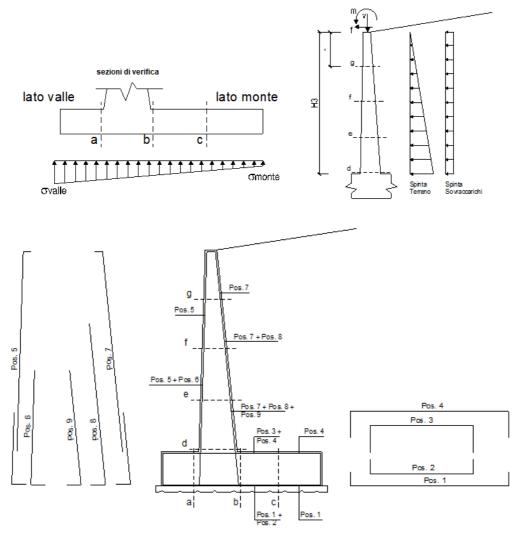
condizione sismica -

	CONGIZIONO SISTINO											
sezione	h	Mt stat	Mt sism	Mq	M_{ext}	M _{inerzia}	M _{tot}	N _{ext}	N _{pp+inerzia}	N_{tot}		
	[m]	[kNm/m]	[kNm/m]	[kNm/m]	[kNm/m]	[kNm/m]	[kNm/m]	[kN/m]	[kN/m]	[kN/m]		
d-d	6.00	185.36	15.37	21.72	0.00	14.04	236.49	3.50	95.56	99.06		
e-e	4.50	78.20	6.48	12.22	0.00	7.31	104.21	3.50	64.70	68.20		
f-f	3.00	23.17	1.92	5.43	0.00	2.99	33.51	3.50	38.48	41.98		
g-g	1.50	2.90	0.24	1.36	0.00	0.68	5.18	3.50	16.91	20.41		

sezione	h	Vt stat	Vt _{sism}	Vq	V _{ext}	V _{inerzia}	V_{tot}
	[m]	[kN/m]	[kN/m]	[kN/m]	[kN/m]	[kN/m]	[kN/m]
d-d	6.00	92.68	7.68	7.24	0.00	5.38	112.98
e-e	4.50	52.13	4.32	5.43	0.00	3.64	65.52
f-f	3.00	23.17	1.92	3.62	0.00	2.16	30.88
q-q	1.50	5.79	0.48	1.81	0.00	0.95	9.03



11.4.2 VERIFICHE SLU



Armatura minima

L'armatura minima principale in fondazione deve essere in percentuale non inferiore allo 0.20% dell'area di conglomerato.

L'armatura minima principale presente in zona tesa deve essere in percentuale non inferiore allo 0.15% dell'area di conglomerato per l'intera lunghezza.

L'armatura secondaria, ortogonale a quella principale, deve essere pari al massimo delle seguenti percentuali:

- 0.10% dell'area di conglomerato in entrambi i lembi;
- 20% dell'armatura principale.



Muro h = 6,00m su fondazione diretta

ARMATURE

pos	n°/ml	ф	II strato	pos	n°/ml	ф	II strato
1	10.0	16		5	10.0	16	
2	0.0	0		6	0.0	0	
3	0.0	0		7	10.0	20	
4	10.0	20		8	0.0	0	
				9	0.0	0	

Pertanto l'armatura secondaria sarà pari a:

sez a - a: ϕ 10/20cm (ripartitori in fondazione e in elevazione);

sez b – b: $\phi 10/20$ cm (ripartitori in fondazione);

sez c – c: ϕ 10/20cm (ripartitori in fondazione);

sez d – d: \$10/20cm (ripartitori in fondazione);

sez e - e: ϕ 10/20cm (ripartitori in fondazione);

sez f – f: ϕ 10/20cm (ripartitori in fondazione);

sez g - g: $\phi 10/20$ cm (ripartitori in fondazione);

Sez.	M	N	h	Af	A'f	Mu
(-)	(kNm)	(kN)	(m)	(cm²)	(cm ²)	(kNm)
a - a	26.49	0.00	1.00	20.11	31.42	709.16
b - b	-451.05	0.00	1.00	31.42	20.11	1086.96
C - C	-162.60	0.00	1.00	31.42	20.11	1086.96
d - d	382.42	101.75	0.91	31.42	20.11	1015.12
е -е	181.23	70.02	0.78	31.42	20.11	841.83
f-f	65.48	43.06	0.66	31.42	20.11	673.79
g - g	12.61	20.89	0.53	31.42	20.11	510.08

	Sez.	V _{Ed}	h	V_{rd}	ø staffe	i orizz.	i vert.	θ	V_{Rsd}	_
_	(-)	(kN)	(m)	(kN)	(mm)	(cm)	(cm)	(°)	(kN)	- -
	a - a	104.70	1.00	324.74	10	20	20	21.8	1599.07	Armatura a taglio non necessaria
	b - b	130.00	1.00	360.20	10	20	20	21.8	1599.07	Armatura a taglio non necessaria
	C - C	134.65	1.00	360.20	10	20	20	21.8	1599.07	Armatura a taglio non necessaria
	d - d	167.63	0.91	356.05	10	20	20	21.8	1443.49	Armatura a taglio non necessaria
	е -е	103.14	0.78	324.46	10	20	20	21.8	1223.08	Armatura a taglio non necessaria
	f-f	53.70	0.66	291.61	10	20	20	21.8	1002.66	Armatura a taglio non necessaria
	g - g	19.32	0.53	256.82	10	20	20	21.8	782.25	Armatura a taglio non necessaria



11.4.3 VERIFICHE SLE TENSIONE

Condizione Statica

Sez.	M	N	h	Af	A'f	σc	σf
(-)	(kNm)	(kN)	(m)	(cm ²)	(cm ²)	(N/mm ²)	(N/mm ²)
a - a	22.54	0.00	1.00	20.11	31.42	0.22	13.03
b - b	-327.20	0.00	1.00	31.42	20.11	2.80	122.95
C - C	-116.42	0.00	1.00	31.42	20.11	0.99	43.75
d - d	282.91	101.75	0.91	31.42	20.11	2.93	103.52
е -е	133.07	70.02	0.78	31.42	20.11	1.81	56.04
f-f	47.56	43.06	0.66	31.42	20.11	0.90	22.93
g - g	8.99	20.89	0.53	31.42	20.11	0.26	4.21

Condizione Sismica

COMMIZION	ic Jisiiiicu						
Sez.	M	N	h	Af	A'f	σC	o f
(-)	(kNm)	(kN)	(m)	(cm ²)	(cm ²)	(N/mm ²)	(N/mm ²)
a - a	23.57	0.00	1.00	20.11	31.42	0.23	13.63
b - b	-384.82	0.00	1.00	31.42	20.11	3.29	144.60
C - C	-137.73	0.00	1.00	31.42	20.11	1.18	51.76
d - d	246.45	99.06	0.91	31.42	20.11	2.56	88.69
е -е	108.39	68.20	0.78	31.42	20.11	1.48	44.06
f-f	34.74	41.98	0.66	31.42	20.11	0.67	15.28
g - g	5.33	20.41	0.53	31.42	20.11	0.16	1.54



11.4.4 VERIFICHE SLE FESSURAZIONE

condizione Frequente

Sez.	M	N	h	Af	A'f	σc	σf	wk	W _{amm}
(-)	(kNm)	(kN)	(m)	(cm ²)	(cm ²)	(N/mm ²)	(N/mm ²)	(mm)	(mm)
a - a	22.54	0.00	1.00	20.11	31.42	0.22	13.03	0.018	0.200
b - b	-327.20	0.00	1.00	31.42	20.11	2.80	122.95	0.149	0.200
C - C	-116.42	0.00	1.00	31.42	20.11	0.99	43.75	0.053	0.200
d - d	282.91	101.75	0.91	31.42	20.11	2.93	103.52	0.125	0.200
e -e	133.07	70.02	0.78	31.42	20.11	1.81	56.04	0.067	0.200
f-f	47.56	43.06	0.66	31.42	20.11	0.90	22.93	0.025	0.200
g - g	8.99	20.89	0.53	31.42	20.11	0.26	4.21	0.004	0.200

(n.b.: M+ tende le fibre di intradosso, M- tende le fibre di estradosso)

condizione Quasi Permanente

Sez.	M	N	h	Af	A'f	σc	σf	wk	\mathbf{w}_{amm}
(-)	(kNm)	(kN)	(m)	(cm ²)	(cm ²)	(N/mm ²)	(N/mm ²)	(mm)	(mm)
a - a	18.32	0.00	1.00	20.11	31.42	0.18	10.59	0.015	0.200
b - b	-216.12	0.00	1.00	31.42	20.11	1.85	81.21	0.098	0.200
C - C	-75.00	0.00	1.00	31.42	20.11	0.64	28.18	0.034	0.200
d - d	185.36	101.75	0.91	31.42	20.11	1.94	62.86	0.076	0.200
е -е	78.20	70.02	0.78	31.42	20.11	1.08	28.89	0.034	0.200
f-f	23.17	43.06	0.66	31.42	20.11	0.45	8.21	0.009	0.200
g - g	2.90	20.89	0.53	31.42	20.11	0.09	0.13	0.000	0.200



11.4.5 VERIFICHE STRUTTURALI IN PRESENZA DI URTO

Per le verifiche strutturali dei muri <u>"tipo 2"</u> si considera la verifica a pressoflessione della sezione di spiccato del paramento per la quale:

M=[100*(Hp+1)]/Lc=56.00 kNm/m momento allo spiccato

T=100/Lc=8.00 kN/m taglio allo spiccato

in cui

Lc=0.5 m +2 Hp=12.50 m larghezza di ripartizione come descritto al par. 8.4

Hp=6.00 m altezza max del paramento

			- 1	valori caratteristici	valori di p	rogetto
Carichi	<u>Agenti</u>			SLE - sisma	STR/GEO	EQU
	Sovraccarico permanente	(kN/m ²)	qp	0.00	0.00	0.00
id je	Sovraccarico su zattera di monte 💿 si 🔾 no	` 1				
Carichi	Forza Orizzontale in Testa permanente	(kN/m)	fp	0.00	0.00	0.00
Carichi permanenti	Forza Verticale in Testa permanente	(kN/m)	vp	3.50	3.50	3.50
<u></u>	Momento in Testa permanente	(kNm/m)	mp	0.00	0.00	0.00
	Sovraccarico Accidentale in condizioni statiche	(kN/m ²)	q	0.00	0.00	0.00
Condizioni Statiche	Forza Orizzontale in Testa accidentale in condizioni statiche	(kN/m)	f	8.00	11.60	11.60
atic	Forza Verticale in Testa accidentale in condizioni statiche	(kN/m)	V	0.00	0.00	0.00
S to	Momento in Testa accidentale in condizioni statiche	(kNm/m)	m	56.00	81.20	81.20
	Coefficienti di combinazione condizione frequer	nte Ψ1	1.00	condizione quasi permane	nte Ψ2	0.00
<u>=</u> =	Sovraccarico Accidentale in condizioni sismiche	(kN/m ²)	qs	0.00		
Condizioni Sismiche	Forza Orizzontale in Testa accidentale in condizioni sismiche	(kN/m)	fs	0.00		
ono	Forza Verticale in Testa accidentale in condizioni sismiche	(kN/m)	VS	0.00		
0 0	Momento in Testa accidentale in condizioni sismiche	(kNm/m)	ms	0.00		

					Verifich	ne SLU
Sez.	M	N	h	Af	A'f	Mu
(-)	(kNm)	(kN)	(m)	(cm ²)	(cm ²)	(kNm)
a - a	24.16	0.00	1.00	20.11	31.42	709.16
b - b	-425.84	0.00	1.00	31.42	20.11	1086.96
C - C	-153.20	0.00	1.00	31.42	20.11	1086.96
d - d	391.76	101.75	0.91	31.42	20.11	1015.12
e -e	235.06	70.02	0.78	31.42	20.11	841.83
f-f	146.12	43.06	0.66	31.42	20.11	673.79
g - g	102.37	20.89	0.53	31.42	20.11	510.08

Sez.	V _{Ed}	h	V_{rd}	ø staffe	i orizz.	i vert.	θ	V_{Rsd}	_
(-)	(kN)	(m)	(kN)	(mm)	(cm)	(cm)	(°)	(kN)	- -
a - a	95.27	1.00	324.74	10	20	20	21.8	1599.07	Armatura a taglio non necessaria
b - b	116.81	1.00	360.20	10	20	20	21.8	1599.07	Armatura a taglio non necessaria
C - C	126.97	1.00	360.20	10	20	20	21.8	1599.07	Armatura a taglio non necessaria
d - d	132.08	0.91	356.05	10	20	20	21.8	1443.49	Armatura a taglio non necessaria
е -е	79.37	0.78	324.46	10	20	20	21.8	1223.08	Armatura a taglio non necessaria
f-f	41.72	0.66	291.61	10	20	20	21.8	1002.66	Armatura a taglio non necessaria
q - q	19.13	0.53	256.82	10	20	20	21.8	782.25	Armatura a taglio non necessaria